PERAMALAN PENGGUNAAN BAHAN BAKAR PADA PEMBANGKIT LISTRIK TENAGA GAS UAP MENGGUNAKAN METODE BACKPROPAGATION NEURAL NETWORK

SKRIPSI



Disusun Oleh
EMI FATCHURIN
H72216027

PROGRAM STUDI MATEMATIKA
FAKULTAS SAINS DAN TEKNOLOGI
UNIVERSITAS ISLAM NEGERI SUNAN AMPEL
SURABAYA

2020

PERNYATAAN KEASLIAN

Saya yang bertanda tangan di bawah ini,

Nama

: EMI FATCHURIN

NIM

: H72216027

Program Studi : Matematika

Angkatan

: 2016

Menyatakan bahwa saya tidak melakukan plagiat dalam penulisan skripsi saya yang berjudul " PERAMALAN PENGGUNAAN BAHAN BAKAR PADA PEMBANGKIT LISTRIK TENAGA GAS UAP MENGGUNAKAN METODE BACKPROPAGATION NEURAL NETWORK ". Apabila suatu saat nanti terbukti saya melakukan tindakan plagiat, maka saya bersedia menerima sanksi yang telah ditetapkan.

Demikian pernyataan keaslian ini saya buat dengan sebenar-benarnya.

Surabaya, 09 Maret 2020



LEMBAR PERSETUJUAN PEMBIMBING

Skripsi oleh

Nama

: EMI FATCHURIN

NIM

: H72216027

Judul Skripsi : PERAMALAN PENGGUNAAN BAHAN **BAKAR**

PADA PEMBANGKIT LISTRIK TENAGA GAS UAP

MENGGUNAKAN METODE BACKPROPAGATION

NEURAL NETWORK

telah diperiksa dan disetujui untuk diujikan.

Surabaya, 09 Maret 2020

Pembimbing

Aris Fanani, M. Kom

NIP. 198701272014031002

PENGESAHAN TIM PENGUJI SKRIPSI

Skripsi oleh

Nama

: EMI FATCHURIN

NIM

: H72216027

Judul Skripsi PERAMALAN

PERAMALAN PENGGUNAAN BAHAN BAKAR PADA PEMBANGKIT LISTRIK TENAGA GAS UAP MENGGUNAKAN METODE BACKPROPAGATION

NEURAL NETWORK

Telah dipertahankan di depan Tim Penguji pada tanggal 23 April 2020

> Mengesahkan, Tim Penguji

Penguji I

Aris Fanani, M. Kom

NIP. 198701272014031002

Penguji II

Nurissa dah Ulinnuha, M.Kom

NIP. 199011022014032004

Penguji III

Dian Candra Rini Novitasari, M.Kom

NIP. 198511242014032001

Penguji IV

Yuniar Farida, M.T

NIP. 197905272014032002

Mengetahui,

Plt Dekan Fakultas Sains dan Teknologi

UIN Sunan Ampel Surabaya

Dr. Evi Fatimatur Rusydiyah, M.Ag

NIP. 197312272005012003



KEMENTERIAN AGAMA UNIVERSITAS ISLAM NEGERI SUNAN AMPEL SURABAYA PERPUSTAKAAN

Jl. Jend. A. Yani 117 Surabaya 60237 Telp. 031-8431972 Fax.031-8413300 E-Mail: perpus@uinsby.ac.id

LEMBAR PERNYATAAN PERSETUJUAN PUBLIKASI KARYA ILMIAH UNTUK KEPENTINGAN AKADEMIS

| Sebagai sivitas ak | ademika UIN Sunan Ampel Sural | baya, yang bert | anda tangan di bawah ini, saya: |
|---|---|--|---|
| Nama | : EMI FATCHURIN | | |
| NIM | : H72216027 | | |
| Fakultas/Jurusan | : SAINS DAN TEKNOLOGI | I/ MATEMAT | TKA |
| E-mail address | : emyfatchurin05@gmail.com | | |
| UIN Sunan Amp ✓ Sekripsi □ yang berjudul: | ngan ilmu pengetahuan, menyet el Surabaya, Hak Bebas Royalti □ Tesis □ Desertasi PENGGUNAAN BAHAN BAK | Non-Eksklusi ☐ Lain-lain | if atas karya ilmiah : |
| TENAGA GAS | UAP MENGGUNAKAN MET | ODE <i>BACK</i> PF | ROPAGATION NEURAL |
| NETWORK | | | |
| mengelolanya o menampilkan/me akademis tanpa penulis/pencipta Saya bersedia un | N Sunan Ampel Surabaya berl dalam bentuk pangkalan di empublikasikannya di Internet ata perlu meminta ijin dari saya sel dan atau penerbit yang bersangku ntuk menanggung secara pribadi rabaya, segala bentuk tuntutan h lh saya ini. | ata (database au media lain so lama tetap me atan. i, tanpa meliba | e), mendistribusikannya, dan ecara <i>fulltext</i> untuk kepentingan ncantumkan nama saya sebagai atkan pihak Perpustakaan UIN |
| Demikian pernya | taan ini yang saya buat dengan sel | benarnya. | |
| | | Su | nrabaya, 23 April 2020 |
| | | | Penulis |
| | | | ε |
| | | (| EMI FATCHURIN) |

ABSTRAK

PERAMALAN PENGGUNAAN BAHAN BAKAR PADA PEMBANGKIT LISTRIK TENAGA GAS UAP MENGGUNAKAN METODE BACKPROPAGATION NEURAL NETWORK

Bahan bakar yang memadai sangat diperlukan dalam pembangkitan energi listrik karena bahan bakar merupakan komponen utama dalam pembangkitan energi listrik. Penggunaan bahan bakar yang efektif dan efisien tentu saja disesuaikan dengan kebutuhan beban yang diminta sehingga tidak ada energi yang terbuang ataupun kekurangan bahan bakar dalam proses pembangkitan. Dibutuhkan suatu perencanaan yang baik dengan melakukan prediksi terhadap penggunaan bahan bakar gas yang dikeluarkan oleh Unit PLTGU PT. PJB Unit Pembangkitan Gresik. Penelitian ini bertujuan untuk keefektifan dan keefesiensian pembangkit dalam memprediksi dan mempersiapkan bahan bakar di kemudian hari dengan menggunaka<mark>n metode backpropagation neural network serta</mark> memprediksi biaya yang dibutuhkan untuk proses pembangkitan. Hasil Prediksi penggunaan bahan bakar gas Unit PLTGU PT. PJB Unit Pembangkitan Gresik pada minggu ke-1 bulan Oktober yaitu sebesar 24.814 KNm^3/h sehingga biaya yang dibutuhkan untuk keperluan bahan bakar gas yaitu sebesar Rp 92.695.620.617 MAPE sebesar 15,0825%. Hal tersebut menunjukkan bahwa model yang dibangun oleh jaringan backpropagation termasuk ke dalam kategori baik dalam kemampuan memprediksi karena nilai error berada diantara 10-20% dan akurasinya sebesar 84,9175%. Arsitektur jaringan Backpropagation yang paling optimal yaitu dengan menggunakan 1 hidden layer dengan 9 node dengan momentum 0,9 dan learning rate 0,01. Dari hasil penelitian di atas dapat disimpulkan bahwa metode Backpropagation Neural Network baik untuk memprediksi penggunaan bahan bakar gas pada Unit PLTGU PT. PJB UP Gresik yang akan digunakan di kemudian hari.

Kata Kunci: Peramalan, Bahan Bakar Gas, PT. PJB UP Gresik, Backpropagation Neural Network

ABSTRACT

FORECASTING THE USE OF FUEL AT A STEAM POWER PLANT USING THE BACKPROPAGATION NEURAL NETWORK METHOD

Adequate fuel is needed in the generation of electrical energy because fuel is a major component in the generation of electrical energy. The use of fuel that is effective and efficient is adjusted to the needs of the requested load so that there is no wasted energy or lack of fuel in the generation process. A good planning is needed by predicting the use of gas fuel released by the PLTGU Unit of PT. PJB Gresik Generating Unit. This study aims to the effectiveness and efficiency of the generator in predicting and preparing fuel in the future by using the backpropagation neural network method and predicting the costs required for the generation process. Prediction Results of the use of gas fuels for PLTGU Unit PT. PJB Gresik Generating Unit in the first week of October that is $24.814 \ KNm^3/h$ so that the cost needed for gas fuel needs is Rp 92.695.620.617 MAPE of 15,0825%. This shows that the model built by the backpropagation network is included in the good category in the ability to predict because the value of error is between 10-20% and the accuracy is 84,9175%. The most optimal Backpropagation network architecture is by using 9 units in the hidden layer with momentum of 0,9 and a learning rate of 0,01. From the results of the above study it can be concluded that the Backpropagation Neural Network method is good for predicting the use of gas fuel in the PLTGU Unit of PT. PJB UP Gresik which will be used at a later date.

Keyword: Forecasting, Gas Fuel, PT. PJB UP Gresik, Backpropagation Neural Network

DAFTAR ISI

| HALAMAN JUDUL |
|--|
| LEMBAR PERSETUJUAN PEMBIMBING i |
| PENGESAHAN TIM PENGUJI SKRIPSI ii |
| HALAMAN PERNYATAAN KEASLIAN iv |
| MOTTO |
| HALAMAN PERSEMBAHAN |
| KATA PENGANTAR vi |
| DAFTAR ISI |
| DAFTAR TABEL |
| DAFTAR TABEL |
| ABSTRAK |
| ABSTRACT |
| PENDAHULUAN |
| 1.1. Latar Belakang Masalah |
| 1.2. Rumusan Masalah |
| 1.3. Tujuan Penelitian |
| 1.4. Manfaat Penelitian |
| 1.5. Batasan Masalah |
| I.6. Sistematika Penulisan |
| II TINJAUAN PUSTAKA |
| 2.1. Pembangkit Listrik PT. PJB UP Gresik |
| 2.2. Pembangkit Listrik Tenaga Gas Uap (PLTGU) |
| 2.3. Peramalan |
| 2.4. Time Series (Data Runtun waktu) |
| 2.5. Jaringan Syaraf Tiruan |
| 2.5.1. Karakteristik Jaringan Syaraf Tiruan |
| 2.5.2. Susunan Jaringan Syaraf Tiruan |

| | | 2.5.3. Istilah dalam jaringan syaraf tiruan | 24 |
|----|------|--|----|
| | 2.6. | Backpropagation | 25 |
| | | 2.6.1. Arsitektur <i>Backpropagation</i> | 26 |
| | | 2.6.2. Fungsi Aktivasi | 27 |
| | | 2.6.3. Pelatihan dan Pengujian | 28 |
| | | 2.6.4. Algoritma Pelatihan <i>Backpropagation</i> | 29 |
| | 2.7. | Momentum | 33 |
| | 2.8. | Mean Squared Error (MSE) | 35 |
| | 2.9. | Mean Absolute Percentage Error (MAPE) | 35 |
| Ш | ME | TODE PENELITIAN | 37 |
| | 3.1. | Jenis Penelitian | 37 |
| | 3.2. | Sumber Data Penelitian | 37 |
| | 3.3. | Pengumpulan Data | 37 |
| | 3.4. | Rancangan Penelitian | 38 |
| | | 3.4.1. Pengambilan data | 38 |
| | | 3.4.2. Pembagian data | 38 |
| | | 3.4.3. Preprocessing data | 38 |
| | | 3.4.4. Processing data | 43 |
| | | 3.4.5. Perhitungan biaya penggunaan bahan bakar gas pada | |
| | | PLTGU Blok 1 | 45 |
| IV | HAS | SIL DAN PEMBAHASAN | 47 |
| | 4.1. | Pembagian Data | 47 |
| | 4.2. | Normalisasi Data | 51 |
| | 4.3. | Tahap Pelatihan | 56 |
| | 4.4. | Tahap Pengujian | 84 |
| | 4.5. | Tahap Peramalan | 94 |
| | 4.6. | Perhitungan Biaya Bahan Bakar | 94 |
| V | PEN | UTUP | 95 |
| | 5.1. | Simpulan | 95 |
| | 5.2. | Saran | 96 |

| D A | AFTAR PUSTAKA | • | • | • | • | • | • | • | • | • | • | • | | | • | • | • | • | • | 9' |
|------------|-----------------------------------|---|---|---|---|---|---|---|---|---|---|---|---|--|---|---|---|---|---|-----|
| A | Perhitungan nilai MSE data latih | • | • | • | • | • | | • | | • | • | | • | | • | • | • | | | 101 |
| В | Perhitungan nilai MAPE data latih | l | • | • | • | • | | • | | • | • | | | | • | • | • | | | 105 |
| C | Perhitungan nilai MSE data uji . | | • | • | • | • | | • | | • | • | | | | • | • | • | | | 109 |
| D | Perhitungan nilai MAPE data uji | • | | | | | | | | | • | | | | • | • | • | | | 111 |
| F | SKRIP PROGRAM MATI AR | | | | | | | | | | | | | | | | | | | 113 |



DAFTAR TABEL

| 2.1 | Kriteria MAPE | 36 |
|-----|---|----|
| 3.1 | Skema penelitian | 41 |
| 4.1 | Data training | 48 |
| 4.2 | Data testing | 50 |
| 4.3 | Hasil normalisasi data training | 53 |
| 4.4 | Hasil normalisasi data testing | 55 |
| 4.5 | Bobot dari input layer ke hidden layer | 59 |
| 4.6 | Bobot dari hidden layer ke output layer | 59 |
| 4.7 | Bobot dari input layer ke hidden layer | 65 |
| 4.8 | Bobot dari hidden layer ke output layer | 65 |
| 4.9 | Hasil Percobaan | 93 |

DAFTAR GAMBAR

| 2.1 | Skema Pembangkit Listrik Tenaga Gas Uap | 14 |
|------|---|----|
| 2.2 | Turbin Gas | 15 |
| 2.3 | Heat Recovery Steam Generator (HRSG) | 16 |
| 2.4 | Turbin Uap | 17 |
| 2.5 | Generator | 18 |
| 2.6 | Contoh Plot Pola Data Horizontal | 19 |
| 2.7 | Contoh Plot Pola Data Musiman | 20 |
| 2.8 | Contoh Plot Pola Data Siklis | 21 |
| 2.9 | Contoh Plot Pola Data Trend | 21 |
| 2.10 | Single Layer | 26 |
| 2.11 | MultiLayer | 27 |
| 2.12 | Sigmoid Biner | 28 |
| 3.1 | Arsitektur jaringan backpropagation 9 node pada hidden layer | 40 |
| 3.2 | Arsitektur jaringan backpropagation 12 node pada hidden layer | 40 |
| 3.3 | Arsitektur jaringan backpropagation 15 node pada hidden layer | 40 |
| 3.4 | Arsitektur jaringan backpropagation 25 node pada hidden layer | 41 |
| 3.5 | Diagram Alur Penelitian | 46 |
| 4.1 | Plot Data Penggunaan Bahan Bakar Gas | 47 |
| 4.2 | Arsitektur jaringan backpropagation pengerjaan manual | 58 |
| 4.3 | Hasil pelatihan dengan momentum 0,9 dan learning rate 0,01 | 68 |
| 4.4 | Hasil pelatihan dengan momentum 0,9 dan learning rate 0,05 | 69 |
| 4.5 | Hasil pelatihan dengan momentum 0,8 dan learning rate 0,01 | 69 |
| 4.6 | Hasil pelatihan dengan momentum 0,8 dan learning rate 0,05 | 70 |
| 4.7 | Hasil pelatihan dengan momentum 0,9 dan learning rate 0,01 | 71 |
| 4.8 | Hasil pelatihan dengan momentum 0,9 dan learning rate 0,05 | 72 |
| 4.9 | Hasil pelatihan dengan momentum 0,8 dan learning rate 0,01 | 72 |

| 4.10 | Hasil pelatihan dengan momentum 0,8 dan learning rate 0,05 | 73 |
|------|--|----|
| 4.11 | Hasil pelatihan dengan momentum 0,9 dan learning rate 0,01 | 74 |
| 4.12 | Hasil pelatihan dengan momentum 0,9 dan learning rate 0,05 | 75 |
| 4.13 | Hasil pelatihan dengan momentum 0,8 dan learning rate 0,01 | 76 |
| 4.14 | Hasil pelatihan dengan momentum 0,8 dan learning rate 0,05 | 76 |
| 4.15 | Hasil pelatihan dengan momentum 0,9 dan learning rate 0,01 | 77 |
| 4.16 | Hasil pelatihan dengan momentum 0,9 dan learning rate 0,05 | 78 |
| 4.17 | Hasil pelatihan dengan momentum 0,8 dan learning rate 0,01 | 79 |
| 4.18 | Hasil pelatihan dengan momentum 0,8 dan learning rate 0,05 | 80 |
| 4.19 | MAPE Hasil Pelatihan 9 node hidden layer | 81 |
| 4.20 | MAPE Hasil Pelatihan 12 node hidden layer | 82 |
| 4.21 | MAPE Hasil Pelatihan 15 node hidden layer | 83 |
| 4.22 | MAPE Hasil Pelatihan 25 node hidden layer | 84 |
| 4.23 | Hasil pengujian dengan momentum 0,9 dan learning rate 0,01 | 85 |
| 4.24 | Hasil pengujian dengan momentum 0,9 dan learning rate 0,05 | 85 |
| 4.25 | Hasil pengujian dengan momentum 0,8 dan learning rate 0,01 | 86 |
| 4.26 | Hasil pengujian dengan momentum 0,8 dan learning rate 0,05 | 86 |
| 4.27 | Hasil pengujian dengan momentum 0,9 dan learning rate 0,01 | 87 |
| 4.28 | Hasil pengujian dengan momentum 0,9 dan learning rate 0,05 | 87 |
| 4.29 | Hasil pengujian dengan momentum 0,8 dan learning rate 0,01 | 88 |
| 4.30 | Hasil pengujian dengan momentum 0,8 dan learning rate 0,05 | 88 |
| 4.31 | Hasil pengujian dengan momentum 0,9 dan learning rate 0,01 | 89 |
| 4.32 | Hasil pengujian dengan momentum 0,9 dan learning rate 0,05 | 89 |
| 4.33 | Hasil pengujian dengan momentum 0,8 dan learning rate 0,01 | 90 |
| 4.34 | Hasil pengujian dengan momentum 0,8 dan learning rate 0,05 | 90 |
| 4.35 | Hasil pengujian dengan momentum 0,9 dan learning rate 0,01 | 91 |
| 4.36 | Hasil pengujian dengan momentum 0,9 dan learning rate 0,05 | 91 |
| 4.37 | Hasil pengujian dengan momentum 0,8 dan learning rate 0,01 | 92 |
| 4.38 | Hasil pengujian dengan momentum 0,8 dan learning rate 0,05 | 92 |

BABI

PENDAHULUAN

1.1. Latar Belakang Masalah

Energi listrik memiliki peran yang sangat penting dalam kehidupan masyarakat sebagai penunjang segala aktivitasnya. Seiring dengan pertumbuhan penduduk Indonesia yang berkembang pesat serta perkembangan teknologi, industri dan pendidikan yang semakin meningkat, maka kebutuhan akan energi listrik pun juga semakin meningkat. Aktivitas rumah tangga dan sektor industri sangat bergantung pada energi listrik, sehingga kebutuhan akan energi listrik harus dipenuhi selama 24 jam (Firdaus, 2010). *Total Terra Watt Hour*(TWh) yang terjual pada Januari 2016 sebesar 17,57 TWh lebih tinggi dari bulan Januari 2015 yang penjualannya sekitar 16,34 TWh dengan biaya pada bulan Januari 2016 mencapai 17,6 triliun rupiah dan pada bulan Januari 2015 mencapai 16,8 triliun rupiah (Anggraeni) 2016).

Untuk memenuhi permintaan kebutuhan listrik, maka pemerintah membangun salah satu perusahaan BUMN sebagai penyedia jasa kebutuhan energi listrik yang ada di Indonesia yaitu PT. PLN (Persero). PT. PLN memiliki dua anak perusahaan yaitu Pembangkit Jawa-Bali (PJB) dan Indonesia Power (IP). Dua perusahaan inilah yang menghasilkan energi listrik untuk disalurkan ke seluruh penjuru Indonesia. Selain itu, PT. PLN juga dituntut supaya dapat menyediakan energi listrik dengan harga yang murah dan menghasilkan energi listrik yang memiliki tingkat efisiensi yang tinggi. PT. PJB tersebar di beberapa titik di

Indonesia, salah satunya di Gresik yaitu PT. PJB Unit Pembangkitan Gresik yang pertama kali dioperasikan pada tahun 1978. PT. PJB UP Gresik memiliki kapasitas sebesar 2219 MW dan terdiri dari tiga jenis unit pembangkit diantaranya 2 unit PLTG, 4 unit PLTU, dan 3 blok PLTGU. PLTGU Gresik memiliki kapasitas terbesar yang terdiri dari 3×526 MW (±1578 MW) jika dibandingkan dengan PLTG dan PLTU. PLTG mempunyai kapasitas sebesar 2×200 MW (±400 MW), sedangkan PLTU sebesar 2×100 MW dan 2×200 MW (±600 MW) (Hadi, 2019).

PLTGU di PT. PJB UP Gresik memiliki tiga unit produksi yaitu blok 1, 2 dan 3. Setiap blok terdiri dari 3 Turbin Gas, 3 HRSG, dan 1 *steam turbine*. PLTGU bekerja berdasarkan kombinasi antara PLTG dengan PLTU. Dimana energi hasil pembakaran bahan bakar digunakan untuk menggerakkan turbin gas yang digandeng satu poros dengan generator. Sisa hasil gas buang dari *gas turbine* dimanfaatkan untuk memanaskan air pada pipa-pipa yang terdapat di HRSG sehingga berubah menjadi uap. Uap yang dihasilkan di HRSG digunakan untuk menggerakkan turbin uap. Energi mekanik dari turbin digunakan untuk memutar generator sehingga menghasilkan energi listrik yang selanjutnya diparalelkan dengan jaringan interkoneksi Jawa Bali (Tarigan, dkk) (2016).

Pengoperasian suatu pembangkit sangat tergantung pada bahan bakar, sehingga hal inilah yang perlu mendapatkan perhatian lebih spesifik karena sebagian besar biaya yang dikeluarkan untuk proses pembangkitan yaitu untuk keperluan bahan bakar (Ilyas, dkk, 2010). Daya keluaran dari pembangkit dapat berubah-ubah sesuai dengan permintaan beban yang diterima. Semakin besar permintaan beban, maka besar daya yang harus dibangkitkan juga semakin besar dan jumlah bahan bakar yang digunakan pun akan semakin besar sehingga biaya yang harus dikeluarkan juga semakin besar (Tambun, 2018). Apabila daya yang

dibangkitkan lebih besar dari permintaan beban, maka akan terjadi pemborosan energi dan pemborosan bahan bakar untuk proses pembangkitan sehingga merugikan perusahaan. Sedangkan jika daya yang dibangkitkan lebih rendah dari permintaan beban, maka akan terjadi pemadaman yang merugikan pihak konsumen (Ramadani), 2016).

Kota Gresik sendiri merupakan kota yang memiliki cukup banyak pabrik dan perusahaan yang tentunya membutuhkan daya listrik secara kontinyu sehingga diperlukan perencanaan pembangkitan yang baik berdasarkan peramalan penggunaan bahan bakar yang telah dilakukan. Jika besar penggunaan bahan bakar tidak diperkirakan, maka akan mempengaruhi kesiapan dari unit pembangkit dalam menyediakan pasokan energi listrik kepada konsumen. Terdapat dua jenis bahan bakar yang digunakan di PLTGU PT. PJB UP Gresik yaitu gas sebagai bahan bakar utama dan minyak HSD (High Speed Diesel) sebagai bahan bakar cadangan. Dalam pembangkitan energi listrik diperlukan bahan bakar yang memadai karena bahan bakar merupakan komponen utama dalam pembangkitan energi listrik. Penggunaan bahan bakar yang efektif dan efisien disesuaikan dengan kebutuhan permintaan beban sehingga tidak ada energi yang terbuang ataupun kurangnya bahan bakar dalam pembangkit listrik. Oleh karena itu perlu dilakukan perancangan sebuah metode yang baik dalam peramalan penggunaan bahan bakar untuk proses pembangkitan (Baskoro, 2017).

Prediksi terhadap penggunaan bahan bakar sangat diperlukan untuk mempersiapkan kebutuhan bahan bakar pada periode yang akan datang serta meminimalisir terjadinya kerugian bagi pihak perusahaan maupun konsumen. Prediksi penggunaan bahan bakar gas pada penelitian ini dilakukan karena berkaitan dengan sistem pembelanjaan bahan bakar yang telah ada pada PLTGU

PT. PJB UP Gresik. Pola pembelanjaan bahan bakar gas yang telah ada yaitu dengan menggunakan acuan beban maksimal yang pernah diminta oleh Perusahaan Listrik Negara (PLN) dalam periode waktu tertentu. Jadi, jumlah bahan bakar gas yang disiapkan digunakan untuk mencukupi beban maksimal tersebut. Namun, pola pembelanjaan seperti ini kurang efektif dari segi biaya karena berkaitan dengan perubahan harga bahan bakar gas yang kemungkinan ketika pembelanjaan jauh lebih mahal dibandingkan saat proses pembangkitan. Apabila hal ini terjadi, maka akan meningkatkan biaya produksi dan mengurangi keuntungan dikarenakan harga penjualan listrik tidak mengikuti peningkatan harga bahan bakar gas (Baskoro, 2017). Kekurangan bahan bakar yang tersedia dapat berakibat terhentinya proses pembangkitan yang sedang berlangsung. Selain itu, persediaan bahan bakar yang relatif kecil akan mengakibatkan frekuensi pembelian bahan bakar menjadi lebih sering sehingga biaya pemesanan bahan bakar untuk proses pembangkitan menjadi lebih besar. Maka perlu dilakukan prediksi penggunaan bahan bakar gas untuk sistem pembelanjaan agar biaya produksi seimbang dengan harga jual daya listrik yang dibangkitkan (Amri, dkk, 2017).

Peramalan merupakan cara untuk memperkirakan apa yang akan terjadi di masa yang akan datang berdasarkan pada data di waktu lampau. Beberapa metode yang bisa digunakan untuk melakukan peramalan seperti *Auto Regressive Integrated Moving Average* (ARIMA), *Adaptive Neuro Fuzzy Inference System* (ANFIS), Logika *Fuzzy, Fuzzy Time Serie*, Jaringan Syaraf Tiruan, dan lain-lain. Terdapat salah satu metode yang berkembang saat ini dan sering digunakan untuk memprediksi penggunaan bahan bakar yaitu dengan menggunakan metode *Neural Network*. Metode yang dapat digunakan untuk memperkirakan data *time series* yaitu model *Feel Forward Neural Network*. Metode ini terdiri dari layar masukan,

layar tersembunyi, dan layar keluaran. Pada setiap lapisannya terdiri dari elemen-elemen pemrosesan (neuron) dimana jumlah unit pada unit tersembunyi berpengaruh terhadap output model dalam meminimumkan tingkat kesalahan (error) (Kurniawan, 2017). Algoritma Backpropagation Neural Network merupakan model sederhana yang dapat menyelesaikan masalah data time series, salah satunya yaitu penggunaan bahan bakar gas pada pembangkit listrik.

Pada Q.S Luqman ayat 34, dijelaskan bahwa tidak ada yang dapat mengetahui secara pasti apa yang akan terjadi hasi esok. Oleh karena itu, Allah memerintahkan untuk melakukan perencanaan, perhitungan, dan manajemen yang tepat agar ketidakpastian tersebut dapat dihadapi dengan baik. Firman Allah dalam Q.S Luqman ayat 34 yang berbunyi:

Artinya: "Sesungguhnya Allah, hanya pada sisi-Nya sajalah pengetahuan tentang Hari Kiamat; dan Dia-lah yang menurunkan hujan, dan mengetahui apa yang ada dalam rahim. Dan tiada seorangpun yang dapat mengetahui (dengan pasti) apa yang akan diusahakannya besok. Dan tiada seorangpun yang dapat mengetahui dibumi mana dia akan mati. Sesungguhnya Allah Maha Mengetahui lagi Maha Mengenal".

Pada ayat tersebut dijelaskan bahwa tidak ada satupun manusia yang dapat mengetahui kejadian pada hari esok. Tidak ada seorangpun yang mengetahui kapan terjadinya hari kiamat. Ibnu Katsir menjelaskan bahwa kita tidak akan

mengetahui apa yang kita usahakan besok, apakah yang kita usahakan akan mendapatkan hasil yang baik atau buruk. Bahkan dalam hal kematiannya sendiri, manusia juga tidak mengetahui kapan dan dimana seseorang akan mati. Dalam hal ini, kondisi ketidakpastian yang terjadi pada hari esok dapat dimaknai sebagai resiko. oleh karena itu, diperlukan adanya pengelolaan terhadap resiko-resiko yang mungkin akan terjadi pada hari esok sehingga akan lebih siap menghadapinya dan hal-hal yang tidak diinginkan akibat dari resiko tersebut dapat diminimalisir (Abdullah, 2007).

Pada penelitian sebelumnya yang berjudul "Peramalan Jumlah Penjualan Menggunakan Jaringan Syaraf Tiruan Backpropagation Pada Perusahaan Air Minum Dalam Kemasan" oleh Nur Fitrianingsih Hasan, Kusrini, dan Hanif Al Fatta. Penelitian ini menggunakan arsitektur jaringan 12 input layer, 10 hidden layer, dan 1 output layer, learning rate 0,1, momentum 0,9, maksimal iterasi sebesar 1000, menghasilkan nilai MSE sebesar 0,00043743 dan nilai MAPE sebesar 6,88% (Hasan, dkk, 2019). Penelitian lain yang berjudul "Peramalan Konsumsi Menggunakan Artificial Harga Garam Neural Network Feedforward-Backpropagation (Studi Kasus: PT. Garam Mas, Rembang, Jawa Tengah) oleh Mochammad Yusuf Habibi dan Edwin Riksakomara. Penelitian ini menggunakan arsitektur jaringan 6 node input, 8 node hidden layer, 1 output layer dan maksimal iterasi sebesar 1000, menghasilkan nilai MSE sebesar 8387,902 dan MAPE sebesar 4,394% (Habibi, dkk, 2017).

Pada penelitian yang berjudul "Peramalan Produksi Gula Menggunakan Metode Jaringan Syaraf Tiruan Backpropagation Pada PG. Candi Baru Sidoarjo" oleh Adi Sukarno Rachman, Imam Cholissodin, dan M. Ali Fauzi. Penelitian ini menggunakan arsitektur jaringan 4 neuron input layer, 3 hidden layer, 1 output

layer dengan learning rate 0,4 dan iterasi maksimum 800, menghasilkan nilai MAPE sebesar 16,98% (Rachman, dkk, 2018). Penelitian lain yang berjudul "Prediksi Biaya Konsumsi Bahan Bakar Gas Menggunakan Metode Backpropagation Neural Network" oleh Uswatun Khasanah dengan menggunakan data konsumsi bahan bakar pada PLTU. Pada penelitian ini diperoleh MAPE sebesar 10,418% yang termasuk kedalam kategori baik dalam kemampuan memprediksi (Khasanah, 2019).

Kelebihan dari jaringan syaraf tiruan terletak pada kemampuan belajar yang dimilikinya. Dengan kemampuan tersebut, pengguna tidak perlu merumuskan kaidah atau fungsinya karena jaringan syaraf tiruan akan belajar mencari kaidah atau fungsinya sendiri sehingga jaringan syaraf tiruan mampu digunakan untuk menyelesaikan masalah yang rumit dan masalah yang terdapat kaidah atau fungsinya yang tidak diketahui. Metode *backpropagation* melatih jaringan untuk mendapatkan keseimbangan antara kemampuan jaringan untuk mengenali pola yang digunakan selama pelatihan serta kemampuan jaringan untuk memberikan respon yang benar terhadap pola masukan yang serupa dengan pola yang dipakai selama pelatihan. Jaringan syaraf tiruan *backpropagation* merupakan metode yang paling sederhana dan emmpunyai konsep belajar yang mudah dipahami dibandingkan dengan metode-metode jaringan syaraf tiruan yang lain (Tindriyani, 2017).

Berdasarkan penelitian sebelumnya, diketahui bahwa jaringan syaraf tiruan menggunakan metode *backpropagation* menghasilkan tingkat akurasi yang cukup tinggi sehingga sangat tepat digunakan untuk melakukan prediksi. Oleh karena itu pada penelitian kali ini akan dilakukan peramalan penggunaan bahan bakar gas metode jaringan syaraf tiruan dengan judul penelitian "Peramalan Penggunaan

Bahan Bakar Pada Pembangkit Listrik Tenaga Gas Uap Menggunakan Metode Backpropagation Neural Network (Studi Kasus: PT. Pembangkitan Jawa Bali Unit Pembangkitan Gresik)".

1.2. Rumusan Masalah

Berdasarkan latar belakang diatas maka dapat dirumuskan permasalahan sebagai berikut:

- Bagaimana hasil peramalan penggunaan bahan bakar pada PLTGU Blok 1
 PT. PJB UP Gresik menggunakan metode *Backpropagation Neural Network*?
- 2. Bagaimana tingkat akurasi dari peramalan penggunaan bahan bakar pada PLTGU Blok 1 PT. PJB UP Gresik menggunakan metode *Backpropagation* Neural Network?
- 3. Bagaimana arsitektur jaringan *Backpropagation* yang paling optimal dalam peramalan penggunaan bahan bakar pada PLTGU Blok 1 PT. PJB UP Gresik?

1.3. Tujuan Penelitian

Adapun tujuan dilakukannya penelitian ini adalah:

- Mengetahui hasil peramalan penggunaan bahan bakar pada PLTGU Blok 1
 PT. PJB UP Gresik menggunakan metode Backpropagation Neural Network
- Mengetahui tingkat akurasi peramalan penggunaan bahan bakar pada PLTGU Blok 1 PT. PJB UP Gresik menggunakan metode *Backpropagation Neural* Network
- 3. Mengetahui arsitektur jaringan *Backpropagation* yang paling optimal dalam peramalan penggunaan bahan bakar pada PLTGU Blok 1 PT. PJB UP Gresik

1.4. Manfaat Penelitian

Dengan dilakukannya penelitian ini, diharapkan dapat memberikan manfaat sebagai berikut:

 Manfaaat Teoritis Secara teoritis, bagi bidang unit pembangkit dan ilmu matematika penelitian ini mampu menambah pengetahuan tentang metode Backpropagation Neural Network dalam memprediksi penggunaan bahan bakar pada proses pembangkitan energi listrik.

2. Manfaat Praktis

- (a) Bagi Perusahaan, penelitian memberikan alternatif pilihan untuk mengoptimalkan pemakaian dan pemesanan bahan bakar pada unit pembangkit agar tercipta manajemen sumberdaya energi yang efektif dan efisien.
- (b) Bagi Universitas Islam Negeri Sunan Ampel Surabaya, penelitian ini menambah koleksi bahan pustaka yang bermanfaat bagi Universitas Islam Negeri Sunan Ampel Surabaya dan bagi mahasiswa Program Studi Matematika, Fakultas Sains dan Teknologi.

1.5. Batasan Masalah

Untuk menghindari meluasnya masalah maka diberikan beberapa batasan masalah, yaitu:

- Penelitian ini hanya dilakukan pada data sistem tenaga listrik di PT. PJB Unit Pembangkitan Gresik.
- 2. Data yang digunakan diambil pada PLTGU Blok I PT. PJB UP Gresik yang terdiri dari 3 unit turbin gas.

 Data yang digunakan untuk prediksi penggunaan bahan bakar gas diambil dari data mingguan pada bulan Oktober tahun 2015 sampai bulan September 2019.

1.6. Sistematika Penulisan

Penulisan penelitian ini tersusun secara sistematis yang terdiri dari 5 bab. Adapun uraian singkat mengenai sistematika penulisan penelitian ini yaitu sebagai berikut:

1. Bab I Pendahuluan

Bab ini menjelaskan mengenai permasalahan yang menjadi latar belakang penelitian, yaitu terjadinya kehabisan bahan bakar gas pada saat proses pembangkitan sehingga unit pembangkit harus di matikan sementara atau tidak dioperasikan sementara waktu. Selain itu, pada bagian ini penulis juga menjelaskan mengenai rumusan masalah, batasan masalah, tujuan penelitian, manfaat penelitian, dan sistematika penulisan.

2. Bab II Tinjauan Pustaka

Bab ini menjelaskan mengenai teori-teori yang mendukung untuk menyelesaikan permasalahan yang berhubungan dengan penelitian yaitu deskripsi singkat mengenai perusahaan, data runtun waktu dan peramalan, jaringan syaraf tiruan, *algoritma backpropagation*, serta evaluasi.

3. Bab III Metodologi Penelitian

Bab ini menjelaskan mengenai deskripsi data yang digunakan dalam penelitian, tempat dan waktu penelitian, serta tahapan tahapan yang dilakukan dalam penelitian.

4. Bab IV pembahasan

Bab ini menjelaskan hasil dari penelitian yang telah dilakukan oleh peneliti serta menjelaskan mengenai model jaringan syaraf tiruan menggunakan algoritma *Backpropagation Neural Network* dalam memprediksi penggunaan bahan bakar gas serta biaya dikeluarkan terhadap biaya bahan bakar gas pada Unit PLTGU PT. PJB Unit Pembangkitan Gresik.

5. Bab V Penutup

Bab ini berisi tentang simpulan yaitu rangkuman dari keseluruhan hasil yang telah dirumuskan. Selain itu, bab ini juga berisi saran yang ditujukan kepada peneliti selanjutnya yang ingin mengembangkan penelitian ini.

BAB II

TINJAUAN PUSTAKA

2.1. Pembangkit Listrik PT. PJB UP Gresik

PT. PJB merupakan salah satu anak perusahaan PT. PLN yang membangkitkan energi listrik dan tersebar di enam wilayah unit pembangkitan (UP) yaitu: UP gresik (2219 MW), UP Paiton (800 MW), UP Muara Karang (908 MW), UP Muara Tawar (920 MW), UP Cirata (1008 MW), dan UP Brantas (Tarigan, dkk, 2016). PT. PJB UP Gresik merupakan salah satu pembangkitan yang menyediakan energi listrik untuk PLN yang kemudian didistribusikan kepada masyarakat dan pertama kali diopersikan pada tahun 1978. Unit Pembangkitan Gresik merupakan salah satu unit pembangkit tenaga listrik milik PT. PJB yang terletak di Jawa Timur tepatnya di desa Sidorukun, Jl. Harun Thohir, No. 1, Pulopancikan, kecamatan Gresik, kabupaten Gresik, Jawa Timur. PT. PJB Unit Pembangkitan Gresik memiliki kapasitas sebesar 2219 MW yang terdiri dari tiga jenis pembangkit diantaranya 2 unit PLTG, 4 unit PLTU, dan 3 blok PLTGU. PLTGU Gresik memiliki kapasitas terbesar yang terdiri dari 3×526 MW (± 1578 MW) jika dibandingkan dengan PLTG dan PLTU. PLTG mempunyai kapasitas sebesar 2×200 MW (± 400 MW), sedangkan PLTU sebesar 2×100 MW dan $2 \times$ $200 \text{ MW } (\pm 600 \text{ MW}) \text{ (Hadi, 2019)}$

Secara umum, sistem tenaga listrik dibagi menjadi beberapa bagian, diantaranya (Tambun, 2018):

1. Sistem Pembangkit

Sistem pembangkit berfungsi untuk membangkitkan energi listrik. Pada pembangkit listrik, energi alam diubah oleh penggerak menjadi energi mekanis yang berupa putaran. Kemudian generator mengubah energi mekanis menjadi energi listrik (Tambun, 2018).

2. Sistem Transmisi

Sistem transmisi berfungsi untuk menyalurkan tenaga listrik dari pusat pembangkit ke pusat beban melalui saluran transmisi. Untuk mengurangi rugi-rugi yang disebabkan oleh panas akibat arus listrik yang mengalir pada kabel penghantar, maka digunakan tegangan tinggi pada sistem transmisi (Tambun, 2018).

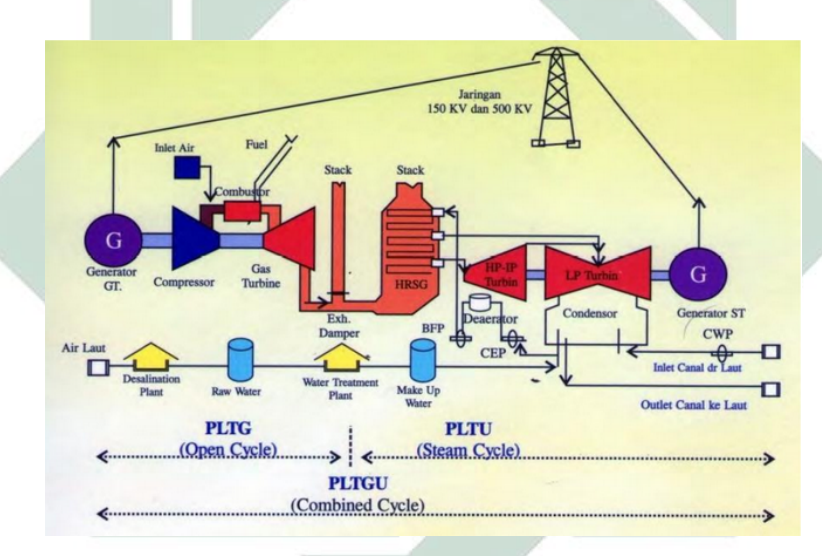
3. Sistem Distribusi

Sistem distribusi berfungsi untuk mendistribusikan tenaga listrik ke konsumen diantaranya: industri, perumahan, tempat hiburan, dan lain sebagainya. Untuk melayani konsumen, pada transmisi dengan tegangan tinggi atau ekstra tinggi dirubah pada gardu induk menjadi tegangan menengah atau distribusi primer yang selanjutnya tegangan diturunkan lagi menjadi tegangan distribusi sekunder (Tambun, 2018).

2.2. Pembangkit Listrik Tenaga Gas Uap (PLTGU)

PLTGU merupakan suatu instalasi peralatan yang berfungsi untuk mengubah energi panas menjadi energi listrik. Pada dasarnya, PLTGU merupakan sistem yang menggabungkan prinsip kerja PLTG dan PLTU dengan siklus ganda (combined cycle). Peralatan utamanya terdiri dari gas turbine, HRSG (Heat Recovery Steam Generator), steam turbine, generator dan alat pendukung lainnya.

Pada PLTGU, energi hasil pembakaran bahan bakar digunakan untuk menggerakkan turbin gas yang digandeng satu poros dengan generator. Sisa hasil gas buang dari *gas turbine* dimanfaatkan untuk memanaskan air pada pipa-pipa yang terdapat di HRSG sehingga berubah menjadi uap. Uap yang dihasilkan di HRSG digunakan untuk menggerakkan *steam turbine*. Energi mekanik dari turbin digunakan untuk memutar generator sehingga menghasilkan energi listrik yang selanjutnya diparalelkan dengan jaringan interkoneksi Jawa Bali (Tarigan, dkk), 2016). Skema dari PLTGU ditunjukkan seperti pada Gambar 2.1.



Gambar 2.1 Skema Pembangkit Listrik Tenaga Gas Uap

Sumber: (Tarigan, dkk, 2016)

PLTGU merupakan jenis pembangkit listrik yang menggunakan bahan bakar gas dan tenaga uap untuk menghasilkan listrik. Adapun komponen-komponen PLTGU antara lain (Tarigan, dkk), 2016):

1. Turbin Gas

Gas turbine merupakan alat yang memanfaatkan gas sebagai fluida untuk memutar turbin dengan pembakaran didalam. Melalui udara bertekanan

yang memutar roda turbin, energi kinetik diubah menjadi energi mekanik sehingga menghasilkan daya. Sistem turbin gas yang paling sederhana terdiri dari tiga komponen yaitu kompresor, ruang bakar, dan turbin gas. Udara masuk ke dalam kompresor melalui inlet (saluran masuk udara). Kompresor berfungsi untuk menghisap dan menaikkan tekanan udara sehingga temperatur udaranya meningkat. Kemudian udara bertekanan tersebut masuk ke dalam ruang bakar. Didalam ruang bakar, udara bertekanan dicampur dengan bahan bakar agar terjadi proses pembakaran. Ruang bakar hanya digunakan untuk menaikkan temperatur sehingga proses pembakaran tersebut berlangsung dalam keadaan tekanan konstan. Gas hasil pembakaran tersebut dialirkan ke sudu-sudu turbin gas. Daya yang dihasilkan oleh turbin gas itulah yang kemudian digunakan untuk memutar kompresor dan beban lain seperti generator dan listrik. Kemudian gas hasil pembakaran dikeluarkan melalui saluran pembuangan (Tarigan, dkk , 2016). Turbin gas dapat dilihat pada Gambar 2.2.



Gambar 2.2 Turbin Gas

2. Heat Recovery Steam Generator(HRSG)

Merupakan sebuah alat yang dapat mengambil aliran gas buang dengan

temperatur tinggi diatas $500^{\circ}C$ dari turbin gas. HRSG memproduksi uap yang dapat digunakan kembali untuk menggerakkan turbin uap. Untuk menghasilkan uap, gas buang dari turbin gas dialirkan melalui HRSG sehingga menghasilkan uap tekanan tinggi dan tekanan rendah yang berguna untuk memutar turbin uap. Didalam HRSG terdapat pipa-pipa kecil yang melintang atau disebut dengan tube-tube. Tube-tube berisi air yang nantinya akan dipanasi oleh gas buang yang masuk sehingga berubah menjadi uap. Proses pemanasan air di HRSG tidak menggunakan bahan bakar tambahan, tetapi hanya menggunakan gas buang dari turbin gas (Putri, 2018). Steam Generator (HRSG) dapat dilihat pada Gambar 2.3.



Gambar 2.3 Heat Recovery Steam Generator (HRSG)

3. Steam Turbine

Steam Turbine merupakan suatu penggerak mula yang mengubah energi potensial menjadi energi kinetik. Selanjutnya, energi kinetik diubah menjadi energi mekanik (energi putar) dalam bentuk putaran poros turbin. Turbin uap merupakan salah satu jenis mesin yang menggunakan mesin pembakaran luar. Prinsip kerja dimulai dari pemanasan air pada ketel uap. Ketel uap yaitu alat untuk menghasilkan uap air. Poros turbin digerakkan dengan

menggunakan uap air hasil pemanasan yang bertemperatur dan bertekanan tinggi. Uap yang keluar dari turbin dapat dipanaskan kembali atau langsung disalurkan ke kondensor untuk didinginkan. Pada kondensor, uap berubah kembali menjadi air dengan tekanan dan temperatur rendah. Dengan bantuan pompa, air tersebut dialirkan kembali ke ketel uap sehingga kembali menghasilkan uap yang berguna untuk memutar turbin. Energi mekanik turbin digunakan untuk memutar generator dan menghasilkan energi listrik yang selanjutnya diparalelkan dengan jaringan interkoneksi Jawa Bali (Putri).



4. Generator

Generator merupakan sebuah alat yang memproduksi energi mekanik menjadi energi listrik dengan menggunakan induksi elektromagnetik. Dengan adanya tekanan dari uap, generator akan bergerak sehingga memutar rotor yang akan menghasilkan listrik. Generator mendorong muatan listrik untuk bergerak melalui sirkuit listrik eksternal. Sirkuit listrik yaitu kumpulan komponen-komponen listrik yang membentuk suatu rangkaian yang terhubung oleh kabel konduktor atau kawat (Putri, 2018). Bentuk dari

generator dapat dilihat pada Gambar 2.5.



Gambar 2.5 Generator

2.3. Peramalan

Peramalan yaitu dugaan atau proses memperkirakan kejadian di masa mendatang. Peramalan memberikan suatu kejadian yang belum pasti tentang apa yang akan terjadi di masa mendatang, namun peramalan dapat digunakan sebagai acuan agar dapat memperkecil suatu kesalahan. Terdapat dua teknik peramalan yang dapat digunakan, yaitu (Kurniawan, 2017):

1. Peramalan kualitatif

Merupakan peramalan yang didasarkan pada pendapat-pendapat para ahli dan datanya tidak bisa disajikan dalam bentuk nilai atau angka. Sebagai hasil dari peramalan yang telah dilakukan, pendapat-pendapat itulah yang akan menjadi suatu pertimbangan dalam pengambilan keputusan (Kurniawan) (2017).

2. Peramalan kuantitatif

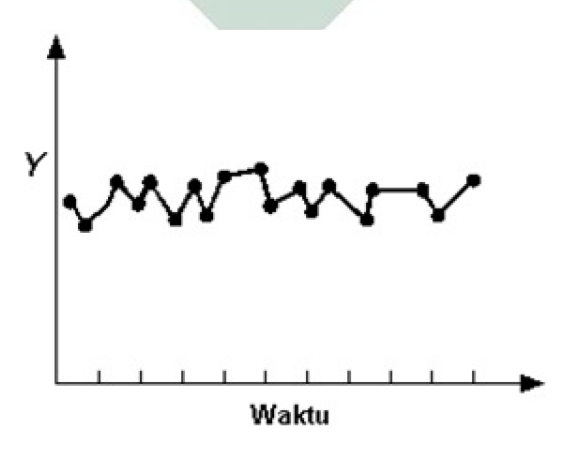
Merupakan peramalan yang didasarkan pada data masa lalu dengan asumsi bahwa pola masa lalu akan berlanjut pada masa yang akan datang. Data masa lalu berupa nilai atau angka yang disebut dengan data *time series* (Kurniawan,

2017).

2.4. Time Series (Data Runtun waktu)

Time series yaitu pengamatan pada suatu variabel dari waktu lampau dan dicatat secara berurutan menurut urutan waktu dengan periode tetap. Waktu yang digunakan dapat berupa detik, menit, jam, hari, minggu, bulan, bahkan tahunan dalam rentang waktu tertentu. Peramalan data time series merupakan peramalan menggunakan analisa plot dari variabel yang akan diprediksi dengan variabel waktu. Analisis time series merupakan bidang penelitian yang aktif dimana keakuratan peramalan menggunakan data time series menjadi pokok dalam tahap pengambilan keputusan (Khasanah, 2019). Peramalan suatu data dapat menggunakan berbagai metode. Untuk menentukan dan memilih metode yang sesuai maka diperlukan pertimbangan seperti akurasi, jangkauan peramalan, kemudahan penerapan. Keakurasian suatu peramalan dipengaruhi oleh pola data yang akan digunakan. Ada beberapa pola data diantaranya (Kusumadewi, 2014):

1. Pola horizontal



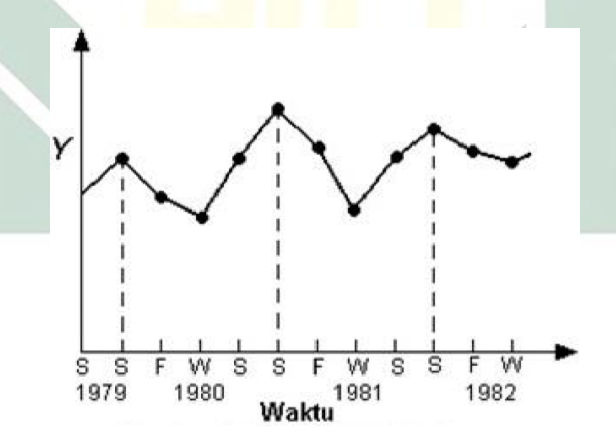
Gambar 2.6 Contoh Plot Pola Data Horizontal

Sumber: (Ilmiyah, 2018)

Gambar 2.6 menunjukkan contoh plot pola data horizontal. Suatu data dikatakan memiliki pola horizontal ketika pola data observasi berubah-ubah disekitar nilai rata-rata yang tetap. Misalnya penjualan produk tiap bulan tidak ada peningkatan atau penurunan secara konsisten pada suatu waktu (Kusumadewi, 2014).

2. Pola musiman

Suatu data dikatakan memiliki pola musiman ketika pola data observasi dipengaruhi oleh musim tertentu dan ditandai dengan adanya pola perubahan yang berulang dari tahun ke tahun atau dipengaruhi oleh faktor musiman seperti harian, bulanan, atau tahunan. Misalnya permasalahan sehari-hari yang berpola adalah penjualan buku tulis atau alat sekolah lainnya pada setiap tahun ajaran baru (Kusumadewi, 2014). Contoh plot dari pola musiman ditunjukkan pada Gambar 2.7.

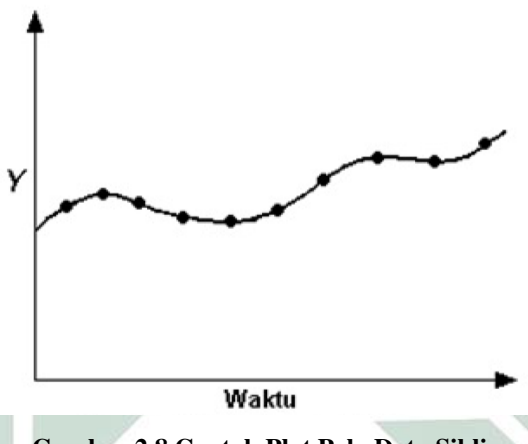


Gambar 2.7 Contoh Plot Pola Data Musiman

Sumber: (Ilmiyah, 2018)

3. Pola siklis

Suatu data dikatakan memiliki pola siklis ketika pola data observasi dipengaruhi oleh fluktuasi ekonomi jangka panjang seperti yang berhubungan dengan siklus bisnis. Misalnya kegiatan bisnis seperti penjualan mobil (Kusumadewi, 2014). Contoh plot data dari pola siklis ditunjukkan pada Gambar 2.8.

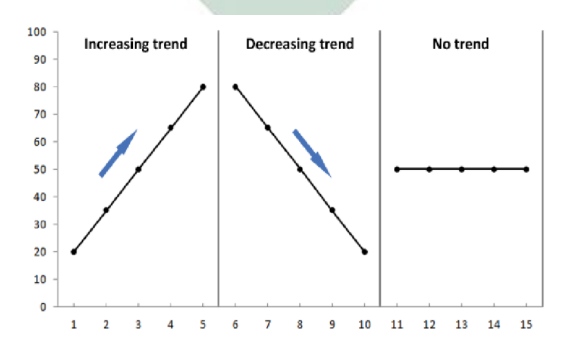


Gambar 2.8 Contoh Plot Pola Data Siklis

Sumber: (Ilmiyah, 2018)

4. Pola trend

Suatu data dikatakan memiliki pola trend ketika pola observasi terdapat kenaikan atau penurunan dalam jangka panjang. Misalnya data populasi penduduk (Kusumadewi, 2014). Contoh lain seperti pada inflasi, produk bruto nasional, dan peningkatan produktivitas (Ilmiyah, 2018). Plot data dari pola trend ditunjukkan pada Gambar 2.9.



Gambar 2.9 Contoh Plot Pola Data Trend

Sumber: (Ilmiyah, 2018)

2.5. Jaringan Syaraf Tiruan

Jaringan syaraf tiruan merupakan kecerdasan buatan yang digunakan untuk mengolah informasi yang mempunyai karakteristik menyerupai jaringan syaraf pada otak manusia. Pada jaringan syaraf manusia, *implus* yang masuk ke dalam *neuron* akan dijumlah dan dibandingkan dengan nilai ambangnya. *Neuron* akan terangsang apabila hasil penjumlahannya melebihi nilai ambang. Hal inilah yang menjadi dasar penjumlahan bobot dan fungsi ambang pada jaringan syaraf tiruan (Ramadhan). Proses pada jaringan syaraf tiruan terjadi pada layar tersembunyi yang sudah ditentukan sebelumnya. Setiap penghubung antar *layer* diberi bobot untuk menuju ke layer berikutnya. Sedikit banyaknya *layer* tersembunyi dapat mempengaruhi tingkat akurasi. Semakin banyak *layer*, maka hasil yang didapat semakin baik namun waktu yang dibutuhkan cukup lama (Khasanah) (2019).

2.5.1. Karakteristik Jaringan Syaraf Tiruan

Jaringan syaraf tiruan memiliki beberapa karakteristik yang dikembangkan dari cara berpikir manusia yaitu saraf biologi dengan asumsi sebagai berikut (Monita, 2019):

- 1. Pemrosesan informasi terjadi pada beberapa neuron.
- Setiap sinyal dilewatkan diantara sel dengan penghubung antar neuron-neuron yang dimiliki melalui sambungan keluarannya. Neuron memberikan informasi yang telah diterima menuju neuron yang lain melalui sambungan tersebut.
- 3. Setiap penghubung memiliki bobot.

- 4. Masing-masing informasi disimpan dalam sebuah nilai tertentu pada masing-masing bobot.
- 5. Setiap sel menerapkan satu fungsi aktivasi untuk menentukan sinyal keluarannya (Monita, 2019).

2.5.2. Susunan Jaringan Syaraf Tiruan

Unit pada jaringan syaraf tiruan disusun dalam grup yang disebut lapis atau *layer*. Susunan unit-unit pada layer dan pola koneksi di dalam dan antar *layer* disebut dengan arsitektur jaringan. Secara umum ada 3 jenis lapisan dalam arsitektur jaringan syaraf tiruan, diantaranya (Kusumadewi, 2014):

1. Input layer

Unit-unit dalam *input layer* disebut dengan unit masukan. Unit ini menerima pola masukan dari luar. Banyaknya unit dalam lapisan *input* tergantung pada banyaknya *input* dalam model arsitektur yang dibuat (Kusumadewi, 2014).

2. Hidden layer

Unit-unit dalam lapisan tersembunyi disebut dengan unit tersembunyi dimana nilai keluaran yang dihasilkan tidak dapat diamati secara langsung. lapisan tersembunyi terletak diantara *input layer* dan *output layer*. Dalam satu model arsitektur jaringan syaraf tiruan dapat terdiri dari beberapa *hidden layer* (Kusumadewi, 2014).

3. Output layer

Unit-unit dalam *output layer* disebut dengan *unit output*. *Output* pada *layer* ini merupakan solusi jaringan syaraf tiruan dari suatu permasalahan. Setelah melakukan percobaan, jaringan merespon *input* baru untuk mengasilkan

output yang merupakan hasil dari peramalan (Kusumadewi, 2014).

2.5.3. Istilah dalam jaringan syaraf tiruan

Terdapat beberapa istilah yang sering ditemui dalam jaringan syaraf tiruan, antara lain (Rufiyanti, 2015):

1. Neuron atau node

Sel saraf tiruan merupakan elemen pengolahan jaringan syaraf tiruan. Setiap *neuron* menerima data *input*, memproses *input* tersebut dengan melakukan sejumlah perkalian yang melibatkan *summation function* dan fungsi aktivasi, dan mengiriman hasilnya berupa *output* (Rufiyanti), 2015).

2. Jaringan

Kumpulan *neuron/unit* yang saling terhubung dan membentuk lapisan (Rufiyanti, 2015).

3. Masukan (*Input*)

Berhubungan dengan atribut tunggal dari sebuah pola atau data yang kemudian diteruskan ke lapisan selanjutnya (Rufiyanti, 2015).

4. Keluaran (*Output*)

Solusi atau hasil pemahaman jaringan terhadap data input. Pembangunan jaringan syaraf tiruan sendiri memiliki tujuan yaitu untuk mengetahui nilai *output* (Rufiyanti, 2015).

5. Hidden layer

Hidden layer merupakan lapisan yang tidak secara langsung berinteraksi dengan dunia luar. Lapisan ini bekerja dengan memperluas kemampuan jaringan syaraf tiruan dalam menghadapi beberapa masalah yang kompleks

(Rufiyanti, 2015).

6. Bobot

Bobot merupakan nilai dari setiap penghubung yang digunakan untuk mengirimkan data dari satu lapisan ke lapisan lainnya. Bobot dalam jaringan syaraf tiruan digunakan untuk mengatur jaringan sehingga menghasilkan nilai keluaran yang diinginkan sekaligus membuat proses pembelajaran pada jaringan (Rufiyanti, 2015).

7. Summation Function

Sebuah fungsi yang digunakan untuk mencari nilai rata-rata bobot dari semua elemen input (Rufiyanti, 2015).

8. Fungsi aktivasi

Fungsi yang menggambarkan hubungan antara tingkat aktivasi *internal* (*summation function*) yang mungkin berbentuk *linear* atau *nonlinear* (Rufiyanti, 2015). Fungsi aktivasi yang sering digunakan yaitu fungsi sigmoid yang memiliki beberapa jenis, yaitu: *sigmoid biner*, *sigmoid bipolar*, *dan sigmoid tangen* (Dwi, 2019).

2.6. Backpropagation

Backpropagation merupakan salah satu algoritma pembelajaran yang paling umum digunakan dalam jaringan syaraf tiruan. Metode ini melatih jaringan untuk mendapatkan keseimbangan antara kemampuan jaringan dalam mengenali pola selama proses pelatihan serta memberikan respon yang benar terhadap pola masukan yang serupa namun tidak sama dengan pola yang dipakai selama pelatihan. Algoritma yang digunakan dalam backpropagation yaitu pembelajaran terawasi dan banyak lapisan pada perceptron (Rufiyanti), 2015).

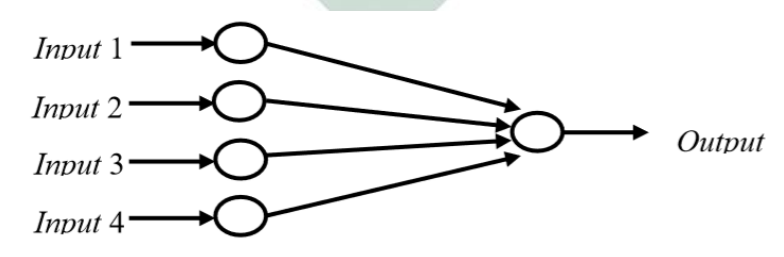
Backpropagation bekerja melalui proses iteratif dengan menggunakan sekumpulan data latih lalu membandingkan nilai prediksi dari jaringan yang telah dibangun dengan nilai sesungguhnya. *Backpropagation* melakukan proses pembelajaran dengan menggunakan pola penyesuaian bobot dari arsitektur jaringan syaraf tiruan dengan arah mundur untuk mencapai nilai kesalahan yang minimum antara nilai keluaran hasil prediksi dengan nilai keluaran yang sesungguhnya (Andrijasa dan Mistianingsih, 2010).

2.6.1. Arsitektur Backpropagation

Backpropagation memiliki beberapa unit atau node yang ada disetiap lapisan tersembunyi (Siang, 2005). Arsitektur backpropagation dibedakan menjadi dua model, yaitu (Rufiyanti, 2015):

1. Single Layer

Jaringan *single layer* hanya memiliki satu lapisan bobot koneksi. Pada jaringan lapisan tunggal, *input* yang diterima langsung diolah menjadi *output* tanpa harus melalui lapisan tersembunyi seperti yang ditunjukkan pada Gambar 2.10 (Rufiyanti, 2015).



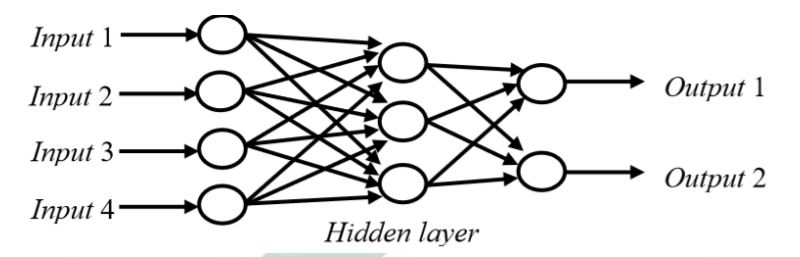
Gambar 2.10 Single Layer

Sumber: (Rufiyanti, 2015)

2. Multilayer

Jaringan *multilayer* memiliki satu atau lebih lapisan tersembunyi. Jaringan

multilayer dapat menyelesaikan permasalahan yang lebih sulit dibanding dengan lapisan tunggal. Gambar 2.11 merupakan tampilan dari jaringan *multilayer* (Rufiyanti, 2015).



Gambar 2.11 MultiLayer

Sumber: (Rufiyanti, 2015)

2.6.2. Fungsi Aktivasi

Fungsi aktivasi merupakan penentu diteruskan atau tidaknya sinyal dari input neuron. Dalam backpropagation, fungsi aktivasi yang digunakan harus memenuhi beberapa syarat yaitu kontinu, terdiferensial dengan mudah dan fungsi tersebut merupakan fungsi tidak turun. Terdapat beberapa fungsi aktivasi yang sering digunakan dalam jaringan syaraf tiruan, diantaranya (Rufiyanti, 2015):

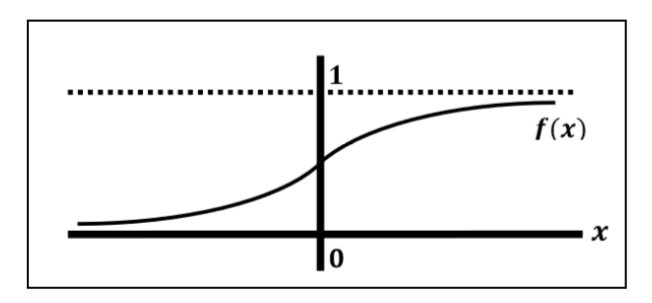
1. Fungsi Sigmoid Biner

Fungsi sigmoid biner memiliki range 0 sampai 1. Fungsi ini sering digunakan pada jaringan syaraf yang nilai *output* terletak antara interval 0 sampai 1. Fungsi ini dirumuskan seperti pada Persamaan (2.1) dan (2.2) berikut (Rufiyanti, 2015):

$$y = f(x) = \frac{1}{1 + e^{-x}} \tag{2.1}$$

dengan turunan,

$$f'(x) = f(x)[1 - f(x)]$$
 (2.2)



Gambar 2.12 Sigmoid Biner

Sumber: (Rufiyanti, 2015)

2.6.3. Pelatihan dan Pengujian

Pelatihan pada *backpropagation* terdiri dari tiga langkah, yaitu (Sakinah, dkk, 2018):

1. Fase 1: Propagasi Maju feedforward

Setiap unit masukan (x_i) akan menerima sinyal input dan dipropagasikan ke layar tersembunyi dengan menggunakan sebuah fungsi aktivasi yang telah ditentukan. Keluaran pada setiap unit layar tersembunyi (z_j) selanjutnya dipropagasikan maju lagi ke layar tersembunyi di atasnya. Demikian seterusnya hingga menghasilkan keluaran jaringan (y_k) . Selanjutnya keluaran tersebut dibandingkan dengan target yang harus dicapai (t_k) . Selisih $t_k - y_k$ merupakan nilai kesalahan yang terjadi (error). Jika nilai error lebih kecil dari batas tolerasi yang telah ditentukan, maka iterasi akan dihentikan. Namun jika nilai error yang didapatkan masih lebih besar dari batas toleransi, maka bobot pada setiap penghubung akan dimodifikasi untuk mengurangi error yang terjadi (Sakinah, dkk) [2018).

2. Fase 2: Propagasi Mundur backpropagation

Setiap unit keluaraan (y_k) dengan (k=1,2,3,...,m) menerima suatu target (output yang diharapkan) yang akan dibandingkan dengan output yang

29

dihasilkan. Faktor koreksi error (δ_k) digunakan untuk menghitung koreksi

error (Δw_{kj}) yang dipakai untuk memperbarui bobot di layar keluaran ke

semua layar tersembunyi (w_{kj}) yang terhubung langsung dengan output

layer (y_k) . Dengan cara yang sama, dihitung faktor koreksi error (Δv_{ij}) di

setiap unit di layar tersembunyi sebagai dasar perubahan bobot (Sakinah,

dkk, <mark>2018</mark>).

3. Fase 3: Perubahan Bobot

Setiap unit keluaraan (y_k) dengan (k=1,2,3,...,m) akan memperbarui bias

dan bobotnya dengan setiap unit tersembunyi. Begitu juga pada setiap unit

tersembunyi akan memperbarui bias dan bobotnya dengan setiap unit

masukan. Ketiga fase diatas diulang terus hingga kondisi penghentian

dipenuhi yaitu jika jumlah iterasi yang dilakukan sudah melebihi jumlah

maksimum iterasi yang ditetapkan atau jika kesalahan yang terjadi lebih

kecil dari batas toleransi yang dijinkan (Sakinah, dkk, 2018).

2.6.4. Algoritma Pelatihan Backpropagation

Algoritma pelatihan Backpropagation merupakan salah satu algoritma

dengan multilayer perceptron untuk mengubah bobot-bobot yang terhubung

dengan lapisan tersembunyi. Algoritma ini merupakan algoritma terawasi karena

error dari keluaran digunakan untuk mengubah nilai bobot-bobot dalam arah

mundur. Pelatihan pada algoritma Backpropagation terdiri dari tiga tahap yaitu

(Rufiyanti, 2015):

1. Langkah 1: Inisialisasi nilai bobot awal dengan nilai random yang kecil.

2. Fase 1 : Propagasi maju (feedforward)

Langkah 2: Hitung semua keluaran

Untuk mendapatkan nilai unit pada output layer, perhitungan dilakukan dari lapisan ke lapisan.

(a) Pada *hidden layer*

Rumus untuk mencari keluaran unit tersembunyi pada hidden layer $z_j (j=1,2,3,...,p)$ ditunjukkan pada Persamaan (2.3) dan (2.4)

$$z_{net j} = v_{j0} + \sum_{i=1}^{n} x_i v_{ji}$$

$$z_j = f(z_{net j})$$
(2.3)

$$z_j = f(z_{net\ j}) \tag{2.4}$$

keterangan:

 v_{j0} : bobot bias d<mark>ari input layer ke hidden layer</mark> (j=1,2,3,...,p)

: unit masukan ke-i(i = 1, 2, 3, ..., n)

: bobot unit masukan pada input layer ke hidden layer v_{ji}

: unit keluaran ke-j pada $\mathit{hidden\ layer}\ (j=1,2,3,...,p)$

 $f(z_{net\ j})$: fungsi aktivasi

(b) Pada output layer

Hitung semua unit keluaran di *output layer* $y_k(k = 1, 2, ..., m)$ dengan menggunakan rumus pada Persamaan (2.5) dan (2.6).

$$y_{net k} = w_{k0} + \sum_{j=1}^{p} z_j w_{kj}$$
 (2.5)

$$y_k = f(y_{net\ k}) \tag{2.6}$$

keterangan:

 w_{k0} : bobot bias dari hidden layer ke output layer

: unit keluaran ke-j pada $hidden\ layer\ (j=1,2,3,...,p)$

 \boldsymbol{w}_{kj} : bobot unit masukan pada input layer ke hidden layer

 y_k : unit keluaran pada *hidden layer*

 $f(y_{net\ k})$: fungsi aktivasi

3. Fase 2: Propagasi mundur

Langkah 3: Hitung perubahan pada bobot

Untuk menghitung perubahan pada bobot, vektor *output* pada tiap-tiap lapisan dibandingkan dengan nilai *output*(target) yang diharapkan.

(a) Pada output layer

Hitung faktor δ unit keluaran berdasarkan keluaran pada setiap unit keluaran $y_k(k=1,2,...,m)$ dengan menggunakan rumus pada Persamaan (2.7).

$$\delta_k = (t_k - y_k) y_k (1 - y_k) \tag{2.7}$$

keterangan:

 δ_k : unit kesalahan ke-k

 t_k : nilai asli target ke-k

 y_k : unit keluaran ke-k

Hitung suku perubahan bobot w_{kj} (yang akan digunakan untuk merubah bobot w_{kj}) dengan laju pembelajaran α menggunakan rumus pada Persamaan (2.8).

$$\Delta w_{kj} = \alpha \delta_k z_j; (k = 1, 2, ..., m); j = (0, 1, ..., p)$$
 (2.8)

keterangan:

 Δw_{kj} : suku perubahan bobot w_{kj}

 α : laju pembelajaran

 δ_k : unit kesalahan ke-k

 z_j : unit keluaran ke-j pada hidden layer j=(1,2,...,p)

(b) Pada hidden layer

Hitung faktor δ unit tersembunyi berdasarkan pada nilai error menggunakan rumus pada Persamaan (2.9).

$$\delta_{net j} = \sum_{k=1}^{m} \delta_k w_{kj} \tag{2.9}$$

Faktor δ unit tersembunyi dapat dicari menggunakan Persamaan (2.10).

$$\delta_{j} = \delta_{net \ j} f'(z_{net \ j}) = \delta_{net \ j} z_{j} (1 - z_{j}) \tag{2.10}$$

Hitung suku perubahan bobot v_{ji} (yang akan digunakan untuk merubah bobot v_{ji}) dengan laju pembelajaran α menggunakan rumus pada Persamaan (2.11).

$$\Delta v_{ji} = \alpha \delta_j x_i; (j = 1, 2, ..., p); (i = 0, 1, ..., n)$$
 (2.11)

4. Fase 3: Perubahan bobot

Langkah 4: Hitung semua perubahan nilai bobot

(a) Pada output layer

Perubahan nilai bobot yang menuju unit keluaran dapat dihitung

menggunakan rumus pada Persamaan (2.12).

$$w_{kj}(baru) = w_{kj}(lama) + \Delta w_{kj}; (k = 1, 2, ..., m); (j = 0, 1, ..., p)$$
(2.12)

(b) Pada hidden layer

Perubahan bobot yang menuju ke unit tersembunyi dapat dihitung menggunakan rumus pada Persamaan (2.13).

$$v_{ji}(baru) = v_{ji}(lama) + \Delta v_{ji}; (j = 1, 2, ..., p); (i = 0, 1, ..., n)$$
(2.13)

2.7. Momentum

Pada standar *backpropagation*, perubahan bobot didasarkan atas gradien yang terjadi untuk pola yang dimasukkan pada saat itu. Modifikasi yang dapat dilakukan adalah menggunakan momentum, yaitu dengan melakukan perubahan bobot yang didasarkan atas arah gradien pola terakhir dan pola sebelumnya yang dimasukkan. Penambahan momentum dimaksudkan untuk menghindari perubahan bobot yang mencolok yang diakibatkan oleh adanya data yang sangat berbeda dengan data lainnya. Variabel momentum dapat meningkatkan waktu pelatihan dan stabilitas dari proses pelatihan. Dengan penambahan momentum, bobot baru pada waktu ke (t+1) didasarkan atas bobot pada waktu t dan (t-1). Jika μ adalah konstanta $(0 \le \mu \le)$ yang menyatakan parameter momentum, maka bobot

baru dihitung berdasarkan persamaan (2.14) dan (2.15)

$$w_{kj}(t+1) = w_{kj}(t) + \alpha \delta_k z_j + \mu(w_{kj}(t) - w_{kj}(t-1))$$

$$w_{kj}(t+1) = w_{kj}(t) + \Delta w_{kj} + \mu(w_{kj}(t) - w_{kj}(t-1))$$
(2.14)

$$v_{ji}(t+1) = v_{ji}(t) + \alpha \delta_j x_i + \mu(v_{ji}(t) - v_{ji}(t-1))$$

$$v_{ji}(t+1) = v_{ji}(t) + \Delta v_{ji} + \mu(v_{ji}(t) - v_{ji}(t-1))$$
(2.15)

keterangan:

 $w_{kj}(t)$: bobot mula-mula pola kedua dari hidden ke output

 $\alpha \delta_k z_j$: hasil dari perhitungan Δw_{kj}

 $w_{kj}(t-1)$: bobot mula-mula pada data ke-1 iterasi pertama

 μ : momentum

 $v_{ji}(t)$: bobot mula-mula pola kedua dari input ke output

 $\alpha \delta_j x_i$: hasil dari perhitungan Δv_{ji}

 $v_{ji}(t-1)$: bobot mula-mula pada data ke-1 iterasi pertama

Setelah tahap pelatihan selesai, tahap selanjutnya yaitu tahap pengujian. pada tahap ini, langkah yang dilakukan hanya sampai pada fase 1 saja yaitu popagasi maju. seluruh bobot masukan diambil dari nilai bobot terakhir dari tahap pelatihan. pada tahap pengujian jaringan diharapkan dapat mengenali pola berdasarkan data baru yang diberikan (Rufiyanti, 2015).

35

2.8. Mean Squared Error (MSE)

Mean Squared Error merupakan suatu metode untuk menghitung nilai

kesalahan berdasarkam pada data-data kesalahan yang dikuadratkan atau untuk

membandingkan data aktual dengan hasil peramalan JST (Habibi, dkk, 2017).

Perhitungan MSE dihitung dengan menggunakan rumus pada Persamaan (2.16)

sebagai berikut:

 $MSE = \frac{1}{n} \sum_{t=1}^{n} (A_t - F_t)^2$ (2.16)

keterangan:

n: banyaknya data

 A_t : nilai asli target ke-t

 F_t : nilai peramalan data ke-t.

2.9. Mean Absolute Percentage Error (MAPE)

Untuk mendapatkan peramalan yang akurat, perlu dilakukan evaluasi

terhadap hasil peramalan. Salah satu metode evaluasi yang digunakan adalah

dengan melihat nilai MAPE. Nilai MAPE didapatkan dengan cara membagi hasil

kesalahan absolut dengan nilai observasi pada setiap periode. Hasil peramalan

dikatakan semakin akurat jika nilai MAPE semakin kecil. dihitung dengan

menggunakan rumus pada Persamaan (2.17) (Habibi, dkk, 2017):

 $MAPE = \frac{1}{n} \sum_{t=1}^{n} \left| \frac{A_t - F_t}{A_t} \right| \times 100\%$ (2.17)

keterangan:

n: banyaknya data

 A_t : nilai asli target ke-t

F_t : nilai peramalan data ke-t

Tabel 2.1 Kriteria MAPE

| MAPE | Kategori Kemampuan Prediksi |
|------------------------|-----------------------------|
| < 10% | Sangat baik |
| 10% - 20% | Baik |
| 20% - 50% | Cukup baik |
| > 50% | Buruk |
| Sumber: (Ilmiyah, 2018 | |

BAB III

METODE PENELITIAN

3.1. Jenis Penelitian

Penelitian ini merupakan penelitian yang bersifat kuantitatif, karena data yang digunakan dalam penelitian ini merupakan data penggunaan bahan bakar gas dalam satuan KNm^3/h (Kilo Normal Cubic Metric Per Hour).

3.2. Sumber Data Penelitian

Penelitian ini dilakukan di PT. PJB UP Gresik yang terletak di Jalan Harun Tohir No. 1, Desa Sidorukun, Kecamatan Gresik, Kabupaten Gresik, Jawa Timur. Data yang digunakan dalam penelitian ini diperoleh dari PT. PJB UP Gresik, lebih tepatnya pada PLTGU Blok 1. Data yang digunakan merupakan data aliran bahan bakar gas dalam satuan KNm^3/h (Kilo Normal Cubic Metric Per Hour)

3.3. Pengumpulan Data

Data yang dibutuhkan dalam penelitian ini didapatkan dari data sekunder yang diarsipkan oleh bagian Divisi Perencanaan dan Pengendalian Operasi (RENDAL OP) PLTGU PT. PJB UP Gresik. Data tersebut merupakan data mingguan penggunaan bahan bakar gas pada *gas turbine* PLTGU blok 1 dari tahun 2015 sampai tahun 2019. Data berjumlah 208 data yang merupakan data aliran bahan bakar selama 208 minggu mulai minggu pertama pada bulan Oktober 2015 hingga minggu terakhir pada bulan September 2019. Data tersebut dibagi untuk data pelatihan (*training*) dan pengujian (*testing*).

3.4. Rancangan Penelitian

Pada penelitian ini mengunakan metode *Backpropagation* dengan langkahlangkah sebagai berikut:

3.4.1. Pengambilan data

Data yang dibutuhkan dalam penelitian ini merupakan data runtun waktu penggunaan bahan bakar gas pada tahun 2015 hingga tahun 2019. Data yang akan digunakan sebanyak 208 data.

3.4.2. Pembagian data

Untuk melakukan prediksi menggunakan metode *Backpropagation* dibutuhkan pembagian data runtun waktu menjadi data *training* dan data *testing* atau validasi data. Data yang digunakan sebagai data *training* sebanyak 80% dan data *testing* sebanyak 20%.

3.4.3. Preprocessing data

1. Normalisasi data serta penentuan fungsi aktivasi

Pada penelitian kali ini akan digunakan fungsi aktivasi sigmoid biner, maka data yang akan digunakan pada tahap latih (*training*) dan tahap uji (*testing*) harus dinormalisasikan. Normalisasi terhadap data dilakukan agar keluaran jaringan sesuai dengan fungsi aktivasi yang digunakan atau memiliki nilai serupa dengan sigmoid biner yaitu antara 0 sampai 1. Fungsi sigmoid biner adalah fungsi asimtotik (tidak pernah mencapai 0 ataupun 1), maka transformasi data hendaknya dilakukan pada interval yang lebih kecil yaitu [0.1, 0.9]. Normalisasi bertujuan agar jaringan tidak mengalami kegagalan

39

ketika melakukan pelatihan dan pengujian dengan menggunakan rumus pada Persamaan (3.1) berikut:

$$x' = \frac{0.8(x-b)}{(a-b)} + 0.1 \tag{3.1}$$

dimana:

x': data hasil normalisasi

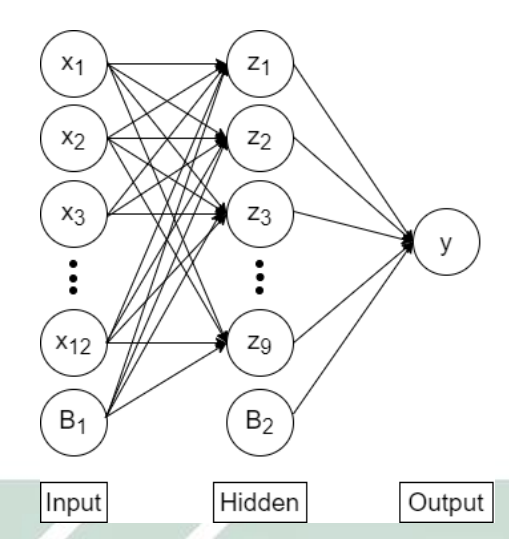
x: data asli

a : nilai maksimum

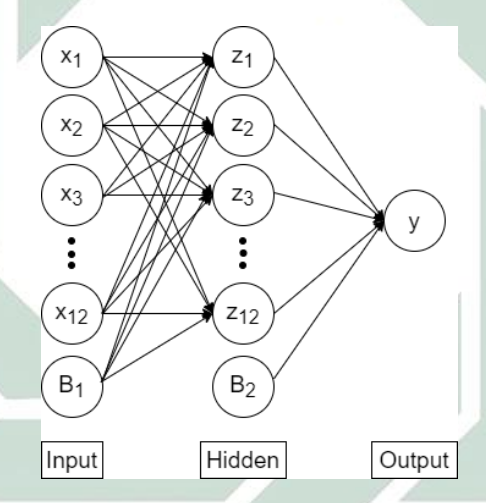
b: nilai minimum

2. Membuat arsitektur jaringan

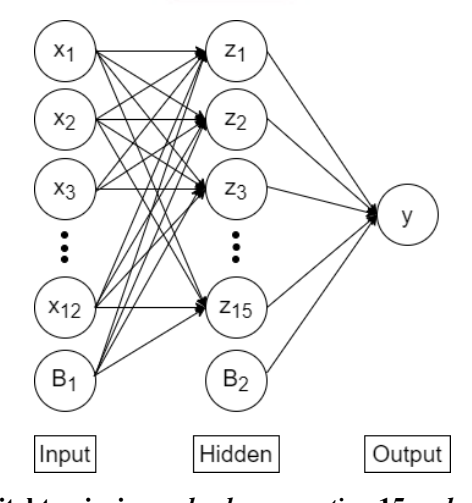
Setelah dilakukan normalisasi data, selanjutnya membuat atau merancang arsitektur jaringan yang akan digunakan untuk tahap latih dan tahap uji. Langkah yang dapat digunakan untuk membuat arsitektur jaringan yaitu dengan menentukan jumlah unit masukan, jumlah lapisan tersembunyi beserta unit yang menyusunnya, dan jumlah keluaran serta bobot pada setiap penghubung masing-masing unit. Adapun arsitektur jaringan backpropagation neural network dapat dilihat pada Gambar 3.1, 3.2, 3.3, dan 3.4 dengan pembeda pada jumlah node pada hidden layer.



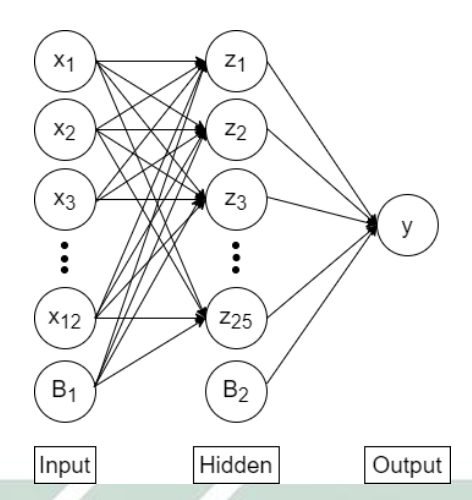
Gambar 3.1 Arsitektur jaringan backpropagation 9 node pada hidden layer



Gambar 3.2 Arsitektur jaringan backpropagation 12 node pada hidden layer



Gambar 3.3 Arsitektur jaringan $\it backpropagation~15~node~pada~\it hidden~\it layer$



Gambar 3.4 Arsitektur jaringan backpropagation 25 node pada hidden layer

Arsitektur jaringan yang digunakan pada penelitian ini yaitu 1 *input layer* dengan 1 node, 1 *hidden layer* dengan 9, 12, 15 dan 25 node, dan 1 *output layer* dengan 1 node. Hal lain yang ditentukan oleh penulis pada tahap backpropagation adalah learning rate untuk setiap jaringan dimana dilakukan percobaan dengan nilai 0,01 dan 0,05 dan momentum dengan nilai 0,9 dan 0,8 dengan batas *error* 0,0001. Skema penelitian dengan menggunakan model *backpropagation* dengan beberapa percobaan ditunjukkan pada Tabel 3.1.

Tabel 3.1 Skema penelitian

| Model | Skema | Momentum | Learning Rate |
|-------|----------------|----------|---------------|
| | | 0,9 | 0,01 |
| 1 | 1 hidden layer | 0,9 | 0,05 |
| | dengan 9 node | 0,8 | 0,01 |
| | | 0,8 | 0,05 |
| | | 0,9 | 0,01 |
| 2 | 1 hidden layer | 0,9 | 0,05 |
| | dengan 12 node | 0,8 | 0,01 |

| | | 0,8 | 0,05 |
|---|----------------|-----|------|
| | | 0,9 | 0,01 |
| 3 | 1 hidden layer | 0,9 | 0,05 |
| | dengan 15 node | 0,8 | 0,01 |
| | | 0,8 | 0,05 |
| | | 0,9 | 0,01 |
| 4 | 1 hidden layer | 0,9 | 0,05 |
| | dengan 25 node | 0,8 | 0,01 |
| | | 0,8 | 0,05 |

Langkah-langkah yang harus diperhatikan dalam pembentukan program yaitu:

1. Menentukan maksimum epoch

Maksimum epoch merupakan jumlah maksimum iterasi yang akan dijalankan oleh program selama tahap pelatihan berlangsung. Iterasi akan dihentikan pada batas epoch yang ditentukan. Maksimum epoch yang digunakan pada penelitian ini yaitu 20.

2. Menentukan kinerja tujuan

Kinerja tujuan merupakan target nilai fungsi kinerja. Iterasi akan dihentikan jika nilai fungsi kinerja kurang dari atau sama dengan kinerja tujuan. Dengan kata lain, nilai ini merupakan nilai error yang menjadi syarat berhentinya iterasi. Kinerja tujuan atau goal yang akan digunakan yaitu 0,0001.

3. Menentukan learning rate

Learning rate merupakan laju pembelajaran. Semakin besar learning rate

yang digunakan maka akan semakin besar langkah pembelajaran. Nilai untuk $learning\ rate$ atau lpha pada penelitian ini yaitu 0,01 dan 0,05.

4. Menentukan momentum

Momentum merupakan perubahan bobot baru yang dipengaruhi oleh bobot sebelumnya. Besarnya momentum yaitu antara 0 sampai 1. Jika besar momentum =0, maka perubahan bobot hanya dipengaruhi oleh gradien. Sedangkan jika besar momentum =1 maka perubahan bobot akan sama dengan perubahan bobot sebelumnya. Perintah pada Nilai momentum yang akan digunakan pada penelitian ini yaitu 0,8 dan 0,9.

3.4.4. Processing data

1. Tahap pelatihan (*training*)

Pada tahap pelatihan, dilakukan proses pengenalan berdasarkan arsitektur jaringan yang telah dibuat dengan tujuan untuk mendapatkan nilai bobot terbaik pada setiap jaringan penghubung. Bobot tersebut diperbarui setiap satu iterasi dan dilakukan berulang kali hingga mencapai batas pelatihan (epoch). Penghentian penyesuaian bobot dalam pengenalan pola apabila kuadrat error mencapai terget error. Error dihitung setelah tahapan forward propagation. Apabila error lebih besar dari target error maka pelatihan akan dilanjutkan ke tahap backward propagation sampai error mencapai atau lebih kecil dari target error. Hasil yang didapat pada tahap pelatihan yaitu pembaruan bobot jaringan yang telah optimal. Bobot inilah yang nantinya akan digunakan pada tahap pengujian.

2. Tahap pengujian (testing)

Bobot yang diperoleh pada tahap pelatihan inilah yang akan digunakan

44

untuk mengolah data pada tahap pengujian. Tahap ini dilakukan dengan

tujuan untuk mengetahui tingkat keakuratan sistem JST yang telah dibuat

dalam memprediksi data penggunaan bahan bakar gas pada minggu tertentu.

Tingkat kesalahan yang kecil menandakan bahwa jaringan pada tahap

pelatihan telah cocok jika digunakan untuk peramalan.

3. Tahap peramalan

Selanjutnya dilakukan tahap peramalan. Jaringan yang layak digunakan

untuk melakukan peramalan adalah yang memiliki tingkat kesalahan paling

kecil pada tahap pengujian. Peramalan bertujuan untuk memprediksi data

penggunaan bahan bakar gas yang akan datang. pada tahap ini dilakukan

analisa berupa perbandingan hasil peramalan dengan data aktual serta pada

analisa ini dapat diliha<mark>t t</mark>ingkat kesalahan dari model.

4. Denormalisasi

Setelah mendapatkan hasil peramalan, maka data tersebut harus di

denormalisasikan untuk mengembalikan nilai asli dari peramalan tersebut

dengan menggunakan rumus pada Persamaan (3.2).

 $x = \frac{(x'-0,1)(a-b)}{0.8} + b$ (3.2)

dimana:

x': data hasil normalisasi

x: data asli

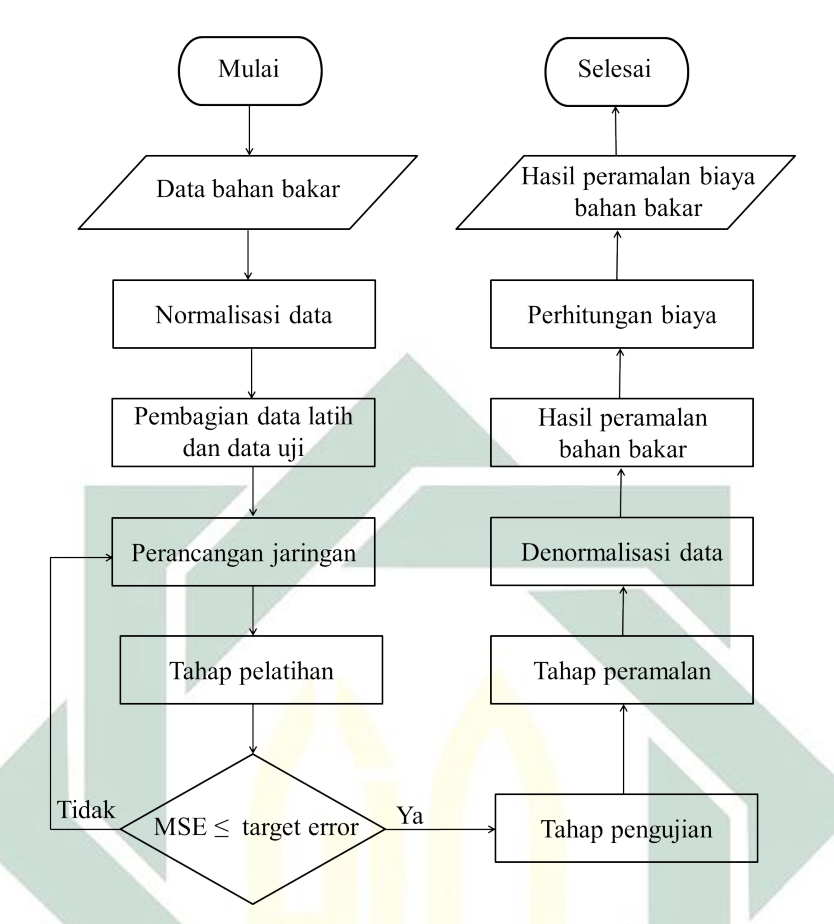
a : nilai maksimum

b: nilai minimum

3.4.5. Perhitungan biaya penggunaan bahan bakar gas pada PLTGU Blok 1

Untuk menghitung biaya konsumsi bahan bakar gas pada PLTGU Blok 1 PT. PJB Unit Pembangkitan Gresik digunakan hasil prediksi konsumsi bahan bakar gas dalam satuan *Milion Standard Cubic Feet* (MMSCF) diubah kedalam satuan *Milion British Thermal Unit* (MMBTU). *Milion British Thermal Unit* (MMBTU) didapatkan dari *Milion Standard Cubic Feet* (MMSCF) dikalikan dengan *Gross Heating Value*(GHV). Fix GHV = 1050 BTU/SCF. Biaya konsumsi bahan bakar gas diperoleh dari data aliran bahan bakar gas dalam satuan *Milion British Thermal Unit* (MMBTU) dikalikan dengan harga bahan bakar gas dengan asumsi US\$ 7 dan dikalikan dengan kurs dollar yang berlaku saat ini US\$ 1 = Rp 13616,88,-.

Untuk memahami langkah-langkah menggunakan metode *backpropagation* neural network maka ditampilkan sebuah diagram alur seperti pada Gambar 3.5.



Gambar 3.5 Diagram Alur Penelitian

Dalam jaringan syaraf tiruan, proses peramalan menggunakan data *time* series yang pertama dilakukan adalah menentukan jumlah neuron *input* jaringan, parameter pembelajaran, serta data latih yang berupa data *input* pelatihan dan target pelatihan yang digunakan pada saat proses pelatihan. Setelah proses pelatihan selesaihingga mencapai toleransi *error* yang ditentukan maka didapat bobot dan bias optimal yang kemudian digunakan sebagai bobot dalam pengujian. Pada proses pengujian, jaringan melakukan perhitungan terhadap data pengujian yang terdiri dari data *input* pengujian dan data target pengujian dengan arsitektur jaringan dan parameter yang sama saat pelatihan.

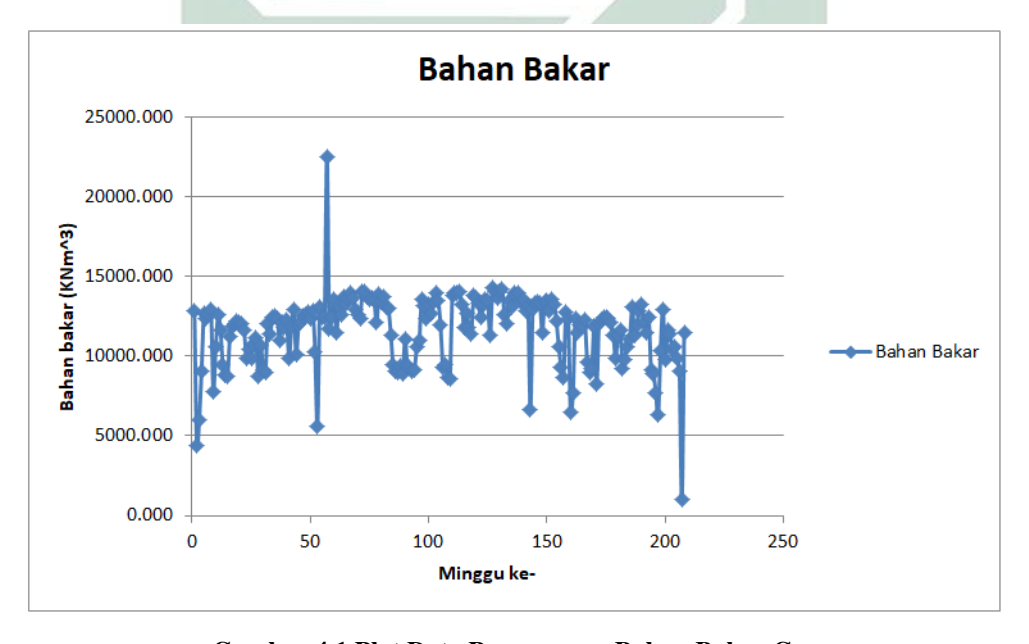
BAB IV

HASIL DAN PEMBAHASAN

4.1. Pembagian Data

Data *time series* penggunaan bahan bakar yang digunakan untuk peramalan menggunakan metode *backpropagation neural network* dibagi menjadi dua, yaitu data latih dan data uji. Data yang digunakan merupakan data mingguan yang diambil pada minggu pertama bulan Oktober 2015 sampai minggu terakhir bulan September 2019. Data *training* yang digunakan sebanyak 167 data dan 41 data digunakan untuk data *testing*.

Dapat dilihat pada Gambar 4.1, gambar tersebut merupakan plot *time series* untuk data penggunaan bahan bakar gas yang menunjukkan bahwa data mengalami perubahan secara berkala dan menunjukkan fluktuasi yang hampir konstan.



Gambar 4.1 Plot Data Penggunaan Bahan Bakar Gas

Tabel 4.1 Data training

| Minggu ke- | Bahan bakar | Minggu ke- | Bahan Bakar | Minggu ke- | Bahan Bakar |
|------------|-------------|------------|--------------------------|------------|-------------|
| 1 | 12807,450 | 57 | 22475,367 | 113 | 14046,358 |
| 2 | 4393,683 | 58 | 11724,100 | 114 | 13214,483 |
| 3 | 6021,683 | 59 | 12418,400 | 115 | 11766,058 |
| 4 | 9048,417 | 60 | 13535,000 | 116 | 12686,633 |
| 5 | 12672,000 | 61 | 11428,683 | 117 | 11822,058 |
| 6 | 12351,742 | 62 | 13180,767 | 118 | 11419,100 |
| 7 | 12560,583 | 63 | 12574,192 | 119 | 13769,183 |
| 8 | 12946,883 | 64 | 13707,300 | 120 | 13615,217 |
| 9 | 7800,092 | 65 | 13266,542 | 121 | 13324,800 |
| 10 | 10592,100 | 66 | 136 <mark>47,</mark> 992 | 122 | 12446,333 |
| 11 | 12576,458 | 67 | 139 <mark>72,</mark> 033 | 123 | 13264,183 |
| 12 | 11631,242 | 68 | 13651,633 | 124 | 13569,642 |
| 13 | 9419,758 | 69 | 12918,633 | 125 | 13442,867 |
| 14 | 8823,300 | 70 | 12590,142 | 126 | 11281,500 |
| 15 | 8706,133 | 71 | 12331,158 | 127 | 14288,350 |
| 16 | 11258,200 | 72 | 14019,900 | 128 | 14040,792 |
| 17 | 11867,817 | 73 | 14063,375 | 129 | 13626,192 |
| 18 | 11990,100 | 74 | 13727,300 | 130 | 14005,933 |
| 19 | 12169,950 | 75 | 13550,767 | 131 | 14229,150 |
| 20 | 12133,500 | 76 | 13662,900 | 132 | 12585,108 |
| 21 | 12042,567 | 77 | 13446,400 | 133 | 12056,800 |
| 22 | 11601,358 | 78 | 12083,592 | 134 | 13491,033 |
| 23 | 9863,567 | 79 | 13873,883 | 135 | 13094,033 |

| 24 | 10418,342 | 80 | 13363,725 | 136 | 13990,850 |
|----|-----------|-----|-------------------------|-----|-----------|
| 25 | 9879,000 | 81 | 13723,550 | 137 | 13770,367 |
| 26 | 10709,417 | 82 | 13109,392 | 138 | 13952,175 |
| 27 | 11147,367 | 83 | 12969,875 | 139 | 13372,042 |
| 28 | 8759,492 | 84 | 11321,158 | 140 | 13522,150 |
| 29 | 10665,342 | 85 | 9417,833 | 141 | 12846,800 |
| 30 | 9144,392 | 86 | 9045,650 | 142 | 13134,850 |
| 31 | 8967,475 | 87 | 8971,475 | 143 | 6626,325 |
| 32 | 12025,258 | 88 | 9344,283 | 144 | 12929,705 |
| 33 | 11379,400 | 89 | 8856,408 | 145 | 13348,490 |
| 34 | 12455,700 | 90 | 11100,183 | 146 | 13362,855 |
| 35 | 12549,408 | 91 | 938 <mark>4,</mark> 058 | 147 | 13306,960 |
| 36 | 12379,275 | 92 | 926 <mark>3,9</mark> 58 | 148 | 11499,005 |
| 37 | 11009,492 | 93 | 9051,050 | 149 | 13429,717 |
| 38 | 12133,575 | 94 | 9165,675 | 150 | 13476,925 |
| 39 | 11785,492 | 95 | 10605,383 | 151 | 12794,967 |
| 40 | 12270,075 | 96 | 10981,717 | 152 | 13569,575 |
| 41 | 9866,692 | 97 | 13533,080 | 153 | 13266,133 |
| 42 | 11886,108 | 98 | 13141,640 | 154 | 12178,033 |
| 43 | 12921,025 | 99 | 12373,060 | 155 | 10548,525 |
| 44 | 10079,133 | 100 | 13205,255 | 156 | 9268,392 |
| 45 | 11931,917 | 101 | 12675,167 | 157 | 8660,167 |
| 46 | 12124,325 | 102 | 13383,675 | 158 | 12714,500 |
| 47 | 12531,983 | 103 | 13940,500 | 159 | 12357,025 |
| 48 | 12628,917 | 104 | 13501,767 | 160 | 6486,350 |
| | | | | | |

| 49 | 12754,350 | 105 | 11954,317 | 161 | 7671,550 |
|----|-----------|-----|-----------|-----|-----------|
| 50 | 12360,033 | 106 | 9325,883 | 162 | 12375,917 |
| 51 | 12798,717 | 107 | 9444,725 | 163 | 11458,717 |
| 52 | 10226,917 | 108 | 8657,925 | 164 | 11955,517 |
| 53 | 5623,883 | 109 | 8556,508 | 165 | 11880,117 |
| 54 | 13064,992 | 110 | 13767,208 | 166 | 12290,017 |
| 55 | 12430,567 | 111 | 13936,542 | 167 | 9652,167 |
| 56 | 12420,817 | 112 | 13934,725 | | |

Tabel 4.2 Data testing

| Minggu ke- | Bahan bakar | Minggu ke- | Bahan Bakar | Minggu ke- | Bahan Bakar |
|------------|-------------|------------|-------------------------|------------|-------------|
| 168 | 8992,842 | 182 | 924 <mark>2,2</mark> 17 | 196 | 7713,200 |
| 169 | 9205,283 | 183 | 978 <mark>0,2</mark> 83 | 197 | 6290,158 |
| 170 | 1185,517 | 184 | 10569,517 | 198 | 10353,225 |
| 171 | 8283,992 | 185 | 11044,175 | 199 | 12876,867 |
| 172 | 12059,667 | 186 | 13060,083 | 200 | 9808,397 |
| 173 | 12303,150 | 187 | 11280,808 | 201 | 11608,455 |
| 174 | 12466,358 | 188 | 11958,842 | 202 | 11393,245 |
| 175 | 12441,517 | 189 | 12869,975 | 203 | 10429,095 |
| 176 | 12338,358 | 190 | 13249,100 | 204 | 10566,395 |
| 177 | 12145,358 | 191 | 12072,242 | 205 | 9884,992 |
| 178 | 11331,892 | 192 | 11459,308 | 206 | 9023,325 |
| 179 | 9886,308 | 193 | 12445,033 | 207 | 1002,092 |
| 180 | 11284,908 | 194 | 9149,225 | 208 | 11500,192 |
| 181 | 11662,592 | 195 | 8876,492 | | |

Pada Tabel 4.1 dan 4.2 masing-masing menunjukkan hasil dari pembagian data *training* dan data *testing*. Pada kedua tabel tersebut menunjukkan bahwa jumlah penggunaan bahan bakar yang paling banyak yaitu pada minggu ke 57 dengan jumlah 22475,367 KNm^3/h dan paling sedikit pada minggu ke 207 dengan jumlah 1002,092 KNm^3/h .

4.2. Normalisasi Data

Pada penelitian kali ini, fungsi aktivasi pada setiap lapisan menggunakan fungsi aktivasi sigmoid biner yang mana bernilai antara 0 sampai dengan 1. Sehingga harus dilakukan proses normalisasi menggunakan rumus pada Persamaan (3.1) untuk mendapatkan nilai dengan range [0,1]. Adapun perhitungan manualnya sebagai berikut:

1. Perhitungan manual normalisasi data training:

Minggu ke 1

$$x_{1}^{'} = \frac{0,8(12807,4500 - 1002,0917)}{(22475,3667 - 1002,0917)} + 0,1 = 0,5398$$

Minggu ke 2

$$x_{2}^{'} = \frac{0,8(4393,6833 - 1002,0917)}{(22475,3667 - 1002,0917)} + 0,1 = 0,2264$$

Minggu ke 3

$$x_{3}^{'} = \frac{0,8(6021,6833 - 1002,0917)}{(22475,3667 - 1002,0917)} + 0,1 = 0,2870$$

Minggu ke 4

$$x_{4}^{'} = \frac{0,8(9048,4167 - 1002,0917)}{(22475,3667 - 1002,0917)} + 0,1 = 0,3998$$

Minggu ke 5

$$x_5' = \frac{0,8(12672 - 1002,0917)}{(22475,3667 - 1002,0917)} + 0,1 = 0,5348$$

dan seterusnya.

2. Perhitungan manual normalisasi data *testing*:

Minggu ke 168

$$x_{168}' = \frac{0,8(8992,8417 - 1002,0917)}{(22475,3667 - 1002,0917)} + 0,1 = 0,3977$$

Minggu ke 169

$$x_{169}' = \frac{0,8(9205,2833 - 1002,0917)}{(22475,3667 - 1002,0917)} + 0,1 = 0,4056$$

Minggu ke 170

$$x_{170}^{'} = \frac{0,8(11859,5167 - 1002,0917)}{(22475,3667 - 1002,0917)} + 0,1 = 0,5045$$

Minggu ke 171

$$x_{171}^{'} = \frac{0,8(8283,9917 - 1002,0917)}{(22475,3667 - 1002,0917)} + 0,1 = 0,3713$$

Minggu ke 172

$$x_{172}^{'} = \frac{0,8(12059,6667 - 1002,0917)}{(22475,3667 - 1002,0917)} + 0,1 = 0,5120$$

dan seterusnya.

Tabel 4.3 Hasil normalisasi data training

| Minggu ke- | Bahan bakar | Minggu ke- | Bahan Bakar | Minggu ke- | Bahan Bakar |
|------------|-------------|------------|----------------------|------------|-------------|
| 1 | 0,540 | 57 | 0,900 | 113 | 0,586 |
| 2 | 0,226 | 58 | 0,499 | 114 | 0,555 |
| 3 | 0,287 | 59 | 0,525 | 115 | 0,501 |
| 4 | 0,400 | 60 | 0 <mark>,5</mark> 67 | 116 | 0,535 |
| 5 | 0,535 | 61 | 0, <mark>48</mark> 8 | 117 | 0,503 |
| 6 | 0,523 | 62 | 0, <mark>55</mark> 4 | 118 | 0,488 |
| 7 | 0,531 | 63 | 0,531 | 119 | 0,576 |
| 8 | 0,545 | 64 | 0,573 | 120 | 0,570 |
| 9 | 0,353 | 65 | 0,557 | 121 | 0,559 |
| 10 | 0,457 | 66 | 0,571 | 122 | 0,526 |
| 11 | 0,531 | 67 | 0,583 | 123 | 0,557 |
| 12 | 0,496 | 68 | 0,571 | 124 | 0,568 |
| 13 | 0,414 | 69 | 0,544 | 125 | 0,563 |
| 14 | 0,391 | 70 | 0,532 | 126 | 0,483 |
| 15 | 0,387 | 71 | 0,522 | 127 | 0,595 |
| 16 | 0,482 | 72 | 0,585 | 128 | 0,586 |
| 17 | 0,505 | 73 | 0,587 | 129 | 0,570 |
| 18 | 0,509 | 74 | 0,574 | 130 | 0,584 |

| 19 | 0,516 | 75 | 0,568 | 131 | 0,593 |
|----|-------|----|----------------------|-----|-------|
| 20 | 0,515 | 76 | 0,572 | 132 | 0,532 |
| 21 | 0,511 | 77 | 0,564 | 133 | 0,512 |
| 22 | 0,495 | 78 | 0,513 | 134 | 0,565 |
| 23 | 0,430 | 79 | 0,580 | 135 | 0,550 |
| 24 | 0,451 | 80 | 0,561 | 136 | 0,584 |
| 25 | 0,431 | 81 | 0,574 | 137 | 0,576 |
| 26 | 0,462 | 82 | 0,551 | 138 | 0,582 |
| 27 | 0,478 | 83 | 0,546 | 139 | 0,561 |
| 28 | 0,389 | 84 | 0,484 | 140 | 0,566 |
| 29 | 0,460 | 85 | 0,414 | 141 | 0,541 |
| 30 | 0,403 | 86 | 0 <mark>,40</mark> 0 | 142 | 0,552 |
| 31 | 0,397 | 87 | 0, <mark>39</mark> 7 | 143 | 0,310 |
| 32 | 0,511 | 88 | 0,411 | 144 | 0,544 |
| 33 | 0,487 | 89 | 0,393 | 145 | 0,560 |
| 34 | 0,527 | 90 | 0,476 | 146 | 0,561 |
| 35 | 0,530 | 91 | 0,412 | 147 | 0,558 |
| 36 | 0,524 | 92 | 0,408 | 148 | 0,491 |
| 37 | 0,473 | 93 | 0,400 | 149 | 0,563 |
| 38 | 0,515 | 94 | 0,404 | 150 | 0,565 |
| 39 | 0,502 | 95 | 0,458 | 151 | 0,539 |
| 40 | 0,520 | 96 | 0,472 | 152 | 0,568 |
| 41 | 0,430 | 97 | 0,567 | 153 | 0,557 |
| 42 | 0,505 | 98 | 0,552 | 154 | 0,516 |
| 43 | 0,544 | 99 | 0,524 | 155 | 0,456 |

| 44 | 0,438 | 100 | 0,555 | 156 | 0,408 |
|----|-------|-----|----------------------|-----|-------|
| 45 | 0,507 | 101 | 0,535 | 157 | 0,385 |
| 46 | 0,514 | 102 | 0,561 | 158 | 0,536 |
| 47 | 0,530 | 103 | 0,582 | 159 | 0,523 |
| 48 | 0,533 | 104 | 0,566 | 160 | 0,304 |
| 49 | 0,538 | 105 | 0,508 | 161 | 0,348 |
| 50 | 0,523 | 106 | 0,410 | 162 | 0,524 |
| 51 | 0,539 | 107 | 0,415 | 163 | 0,490 |
| 52 | 0,444 | 108 | 0,385 | 164 | 0,508 |
| 53 | 0,272 | 109 | 0,381 | 165 | 0,505 |
| 54 | 0,549 | 110 | 0 <mark>,5</mark> 76 | 166 | 0,521 |
| 55 | 0,526 | 111 | 0 <mark>,58</mark> 2 | 167 | 0,422 |
| 56 | 0,525 | 112 | 0, <mark>58</mark> 2 | 3.7 | |

Tabel 4.4 Hasil normalisasi data testing

| Minggu ke- | Bahan bakar | Minggu ke- | Bahan Bakar | Minggu ke- | Bahan Bakar |
|------------|-------------|------------|-------------|------------|-------------|
| 168 | 0,398 | 182 | 0,407 | 196 | 0,350 |
| 169 | 0,406 | 183 | 0,427 | 197 | 0,297 |
| 170 | 0,505 | 184 | 0,456 | 198 | 0,448 |
| 171 | 0,371 | 185 | 0,474 | 199 | 0,542 |
| 172 | 0,512 | 186 | 0,549 | 200 | 0,428 |
| 173 | 0,521 | 187 | 0,483 | 201 | 0,495 |
| 174 | 0,527 | 188 | 0,508 | 202 | 0,487 |
| 175 | 0,526 | 189 | 0,542 | 203 | 0,451 |
| 176 | 0,522 | 190 | 0,556 | 204 | 0,456 |

| 177 | 0,515 | 191 | 0,512 | 205 | 0,431 |
|-----|-------|-----|-------|-----|-------|
| 178 | 0,485 | 192 | 0,490 | 206 | 0,399 |
| 179 | 0,431 | 193 | 0,526 | 207 | 0,100 |
| 180 | 0,483 | 194 | 0,404 | 208 | 0,491 |
| 181 | 0,497 | 195 | 0,393 | | |

Tabel 4.3 dan Tabel 4.4 menyajikan hasil semua perhitungan normalisasi pada data *training* dan data *testing*.

4.3. Tahap Pelatihan

1. Penerapan Algoritma

Adapun penerapan algoritma *backpropagation* yang akan digunakan pada tahap pelatihan (berdasarkan arsitektur jaringan pada Gambar 3.1)

Langkah 1: Inisialisas<mark>i nilai bobot</mark> secara acak

Fase 1: Propagasi maju

Langkah 2: Hitung semua keluaran

(a) Pada hidden layer

Rumus untuk mencari unit keluaran pada hidden layer z_j menggunakan Persamaan (2.3) dan (2.4) dengan jumlah unit masukan n=12 dan j=1,2,...,9 sehingga didapatkan $z_{net\ j}=v_{j0}+\Sigma_{i=1}^{12}x_iv_{ji}$ dan $z_j=f(z_{net\ j})$

(b) Pada output layer

Rumus untuk mencari unit keluaran di *output layer* y_1 (k=1)dengan menggunakan rumus pada Persamaan (2.5) dan (2.6) dengan jumlah unit keluaran k=1 dan jumlah unit tersembunyi p=9 sehingga

didapatkan
$$y_{net\ 1} = w_{10} + \Sigma_{j=1}^9 z_j w_{1j}$$

Fase 2: Propagasi mundur

Langkah 3: Hitung perubahan pada bobot

Untuk menghitung perubahan pada bobot, vektor *output* pada tiap-tiap lapisan dibandingkan dengan nilai *output*(target) yang diharapkan.

(a) Pada output layer

Hitung faktor δ unit keluaran dengan menggunakan rumus pada Persamaan (2.7) dan k=1, sehingga didapatkan $\delta_1=(t_1-y_k)y_k(1-y_k).$

Hitung suku perubahan bobot w_{kj} menggunakan rumus Persamaan (2.8), dengan laju pembelajaran $\alpha=0,01,$ k=1, j=0,1,...,9 sehingga didapatkan $\Delta w_{1j}=(0,01)\delta_1 z_j$

(b) Pada hidden layer

Hitung faktor δ unit tersembunyi berdasarkan pada nilai error disetiap unit tersembunyi z_j menggunakan rumus Persamaan (2.9) dengan j=1,...9 sehingga didapatkan $\delta_{net\ j}=\delta_1 w_{1j}$

Faktor δ unit tersembunyi dicari menggunakan rumus Persamaan (2.10) sehingga didapatkan $\delta_j = \delta_{net\ j} f'(z_{net\ j}) = \delta_{net\ j} z_j (1-z_j)$.

Hitung suku perubahan bobot v_{ij} menggunakan rumus Persamaan (2.11), dengan $\alpha=0,01,$ j=1,2,...,9; i=0,1,...,12 sehingga didapatkan $\Delta v_{ij}=(0,01)\delta_j x_i$.

Fase 3: Prubahan bobot

Langkah 4: Hitung semua perubahan nilai bobot

Perubahan nilai bobot yang menuju unit keluaran dapat dihitung menggunakan rumus pada Persamaan (2.12) dengan k=1; j=0,1,...,9,

sehingga didapatkan $w_{kj}(baru) = w_{kj}(lama) + \Delta w_{kj}$.

Perubahan bobot yang menuju ke unit tersembunyi dapat dihitung menggunakan rumus Persamaan (2.13) dengan j=1,2,...,9; i=0,1,...,12, sehingga didapatkan $v_{ji}(baru) = v_{ji}(lama) + \Delta v_{ji}$.

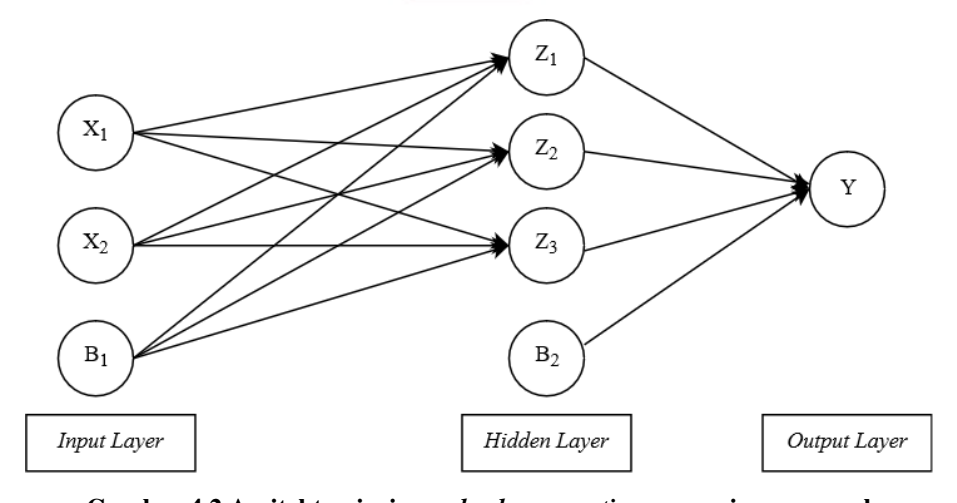
2. Momentum

Dengan menggunakan momentum, perubahan nilai bobot yang menuju ke unit keluaran dihitung menggunakan Persamaan (2.14) dengan $\mu=0,9$; k = 1; j = 0, 1, 2, 3, sehingga didapatkan $w_{kj}(t+1)=w_{kj}(t)+\Delta w_{kj}+\mu(w_{kj}(t)-w_{kj}(t-1)).$

Dengan menggunakan momentum, perubahan bobot yang menuju ke unit tersembunyi dapat dihitung menggunakan Persamaan (2.15) dengan $\mu = 0,9; \quad \text{j=1,} \quad 2, \quad 3; \quad \text{i=0,} \quad 1, \quad 2 \quad \text{sehingga} \quad \text{didapatkan}$ $v_{ji}(t+1) = v_{ji}(t) + \Delta v_{ji} + \mu(v_{ji}(t) - v_{ji}(t-1))$

3. Contoh Pengerjaan Manual

Contoh pengerjaan secara manual dengan menggunakan jaringan arsitektur yang tersusun dari 1 *input layer* dengan 2 *node*, 1 *hidden layer* dengan 3 *node* dan 1 *output layer* dengan 1 *node* seperti yang ditunjukkan pada Gambar 4.2.



Gambar 4.2 Arsitektur jaringan backpropagation pengerjaan manual

(a) Proses Training Langkah 1: inisialisasi nilai bobot secara acak.

Tabel 4.5 Bobot dari input layer ke hidden layer

| | z_1 | z_2 | z_3 |
|-------|-------|-------|-------|
| x_1 | 0,2 | 0,3 | -0,1 |
| x_2 | 0,3 | 0,1 | -0,1 |
| 1 | 0,2 | 0,3 | -0,1 |

Tabel 4.6 Bobot dari hidden layer ke output layer

| | Y |
|-------|-------------------|
| z_1 | 0,5 |
| z_2 | -0,3 |
| z_3 | <mark>-0,4</mark> |
| 1 | -0, 1 |

Fase I: Propagasi maju

Langkah 2: Hitung semua keluaran

i. Pada hidden layer

Jumlah unit masukan n=2 sehingga didapatkan
$$z_{net\ j}=v_{j0}+\Sigma_{i=1}^2x_iv_{ji}\ \mathrm{dan}\ z_j=f(z_{net\ j})=\frac{1}{1+e^{-z_{net\ j}}}\ \mathrm{dengan}$$
 j=1,2,3.
$$z_{net\ 1}=v_{10}+x_1v_{11}+x_2v_{12}$$

$$z_{net\ 1}=(-0,3)+0,5398(0,2)+0,2264(0,3)=-0,12412$$

$$z_{net\ 2}=v_{20}+x_1v_{21}+x_2v_{22}$$

$$z_{net\ 2}=0,3+0,5398(0,3)+0,2264(0,1)=0,48458$$

$$z_{net 3} = v_{30} + x_1 v_{31} + x_2 v_{32}$$

$$z_{net 3} = 0, 3 + 0, 5398(-0, 1) + 0, 2264(-0, 1) = 0, 22338$$

$$z_1 = \frac{1}{1 + e^{-z_{net 1}}} = \frac{1}{1 + e^{0,12412}} = 0, 4690$$

$$z_2 = \frac{1}{1 + e^{-z_{net 2}}} = \frac{1}{1 + e^{-0,48458}} = 0, 6188$$

$$z_3 = \frac{1}{1 + e^{-z_{net 3}}} = \frac{1}{1 + e^{-0,22338}} = 0, 5056$$

ii. Pada output layer

Jumlah unit keluaran k=1 dan jumlah unit tersembunyi p=3 sehingga didapatkan $y_{net\ 1}=w_{10}+\sum_{j=1}^3 z_j w_{1j}$ dan $y_1=\frac{1}{1+e^{-y_{net\ 1}}}$ $y_{net\ 1}=w_{10}+z_1w_{11}+z_2w_{12}+z_3w_{13}$ $y_{net\ 1}=(-0,1)+0,4690(0,5)+0,6188(-0,3)+0,5056(-0,4)$ $y_{net\ 1}=-0,2534$ $y_1=\frac{1}{1+e^{-y_{net\ 1}}}=\frac{1}{1+e^{0,2534}}$ $y_1=0,4370$

Fase II: Propagasi mundur

Langkah 3: Hitung perubahan bobot

i. Pada output layer

Perhitungan faktor δ unit keluaran dengan menggunakan Persamaan (2.10) dengan k=1, sehingga didapatkan $\delta_k=(t_k-y_k)y_k(1-y_k).$ $\delta_1=(t_1-y_1)y_1(1-y_1)$ =(0,2870-0,4370)0,4370(1-0,4370) $\delta_1=-0,0369$

Perhitungan suku perubahan bobot w_{kj} menggunakan Persamaan

(2.11), dengan laju pembelajaran $\alpha=0,01$; k=1 sehingga didapatkan:

$$\begin{split} \Delta w_{1j} &= (0,01)\delta_1 z_j, \, \text{dengan} \, j = 0,1,2,3. \\ \Delta w_{10} &= (0,01)\delta_1 z_0 = (0,01)(-0,0369)(1) = -0,000369 \\ \Delta w_{11} &= (0,01)\delta_1 z_1 = (0,01)(-0,0369)(0,4690) = -0,000173 \\ \Delta w_{12} &= (0,01)\delta_1 z_2 = (0,01)(-0,0369)(0,6188) = -0,000228 \\ \Delta w_{13} &= (0,01)\delta_1 z_3 = (0,01)(-0,0369)(0,5056) = -0,000187 \end{split}$$

ii. Pada hidden layer

Perhitungan faktor δ unit tersembunyi menggunakan rumus seperti pada Persamaa (2.12) dengan j=1, 2, 3, didapatkan $\delta_{net\ j} = \delta_1 w_{1j}$. $\delta_{net\ 1} = \delta_1 w_{11} = (-0,0369)(0,5) = -0,01845$ $\delta_{net\ 2} = \delta_1 w_{12} = (-0,0369)(-0,3) = 0,01107$

$$\delta_{net \ 3} = \delta_1 w_{13} = (-0, 0369)(-0, 4) = 0,01476$$

Faktor δ unit tersembunyi dihitung dengan menggunakan rumus seperti pada Persamaan (2.13) sehingga didapatkan $\delta_i = \delta_{net\ j} f'(z_{net\ j}) = \delta_{net\ j} z_j (1 - z_j)$

$$\delta_1 = \delta_{net \ 1} z_1 (1 - z_1) = (-0, 01845)(0, 4690)(1 - 0, 4690)$$
$$= -0.00459$$

$$\delta_2 = \delta_{net \ 2} z_2 (1 - z_2) = 0,01107(0,6188)(1 - 0,6188) = 0,00261$$

 $\delta_3 = \delta_{net \ 3} z_3 (1 - z_3) = 0,01476(0,5056)(1 - 0,5056) = 0,00369$

Perhitungan suku perubahan bobot v_{ij} dengan $\alpha=0,01;$ j=1, 2, 3; i=0, 1, 2 sehingga didapatkan $\Delta v_{ji}=(0,01)\delta_j x_i$.

$$\Delta v_{10} = (0,01)\delta_1 x_0 = (0,01)(-0,00459)(1) = -0,0000459$$

$$\Delta v_{11} = (0,01)\delta_1 x_1 = (0,01)(-0,00459)(0,5398)$$

$$= -0,0000248$$

$$\Delta v_{12} = (0,01)\delta_1 x_2 = (0,01)(-0,00459)(0,2264)$$

$$= -0,0000104$$

$$\Delta v_{20} = (0,01)\delta_2 x_0 = (0,01)(0,00261(1) = 0,0000261)$$

$$\Delta v_{21} = (0,01)\delta_2 x_1 = (0,01)(0,00261)(0,5398) = 0,0000141$$

$$\Delta v_{22} = (0,01)\delta_2 x_2 = (0,01)(0,00261)(0,2264) = 0,0000059$$

$$\Delta v_{30} = (0,01)\delta_3 x_0 = (0,01)(0,5396)(1) = 0,0000369$$

$$\Delta v_{31} = (0,01)\delta_3 x_1 = (0,01)(0,5396)(0,5398) = 0,0000199$$

$$\Delta v_{32} = (0,01)\delta_3 x_2 = (0,01)(0,5396)(0,2264) = 0,0000084$$

Fase III: Perubahan bobot

langkah 4: Hitung semua perubahan nilai bobot.

i. Pada output layer

Perhitungan perubahan nilai bobot yang menuju ke unit keluaran dengan k = 1; j = 0, 1, 2, 3, sehingga didapatkan $w_{kj}(baru) = w_{kj}(lama) + \Delta w_{kj}.$ $w_{10}(baru) = w_{10}(lama) + \Delta w_{10} = (-0,1) + (-0,000369) = -0,100369$ $w_{11}(baru) = w_{11}(lama) + \Delta w_{11} = 0,5 + (-0,000173) = 0,499827$ $w_{12}(baru) = w_{12}(lama) + \Delta w_{12} = (-0,3) + (-0,000228) = -0,300228$ $w_{13}(baru) = w_{13}(lama) + \Delta w_{13} = (-0,4) + (-0,000187) = -0,400187$

ii. Pada hidden layer

Perubahan bobot yang menuju ke unit tersembunyi dengan j=1, 2, 3; i=0, 1, 2 sehingga didapatkan $v_{ji}(baru) = v_{ji}(lama) + \Delta v_{ji}$. $v_{10}(baru) = v_{10}(lama) + \Delta v_{10} = (-0, 3) + (-0, 0000459)$

$$= -0,3000459$$

$$v_{11}(baru) = v_{11}(lama) + \Delta v_{11} = 0, 2 + (-0,0000248)$$

$$= 0,1999752$$

$$v_{12}(baru) = v_{12}(lama) + \Delta v_{12} = 0, 3 + (-0,0000104)$$

$$= 0,2999896$$

$$v_{20}(baru) = v_{20}(lama) + \Delta v_{20} = 0, 3 + 0,0000261 = 0,3000261$$

$$v_{21}(baru) = v_{21}(lama) + \Delta v_{21} = 0, 1 + 0,0000141 = 0,1000141$$

$$v_{22}(baru) = v_{22}(lama) + \Delta v_{22} = 0, 3 + 0,0000059 = 0,3000059$$

$$v_{30}(baru) = v_{30}(lama) + \Delta v_{30} = 0, 3 + 0,0000369 = 0,3000369$$

$$v_{31}(baru) = v_{31}(lama) + \Delta v_{31} = (-0,1) + 0,0000199$$

$$= -0,999801$$

$$v_{32}(baru) = v_{32}(lama) + \Delta v_{32} = (-0,1) + 0,0000084$$

$$= -0,0999916$$

(b) Momentum

i. Pada output layer

Perhitungan perubahan nilai bobot yang menuju ke unit keluaran dengan $\mu=0,9$; $\mathbf{k}=1$; $\mathbf{j}=0,1,2,3$, sehingga didapatkan $w_{kj}(t+1)=w_{kj}(t)+\Delta w_{kj}+\mu(w_{kj}(t)-w_{kj}(t-1)).$ $w_{10}(t+1)=w_{10}(t)+\Delta w_{10}+\mu(w_{10}(t)-w_{10}(t-1))$ =(-0,100369)+(-0,000369)+0,9((-0,100369)-(-0,1)) =-0,101070 $w_{11}(t+1)=w_{11}(t)+\Delta w_{11}+\mu(w_{11}(t)-w_{11}(t-1))$ =0,499827+(-0,000173)+0,9(0,499827-0,5) =0,499498 $w_{12}(t+1)=w_{12}(t)+\Delta w_{12}+\mu(w_{12}(t)-w_{12}(t-1))$

$$= (-0,300228) + (-0,000228) + 0,9((-0,300228) - (-0,3))$$

$$= -0,300715$$

$$w_{13}(t+1) = w_{13}(t) + \Delta w_{13} + \mu(w_{13}(t) - w_{13}(t-1))$$

$$= (-0,400187) + (-0,000187) + 0,9((-0,400187) - (-0,4))$$

$$= -0,400542$$

ii. Pada hidden layer

Perubahan bobot yang menuju ke unit tersembunyi dengan $\mu = 0,9$; j=1, 2, 3; i=0, 1, 2 sehingga didapatkan $v_{ji}(t+1) = v_{ji}(t) + \Delta v_{ji} + \mu(v_{ji}(t) - v_{ji}(t-1))$ $v_{10}(t+1) = v_{10}(t) + \Delta v_{10} + \mu(v_{10}(t) - v_{10}(t-1))$ = (-0,3000459) + (-0,0000459) + 0,9((-0,3000459) -(-0,3+)=-0.300133 $v_{11}(t+1) = v_{11}(t) + \Delta v_{11} + \mu(v_{11}(t) - v_{11}(t-1))$ = 0,1999752 + (-0,000248) + 0,9(0,1999752 - 0,2)= 0.199928 $v_{12}(t+1) = v_{12}(t) + \Delta v_{12} + \mu(v_{12}(t) - v_{12}(t-1))$ = 0,2999896 + (-0,0000104) + 0,9(0,2999896 - 0,3)= 0.299970 $v_{20}(t+1) = v_{20}(t) + \Delta v_{20} + \mu(v_{20}(t) - v_{20}(t-1))$ = 0,3000261 + 0,0000261 + 0,9(0,3000261 - 0,3)= 0.300076 $v_{21}(t+1) = v_{21}(t) + \Delta v_{21} + \mu(v_{21}(t) - v_{21}(t-1))$ = 0,1000141 + 0,0000141 + 0,9(0,1000141 - 0,l)= 0,100041 $v_{22}(t+1) = v_{22}(t) + \Delta v_{22} + \mu(v_{22}(t) - v_{22}(t-1))$

$$= 0,3000059 + 0,0000059 + 0,9(0,3000059 - 0,3)$$

$$= 0,300017$$

$$v_{30}(t+1) = v_{30}(t) + \Delta v_{30} + \mu(v_{30}(t) - v_{30}(t-1))$$

$$= 0,3000369 + 0,0000369 + 0,9(0,3000369 - 0,3)$$

$$= 0,300107$$

$$v_{31}(t+1) = v_{31}(t) + \Delta v_{31} + \mu(v_{31}(t) - v_{31}(t-1))$$

$$= (-0,999801) + 0,0000199 + 0,9((-0,999801) - (-0,1))$$

$$= -01,809602$$

$$v_{32}(t+1) = v_{32}(t) + \Delta v_{32} + \mu(v_{32}(t) - v_{32}(t-1))$$

$$= (-0,099916) + 0,0000084 + 0,9((-0,099916) - (-0,1))$$

$$= -0,099832$$

(c) Proses *Testing* Bobot baru yang diperoleh dari hasil iterasi yaitu:

Tabel 4.7 Bobot dari input layer ke hidden layer

| | z_1 | z_2 | z_3 |
|------------------|---------|---------|----------|
| $\overline{x_1}$ | 0,19998 | 0,10001 | -0,99980 |
| x_2 | 0,29999 | 0,30001 | -0,09999 |
| 1 | 0,30005 | 0,30003 | 0,30004 |

Tabel 4.8 Bobot dari hidden layer ke output layer

| | Y | | |
|-------|----------|--|--|
| z_1 | 0,49983 | | |
| z_2 | -0,30023 | | |
| z_3 | -0,40019 | | |
| 1 | -0,10037 | | |

Fase I: Propagasi maju

Langkah 1: Hitung semua keluaran

unit

masukan

i. Pada hidden layer

Jumlah

$$\begin{split} z_{net\ j} &= v_{j0} + \Sigma_{i=1}^2 x_i v_{ji} \ \mathrm{dan} \ z_j = f(z_{net\ j}) = \frac{1}{1 + e^{-z_{net\ j}}} \ \mathrm{dengan} \\ \mathbf{j} &= 1, 2, 3. \\ z_{net\ 1} &= v_{10} + x_1 v_{11} + x_2 v_{12} \\ z_{net\ 1} &= (0, 30005) + 0, 398(0, 19998) + 0, 406(0, 2999) = \\ 0, 50144 \\ z_{net\ 2} &= v_{20} + x_1 v_{21} + x_2 v_{22} \\ z_{net\ 2} &= (0, 30003) + 0, 398(0, 10001) + 0, 406(0, 30001) = \\ 0, 46163 \\ z_{net\ 3} &= v_{30} + x_1 v_{31} + x_2 v_{32} \\ z_{net\ 3} &= (0, 30004) + 0, 398(-0, 9998) + 0, 406(-0, 09999) = \\ -0, 13848 \\ z_1 &= \frac{1}{1 + e^{-z_{net\ 1}}} = \frac{1}{1 + e^{-0,50144}} = 0, 62280 \\ z_2 &= \frac{1}{1 + e^{-z_{net\ 2}}} = \frac{1}{1 + e^{-0,46163}} = 0, 61340 \\ z_3 &= \frac{1}{1 + e^{-z_{net\ 3}}} = \frac{1}{1 + e^{0,13848}} = 0, 46544 \end{split}$$

n=2 sehingga

ii. Pada *output layer*

Jumlah unit keluaran k=1 dan jumlah unit tersembunyi p=3 sehingga didapatkan $y_{net\ 1}=w_{10}+\Sigma_{j=1}^3z_jw_{1j}$ dan $y_1=\frac{1}{1+e^{-y_{net\ 1}}}$ $y_{net\ 1}=w_{10}+z_1w_{11}+z_2w_{12}+z_3w_{13}$ $y_{net\ 1}=(-0,10037)+0,62280(0,49983)+0,61340(-0,30023)+0,46544(-0,40019)$

$$y_{net 1} = -0,15950$$

$$y_1 = \frac{1}{1 + e^{-y_{net 1}}} = \frac{1}{1 + e^{0,15950}}$$

$$y_1 = 0,46021$$

(d) Denormalisasi Data

Setelah mendapatkan hasil peramalan, maka data tersebut harus didenormalisasikan untuk mengembalikan ke nilai asli. Adapun perhitungan manualnya sebagai berikut: $x=\frac{(x^{'}-0,1)(a-b)}{0,8}+b$

$$x = \frac{(0,46021 - 0,1)(22475,3667 - 1002,0917)}{0,8} + 1002,0917$$

$$x = 10670,7022$$

Dari hasil perhitungan sampel data *testing*, didapatkan hasil prediksi yaitu sebesar $10670, 7022KNm^3/h$

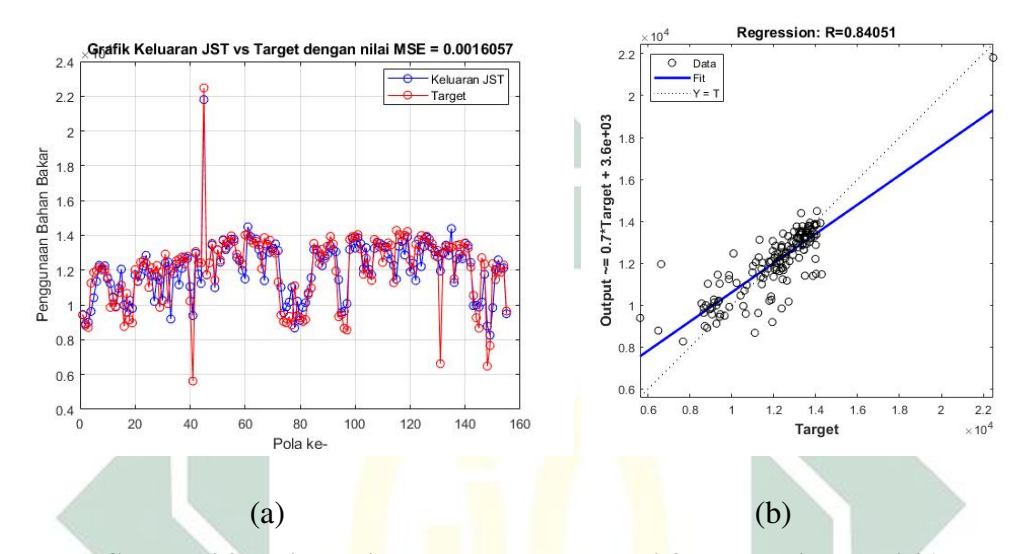
4. Hasil Pemrograman

Adapun hasil yang diperoleh dari pemrograman backpropagation neural network mendapatkan nilai MSE dan MAPE pada tahap training dengan percobaan banyaknya jumlah node pada hidden layer, nilai momentum dan learning rate. Hasil pemrograman pada tahap training dengan 9, 12, 15, dan 25 node pada hidden layer berturut-turut ditunjukkan pada Gambar 4.3 sampai 4.22. sebagai berikut:

(a) 9 node pada hidden layer

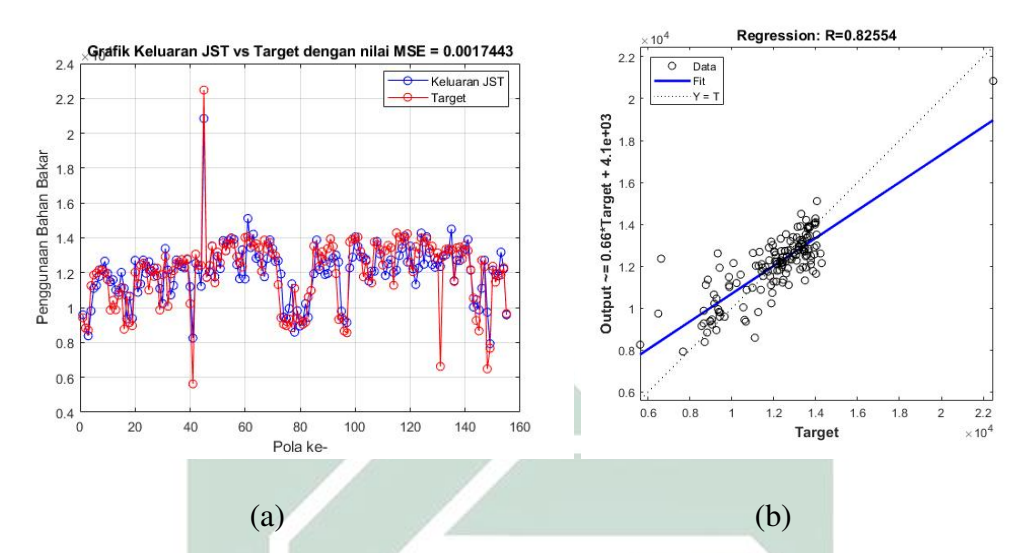
Gambar 4.3 (a) menampilkan grafik perbandingan antara nilai keluaran JST dengan target beserta nilai MSE yang diperoleh. Hasil MSE pelatihan yang diperoleh dari 9 *node* pada *hidden layer*, dengan momentum 0,9 dan learning rate 0,01 yaitu sebesar 0,0016057. Pada Gambar 4.3 (b) target dan keluaran jaringan atau hasil prediksi dianalisis dengan regresi linier sehingga menghasilkan gradien garis

terbaik sebesar 0,7 dan koefisien korelasi atau regresi yang diperoleh pada tahap pelatihan yaitu sebesar 0,84051. jika penyebaran data semakin mendekati garis lurus, maka peramalan yang diperoleh semakin baik.

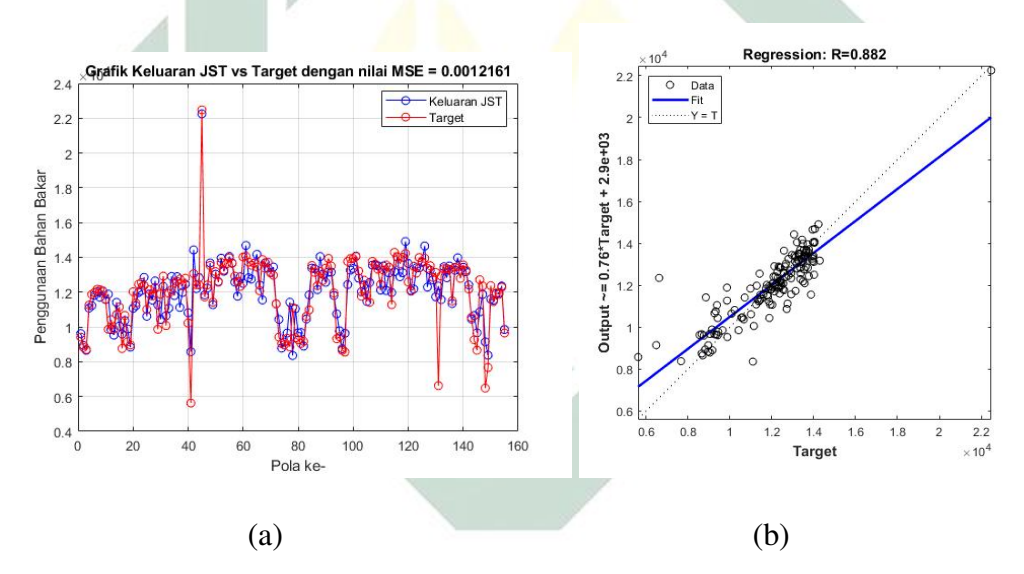


Gambar 4.3 Hasil pelatihan dengan momentum 0,9 dan learning rate 0,01

Gambar 4.4 (a) menampilkan grafik perbandingan antara nilai keluaran JST dengan target beserta nilai MSE yang diperoleh. Hasil MSE pelatihan yang diperoleh dari 9 *node* pada *hidden layer*, dengan momentum 0,9 dan learning rate 0,05 yaitu sebesar 0,0017443. Pada Gambar 4.4 (b) target dan keluaran jaringan atau hasil prediksi dianalisis dengan regresi linier sehingga menghasilkan gradien garis terbaik sebesar 0,66 dan koefisien korelasi atau regresi yang diperoleh pada tahap pelatihan yaitu sebesar 0,82554. Jika penyebaran data semakin mendekati garis lurus, maka peramalan yang diperoleh semakin baik.



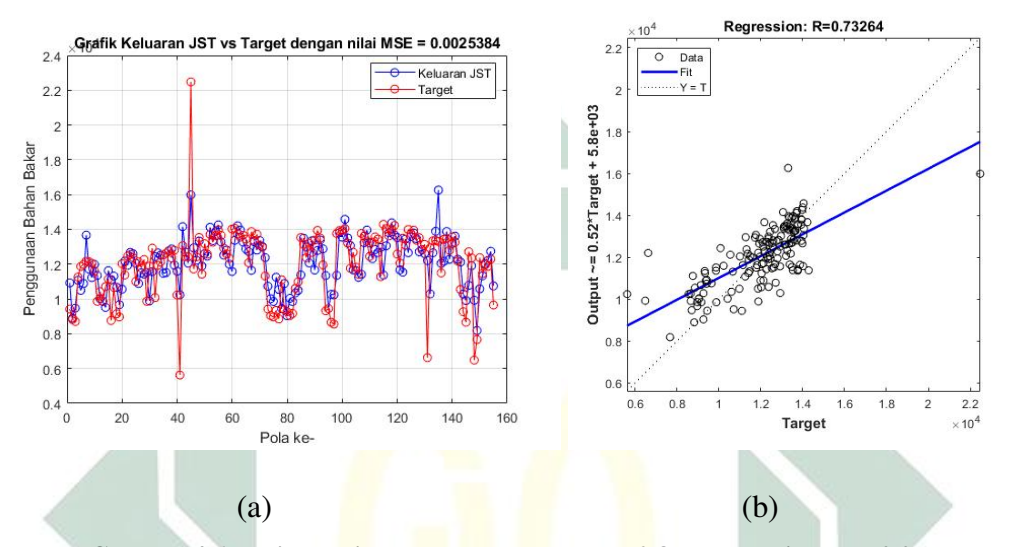
Gambar 4.4 Hasil pelatihan dengan momentum 0,9 dan learning rate 0,05



Gambar 4.5 Hasil pelatihan dengan momentum 0,8 dan learning rate 0,01

Gambar 4.5 (a) menampilkan grafik perbandingan antara nilai keluaran JST dengan target beserta nilai MSE yang diperoleh. Hasil MSE pelatihan yang diperoleh dari 9 *node* pada *hidden layer*, dengan momentum 0,8 dan learning rate 0,01 yaitu sebesar 0,0012161. Pada Gambar 4.5 (b) target dan keluaran jaringan atau hasil prediksi dianalisis dengan regresi linier sehingga menghasilkan gradien garis

terbaik sebesar 0,76 dan koefisien korelasi atau regresi yang diperoleh pada tahap pelatihan yaitu sebesar 0,88200. Jika penyebaran data semakin mendekati garis lurus, maka peramalan yang diperoleh semakin baik.



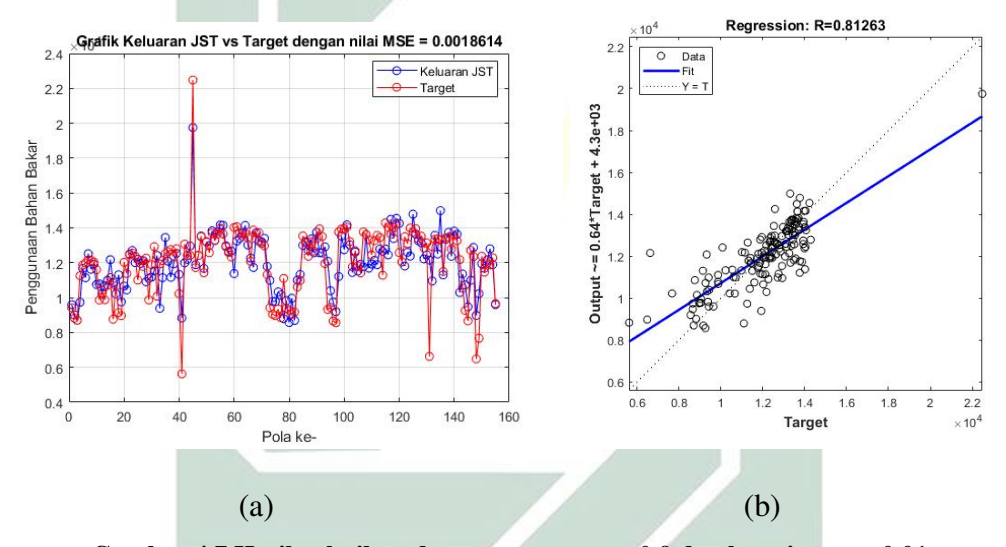
Gambar 4.6 Hasil pel<mark>atih</mark>an <mark>dengan mom</mark>entu<mark>m 0,</mark>8 dan learning rate 0,05

Gambar 4.6 (a) menampilkan grafik perbandingan antara nilai keluaran JST dengan target beserta nilai MSE yang diperoleh. Hasil MSE pelatihan yang diperoleh dari 9 *node* pada *hidden layer*, dengan momentum 0,8 dan learning rate 0,05 yaitu sebesar 0,0025384. Pada Gambar 4.6 (b) target dan keluaran jaringan atau hasil prediksi dianalisis dengan regresi linier sehingga menghasilkan gradien garis terbaik sebesar 0,52 dan koefisien korelasi atau regresi yang diperoleh pada tahap pelatihan yaitu sebesar 0,73264. Jika penyebaran data semakin mendekati garis lurus, maka peramalan yang diperoleh semakin baik.

(b) 12 node pada hidden layer

Gambar 4.7 (a) menampilkan grafik perbandingan antara nilai keluaran

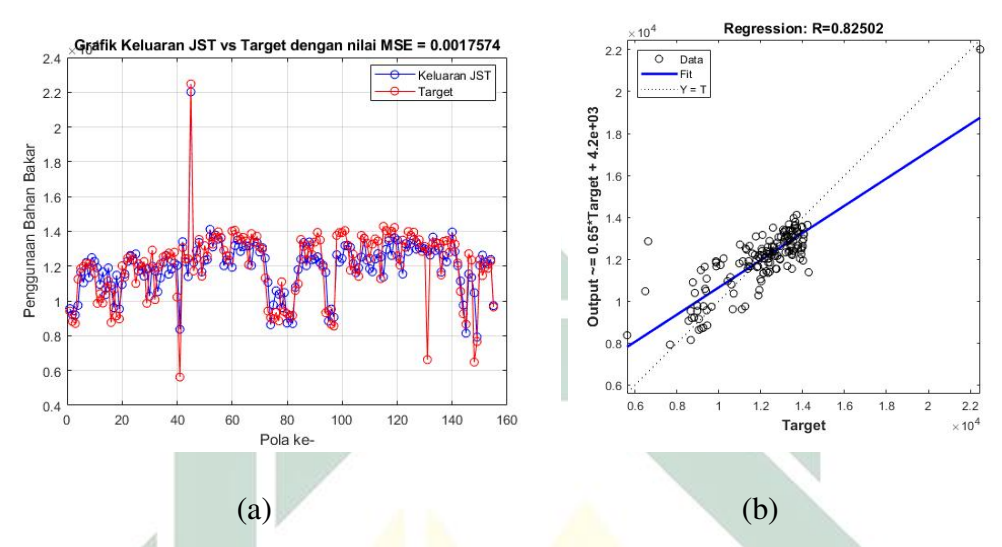
JST dengan target beserta nilai MSE yang diperoleh. Hasil MSE pelatihan yang diperoleh dari 12 *node* pada *hidden layer*, dengan momentum 0,9 dan learning rate 0,01 yaitu sebesar 0,0018614. Pada Gambar 4.7 (b) target dan keluaran jaringan atau hasil prediksi dianalisis dengan regresi linier sehingga menghasilkan gradien garis terbaik sebesar 0,64 dan koefisien korelasi atau yang diperoleh pada tahap pelatihan yaitu sebesar 0,81263. Jika penyebaran data semakin mendekati garis lurus, maka peramalan yang diperoleh semakin baik.



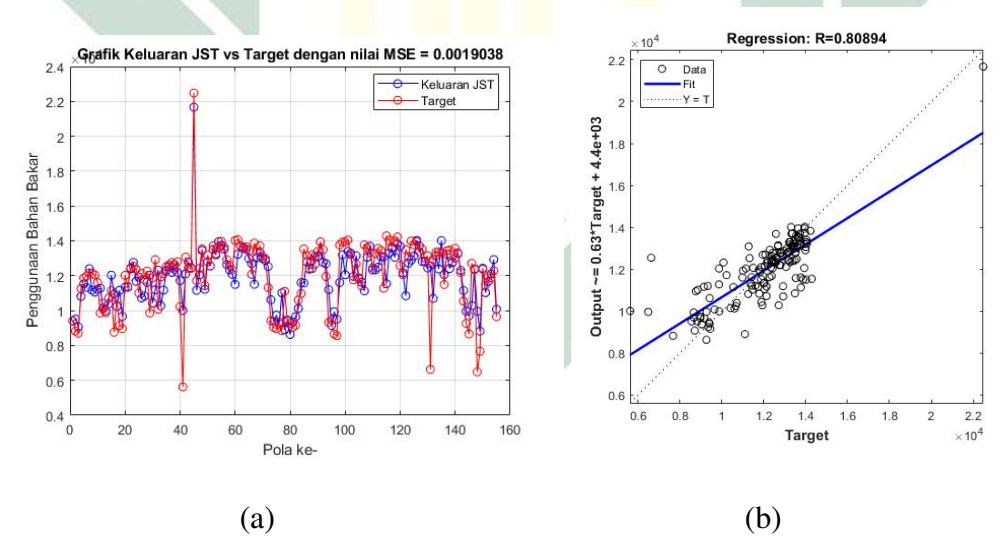
Gambar 4.7 Hasil pelatihan dengan momentum 0,9 dan learning rate 0,01

Gambar 4.8 (a) menampilkan grafik perbandingan antara nilai keluaran JST dengan target beserta nilai MSE yang diperoleh. Hasil MSE pelatihan yang diperoleh dari 12 *node* pada *hidden layer*, dengan momentum 0,9 dan learning rate 0,05 yaitu sebesar 0,0017574. Pada Gambar 4.8 (b) target dan keluaran jaringan atau hasil prediksi dianalisis dengan regresi linier sehingga menghasilkan gradien garis terbaik sebesar 0,65 dan koefisien korelasi atau regresi yang diperoleh pada tahap pelatihan yaitu sebesar 0,82502.Jika penyebaran data

semakin mendekati garis lurus, maka peramalan yang diperoleh semakin baik.



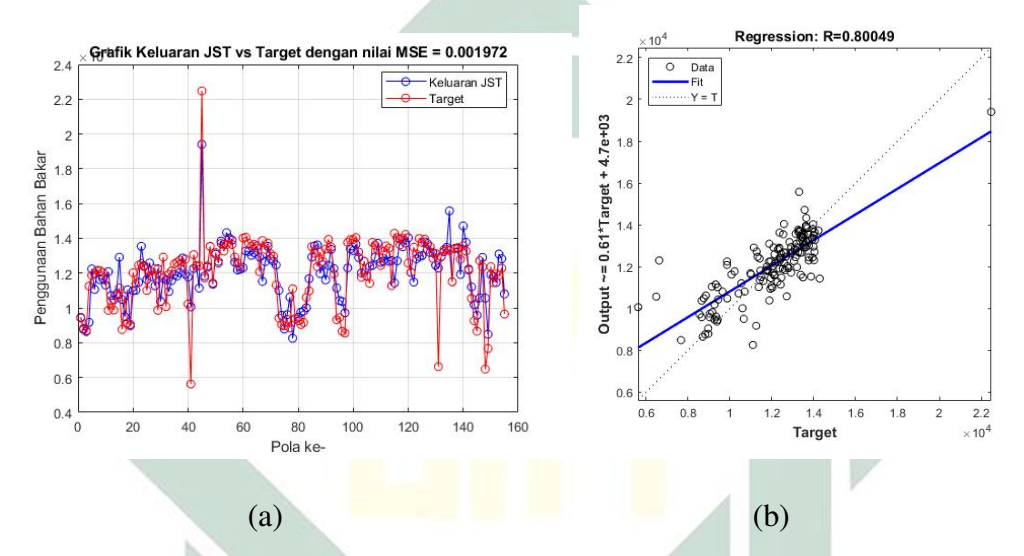
Gambar 4.8 Hasil pelatihan dengan momentum 0,9 dan learning rate 0,05



Gambar 4.9 Hasil pelatihan dengan momentum 0,8 dan learning rate 0,01

Gambar 4.9 (a) menampilkan grafik perbandingan antara nilai keluaran JST dengan target beserta nilai MSE yang diperoleh. Hasil MSE pelatihan yang diperoleh dari 12 *node* pada *hidden layer*, dengan momentum 0,8 dan learning rate 0,01 yaitu sebesar 0,0019038. Pada

Gambar 4.9 (b) target dan keluaran jaringan atau hasil prediksi dianalisis dengan regresi linier sehingga menghasilkan gradien garis terbaik sebesar 0,63 dan koefisien korelasi atau regresi yang diperoleh pada tahap pelatihan yaitu sebesar 0,80894. Jika penyebaran data semakin mendekati garis lurus, maka peramalan yang diperoleh semakin baik.

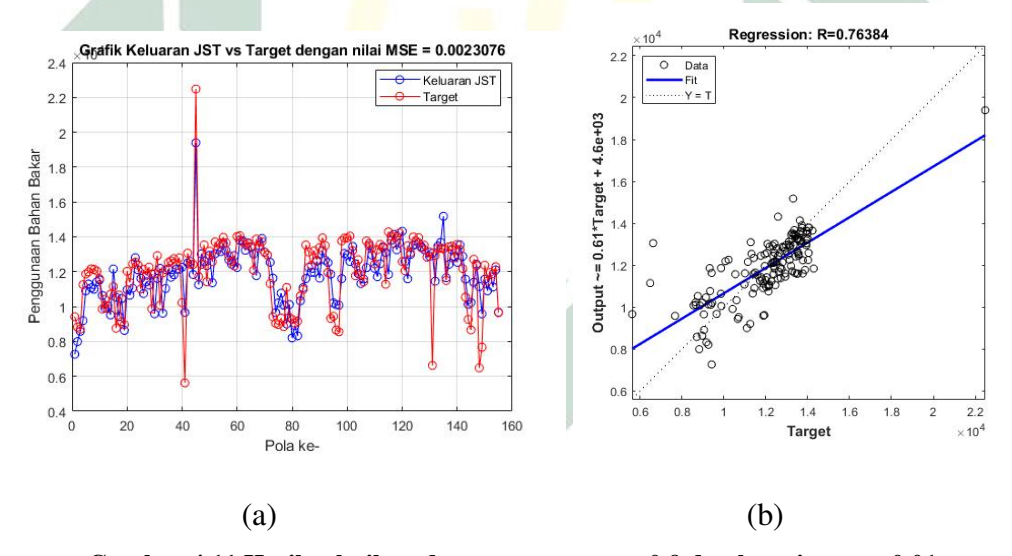


Gambar 4.10 Hasil pelatihan dengan momentum 0,8 dan learning rate 0,05

Gambar 4.10 (a) menampilkan grafik perbandingan antara nilai keluaran JST dengan target beserta nilai MSE yang diperoleh. Hasil MSE pelatihan yang diperoleh dari 12 *node* pada *hidden layer*, dengan momentum 0,8 dan learning rate 0,05 yaitu sebesar 0,001972. Pada Gambar 4.10 (b) target dan keluaran jaringan atau hasil prediksi dianalisis dengan regresi linier sehingga menghasilkan gradien garis terbaik sebesar 0,61 dan koefisien korelasi atau regresi yang diperoleh pada tahap pelatihan yaitu sebesar 0,80049. Jika penyebaran data semakin mendekati garis lurus, maka peramalan yang diperoleh semakin baik.

(c) 15 node pada hidden layer

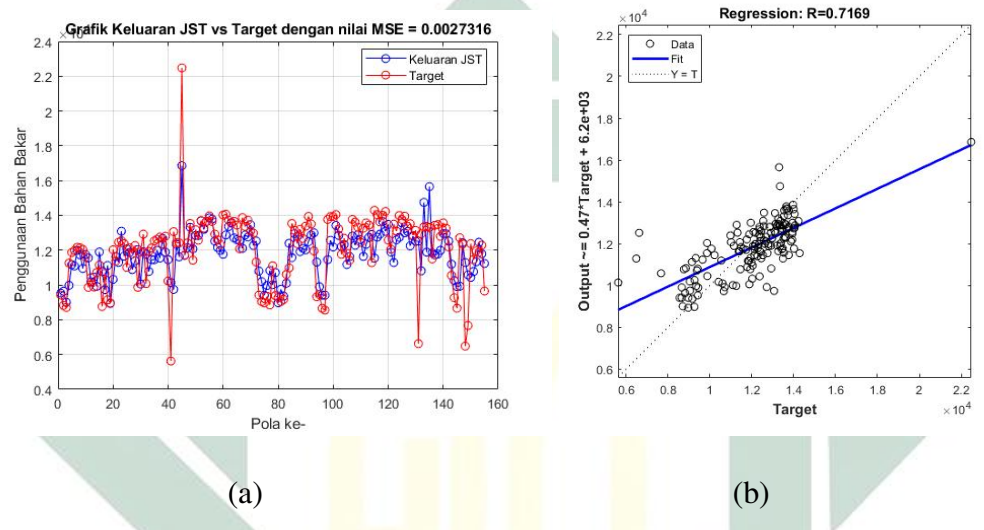
Gambar 4.11 (a) menampilkan grafik perbandingan antara nilai keluaran JST dengan target beserta nilai MSE yang diperoleh. Hasil MSE pelatihan yang diperoleh dari 15 node pada hidden layer, dengan momentum 0,9 dan learning rate 0,01 yaitu sebesar 0,0023076. Pada Gambar 4.11 (b) target dan keluaran jaringan atau hasil prediksi dianalisis dengan regresi linier sehingga menghasilkan gradien garis terbaik sebesar 0,61 dan koefisien korelasi atau regresi yang diperoleh pada tahap pelatihan yaitu sebesar 0,76384. Jika penyebaran data semakin mendekati garis lurus, maka peramalan yang diperoleh semakin baik.



Gambar 4.11 Hasil pelatihan dengan momentum 0,9 dan learning rate 0,01

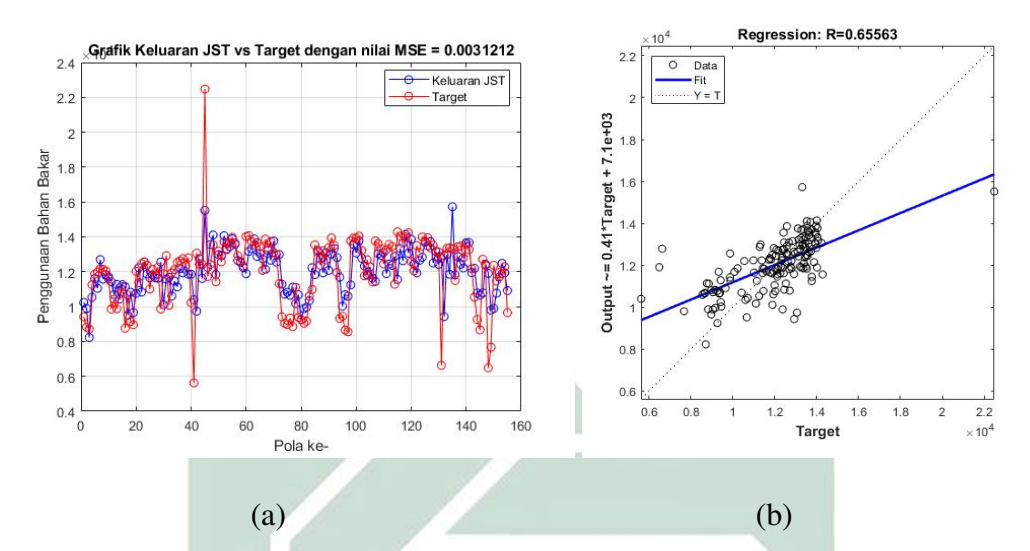
Gambar 4.12 (a) menampilkan grafik perbandingan antara nilai keluaran JST dengan target beserta nilai MSE yang diperoleh. Hasil MSE pelatihan yang diperoleh dari 15 *node* pada *hidden layer*, dengan momentum 0,9 dan learning rate 0,05 yaitu sebesar 0,0027316. Pada Gambar 4.12 (b) target dan keluaran jaringan atau hasil prediksi

dianalisis dengan regresi linier sehingga menghasilkan gradien garis terbaik sebesar 0,47 dan koefisien korelasi atau regresi yang diperoleh pada tahap pelatihan yaitu sebesar 0,7169. Jika penyebaran data semakin mendekati garis lurus, maka peramalan yang diperoleh semakin baik.

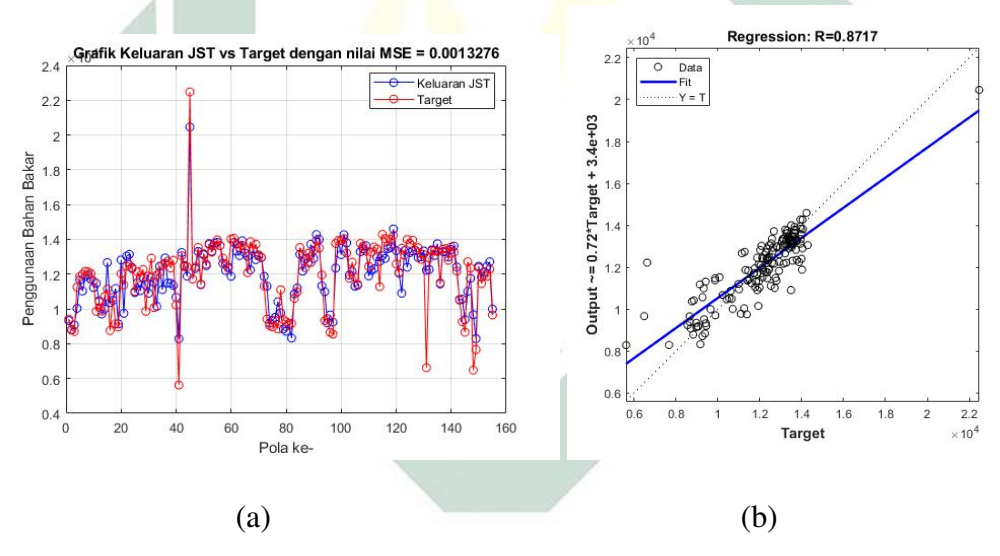


Gambar 4.12 Hasil pel<mark>atihan dengan mom</mark>entum 0,9 dan learning rate 0,05

Gambar 4.13 (a) menampilkan grafik perbandingan antara nilai keluaran JST dengan target beserta nilai MSE yang diperoleh. Hasil MSE pelatihan yang diperoleh dari 15 *node* pada *hidden layer*, dengan momentum 0,8 dan learning rate 0,01 yaitu sebesar 0,0031212. Pada Gambar 4.13 (b) target dan keluaran jaringan atau hasil prediksi dianalisis dengan regresi linier sehingga menghasilkan gradien garis terbaik sebesar 0,41 dan koefisien korelasi atau regresi yang diperoleh pada tahap pelatihan yaitu sebesar 0,7169. Jika penyebaran data semakin mendekati garis lurus, maka peramalan yang diperoleh semakin baik.



Gambar 4.13 Hasil pelatihan dengan momentum 0,8 dan learning rate 0,01

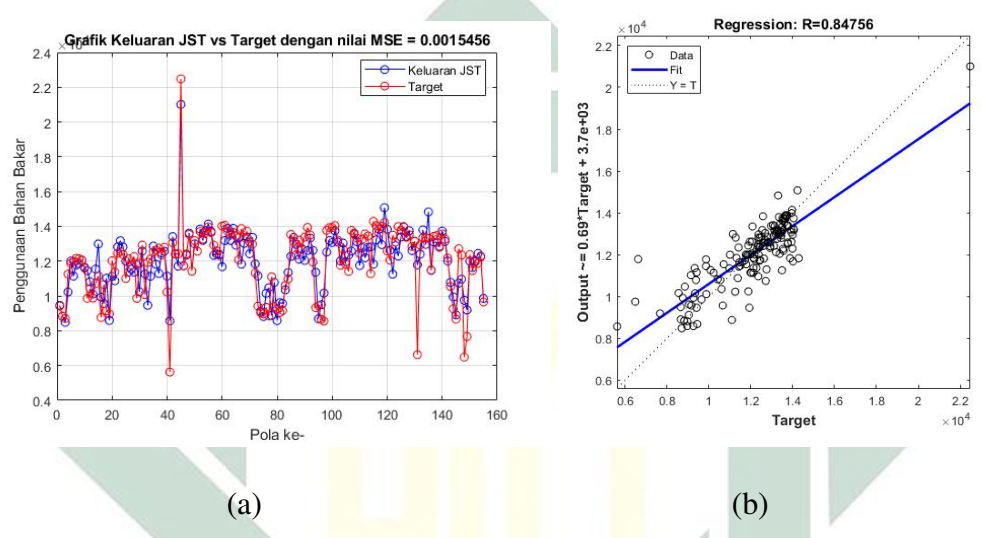


Gambar 4.14 Hasil pelatihan dengan momentum 0,8 dan learning rate 0,05

Gambar 4.14 (a) menampilkan grafik perbandingan antara nilai keluaran JST dengan target beserta nilai MSE yang diperoleh. Hasil MSE pelatihan yang diperoleh dari 15 *node* pada *hidden layer*, dengan momentum 0,8 dan learning rate 0,05 yaitu sebesar 0,0013276. Pada Gambar 4.14 (b) target dan keluaran jaringan atau hasil prediksi dianalisis dengan regresi linier sehingga menghasilkan gradien garis

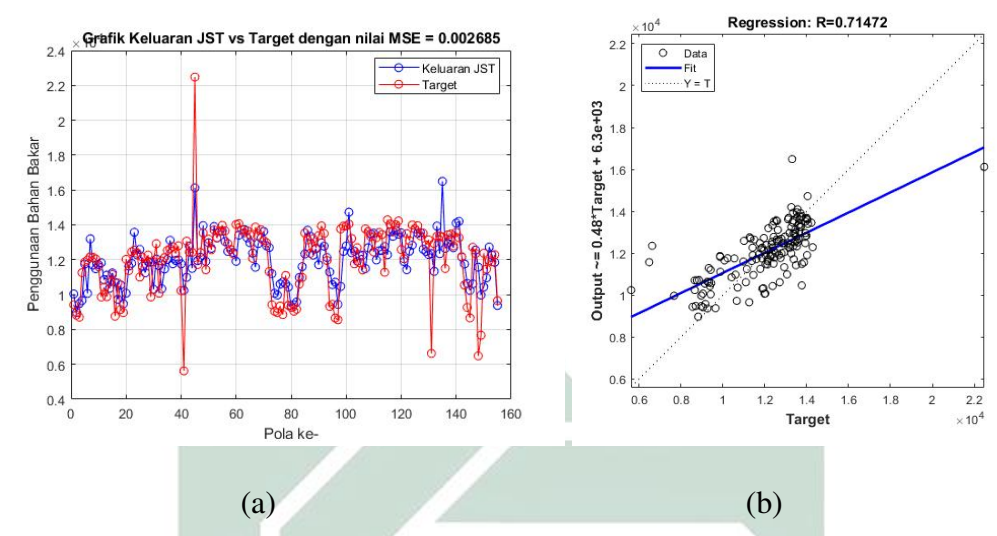
terbaik sebesar 0,72 dan koefisien korelasi atau regresi yang diperoleh pada tahap pelatihan yaitu sebesar 0,8717. Jika penyebaran data semakin mendekati garis lurus, maka peramalan yang diperoleh semakin baik.

(d) 25 node pada hidden layer



Gambar 4.15 Hasil pelatihan dengan momentum 0,9 dan learning rate 0,01

Gambar 4.15 (a) menampilkan grafik perbandingan antara nilai keluaran JST dengan target beserta nilai MSE yang diperoleh. Hasil MSE pelatihan yang diperoleh dari 25 *node* pada *hidden layer*, dengan momentum 0,9 dan learning rate 0,01 yaitu sebesar 0,0015456. Pada Gambar 4.15 (b) target dan keluaran jaringan atau hasil prediksi dianalisis dengan regresi linier sehingga menghasilkan gradien garis terbaik sebesar 0,69 dan koefisien korelasi atau regresi yang diperoleh pada tahap pelatihan yaitu sebesar 0,84756. Jika penyebaran data semakin mendekati garis lurus, maka peramalan yang diperoleh semakin baik.

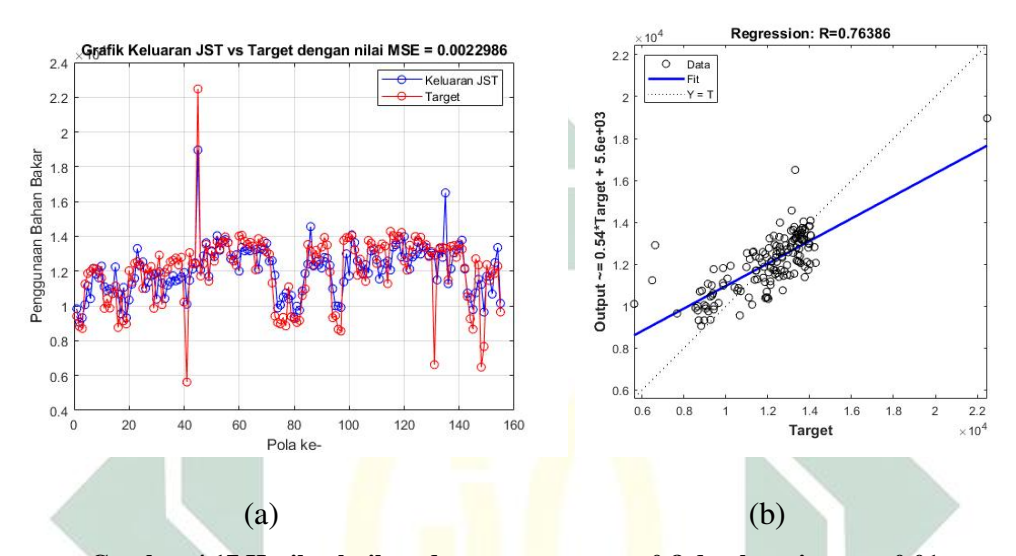


Gambar 4.16 Hasil pelatihan dengan momentum 0,9 dan learning rate 0,05

Gambar 4.16 (a) menampilkan grafik perbandingan antara nilai keluaran JST dengan target beserta nilai MSE yang diperoleh. Hasil MSE pelatihan yang diperoleh dari 25 node pada hidden layer, dengan momentum 0,9 dan learning rate 0,05 yaitu sebesar 0,0012685. Pada Gambar 4.16 (b) target dan keluaran jaringan atau hasil prediksi dianalisis dengan regresi linier sehingga menghasilkan gradien garis terbaik sebesar 0,48 dan koefisien korelasi atau regresi yang diperoleh pada tahap pelatihan yaitu sebesar 0,71472. Jika penyebaran data semakin mendekati garis lurus, maka peramalan yang diperoleh semakin baik.

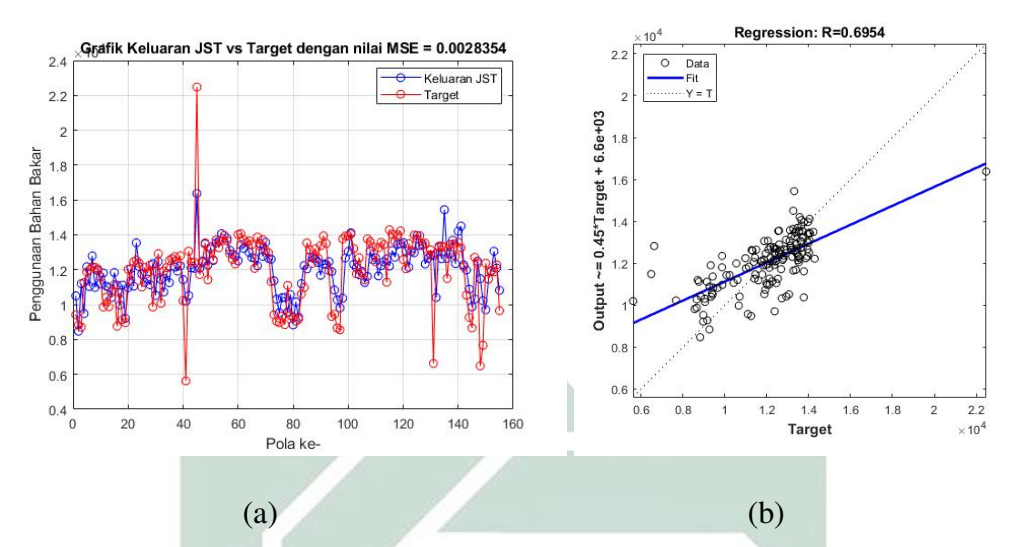
Gambar 4.17 (a) menampilkan grafik perbandingan antara nilai keluaran JST dengan target beserta nilai MSE yang diperoleh. Hasil MSE pelatihan yang diperoleh dari 25 *node* pada *hidden layer*, dengan momentum 0,8 dan learning rate 0,01 yaitu sebesar 0,0022986. Pada Gambar 4.17 (b) target dan keluaran jaringan atau hasil prediksi dianalisis dengan regresi linier sehingga menghasilkan gradien garis

terbaik sebesar 0,54 dan koefisien korelasi atau regresi yang diperoleh pada tahap pelatihan yaitu sebesar 0,76386. Jika penyebaran data semakin mendekati garis lurus, maka peramalan yang diperoleh semakin baik.



Gambar 4.17 Hasil pel<mark>ati</mark>han <mark>dengan mo</mark>mentu<mark>m 0</mark>,8 dan learning rate 0,01

Gambar 4.18 (a) menampilkan grafik perbandingan antara nilai keluaran JST dengan target beserta nilai MSE yang diperoleh. Hasil MSE pelatihan yang diperoleh dari 25 node pada hidden layer, dengan momentum 0,8 dan learning rate 0,05 yaitu sebesar 0,0028354. Pada Gambar 4.18 (b) target dan keluaran jaringan atau hasil prediksi dianalisis dengan regresi linier sehingga menghasilkan gradien garis terbaik sebesar 0,45 dan koefisien korelasi atau regresi yang diperoleh pada tahap pelatihan yaitu sebesar 0,6954. Jika penyebaran data semakin mendekati garis lurus, maka peramalan yang diperoleh semakin baik.

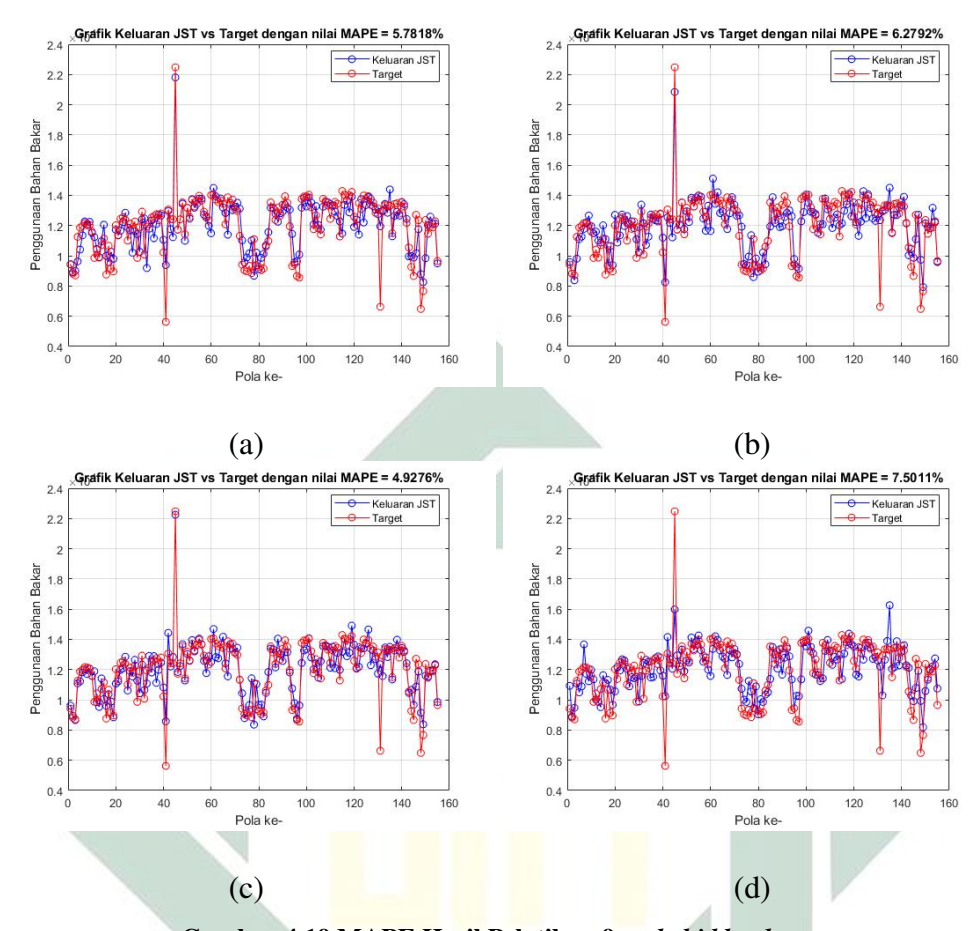


Gambar 4.18 Hasil pelatihan dengan momentum 0,8 dan learning rate 0,05

Hasil MAPE pada tahap *training* dengan 9, 12, 15, dan 25 *node* pada *hidden layer* berturut-turut ditunjukkan pada Gambar 4.19, 4.20, 4.21, dan 4.22 sebagai berikut:

(a) 9 node pada hidden layer

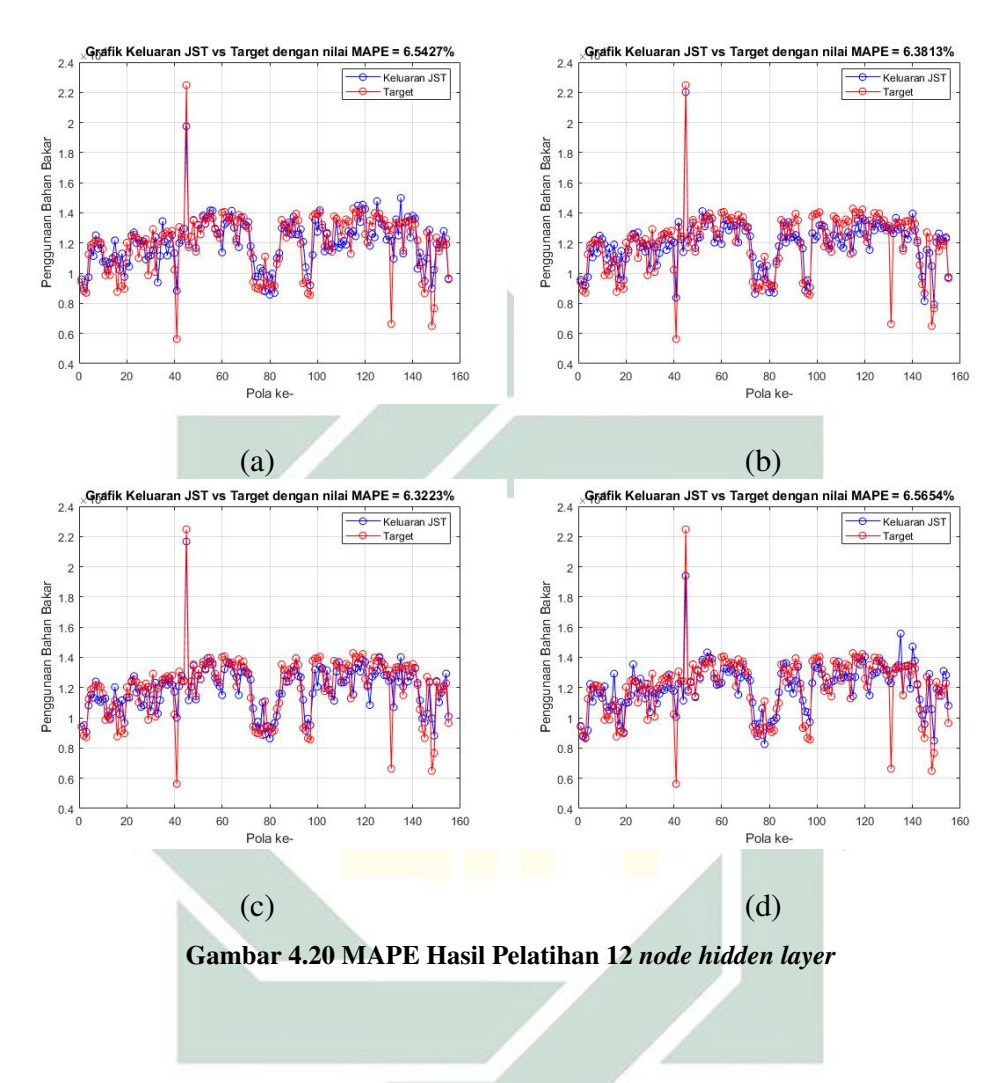
Gambar 4.19 (a) menampilkan Hasil MAPE pelatihan yang diperoleh dari 9 *node* pada *hidden layer*, dengan momentum 0,9 dan learning rate 0,01 yaitu sebesar 5,7818%. Gambar 4.19 (b) menampilkan Hasil MAPE pelatihan yang diperoleh dari 9 unit tersembunyi, dengan momentum 0,9 dan learning rate 0,05 yaitu sebesar 6,2792%. Gambar 4.19 (c) menampilkan Hasil MAPE pelatihan yang diperoleh dari 9 unit tersembunyi, dengan momentum 0,8 dan learning rate 0,01 yaitu sebesar 4,9276%. Gambar 4.19 (d) menampilkan Hasil MAPE pelatihan yang diperoleh dari 9 unit tersembunyi, dengan momentum 0,8 dan learning rate 0,05 yaitu sebesar 7,5011%



Gambar 4.19 MAPE Ha<mark>s</mark>il Pelatihan 9 *node hidden layer*

(b) 12 node pada hidden layer

Gambar 4.20 (a) menampilkan Hasil MAPE pelatihan yang diperoleh dari 12 *node* pada *hidden layer*, dengan momentum 0,9 dan learning rate 0,01 yaitu sebesar 6,5427%. Gambar 4.20 (b) menampilkan Hasil MAPE pelatihan yang diperoleh dari 12 unit tersembunyi, dengan momentum 0,9 dan learning rate 0,05 yaitu sebesar 6,3813%. Gambar 4.20 (c) menampilkan Hasil MAPE pelatihan yang diperoleh dari 12 unit tersembunyi, dengan momentum 0,8 dan learning rate 0,01 yaitu sebesar 6,3223%. Gambar 4.20 (d) menampilkan Hasil MAPE pelatihan yang diperoleh dari 12 unit tersembunyi, dengan momentum

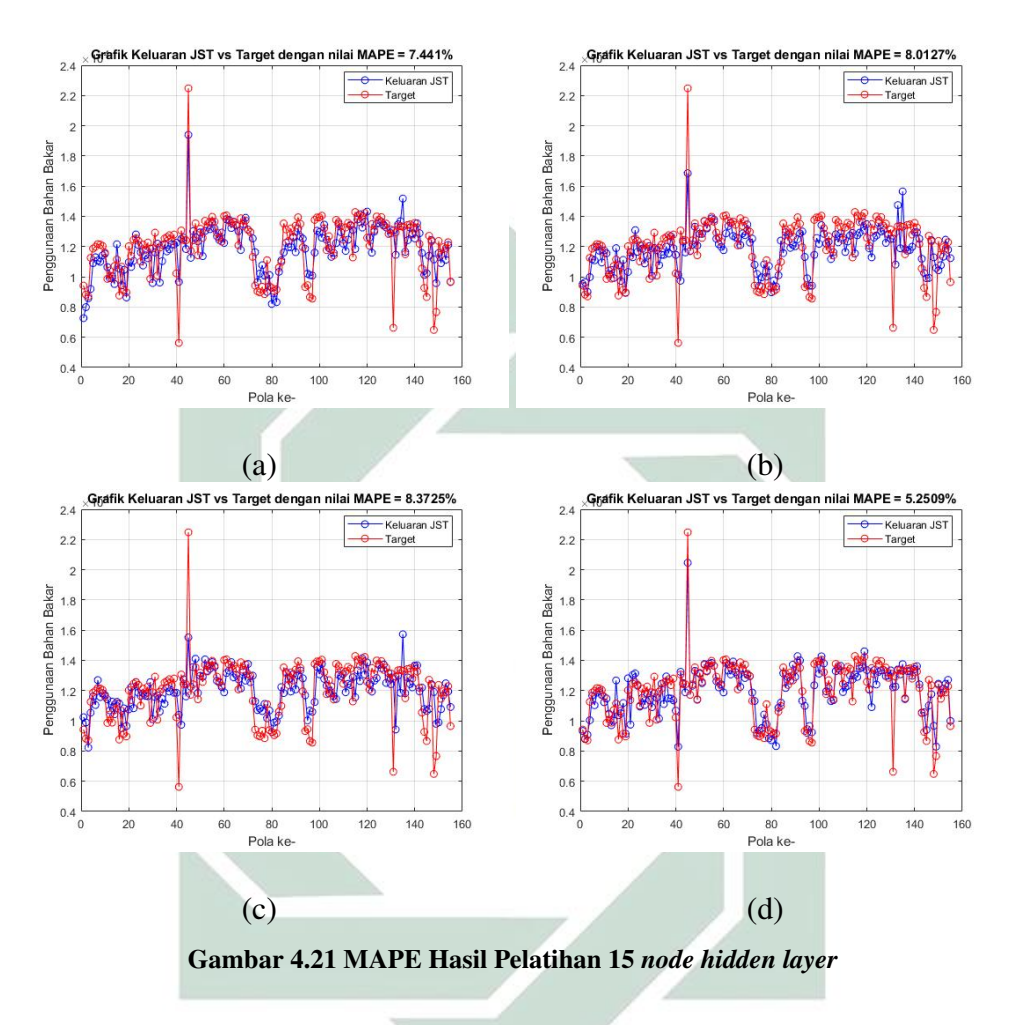


0,8 dan learning rate 0,05 yaitu sebesar 6,5654%

(c) 15 node pada hidden layer

Gambar 4.21 (a) menampilkan Hasil MAPE pelatihan yang diperoleh dari 15 *node* pada *hidden layer*, dengan momentum 0,9 dan learning rate 0,01 yaitu sebesar 7,441%. Gambar 4.21 (b) menampilkan Hasil MAPE pelatihan yang diperoleh dari 15 unit tersembunyi, dengan momentum 0,9 dan learning rate 0,05 yaitu sebesar 8,0127%. Gambar 4.21 (c) menampilkan Hasil MAPE pelatihan yang diperoleh dari 15 unit tersembunyi, dengan momentum 0,8 dan learning rate 0,01 yaitu sebesar 8,3725%. Gambar 4.21 (d) menampilkan Hasil MAPE

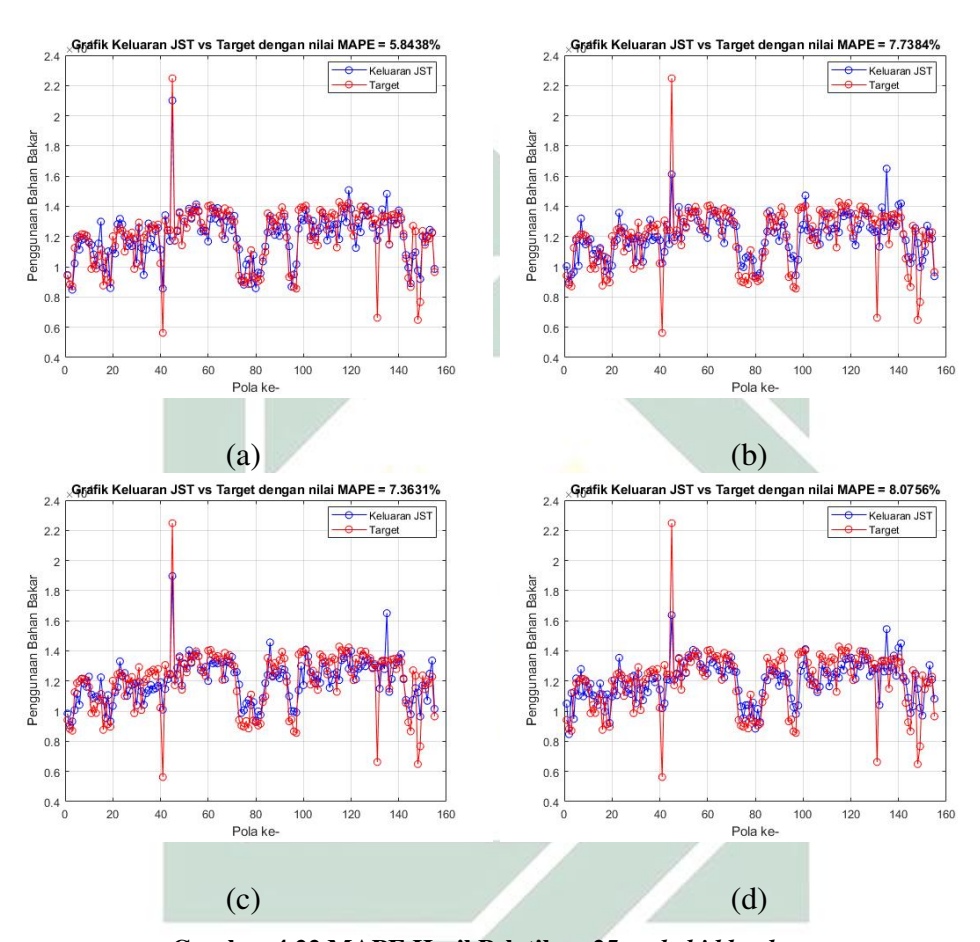
pelatihan yang diperoleh dari 15 unit tersembunyi, dengan momentum 0,8 dan learning rate 0,05 yaitu sebesar 5,2509%



(d) 25 node pada hidden layer

Gambar 4.22 (a) menampilkan Hasil MAPE pelatihan yang diperoleh dari 25 *node* pada *hidden layer*, dengan momentum 0,9 dan learning rate 0,01 yaitu sebesar 5,8438%. Gambar 4.22 (b) menampilkan Hasil MAPE pelatihan yang diperoleh dari 25 unit tersembunyi, dengan momentum 0,9 dan learning rate 0,05 yaitu sebesar 87,7384%. Gambar 4.22 (c) menampilkan Hasil MAPE pelatihan yang diperoleh dari 25 unit tersembunyi, dengan momentum 0,8 dan learning rate 0,01 yaitu

sebesar 7,3631%. Gambar 4.22 (d) menampilkan Hasil MAPE pelatihan yang diperoleh dari 25 unit tersembunyi, dengan momentum 0,8 dan learning rate 0,05 yaitu sebesar 8,0756%

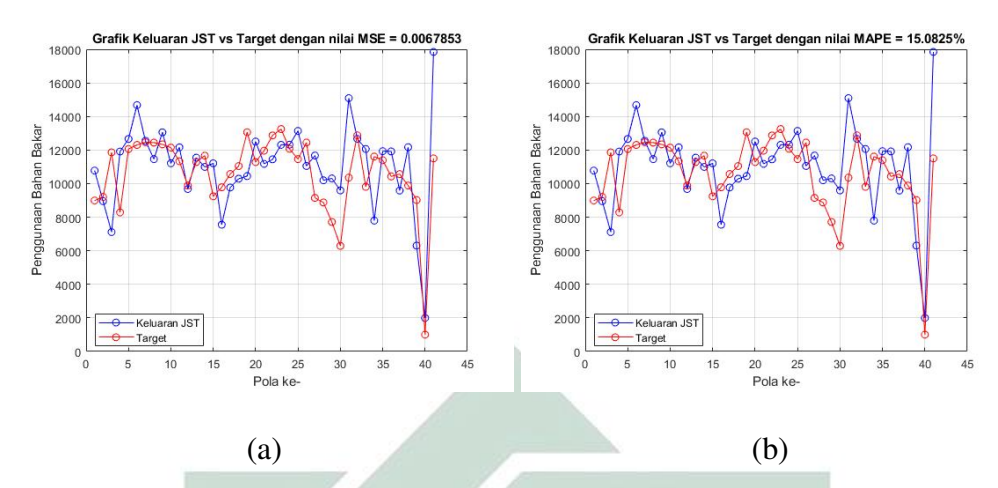


Gambar 4.22 MAPE Hasil Pelatihan 25 node hidden layer

4.4. Tahap Pengujian

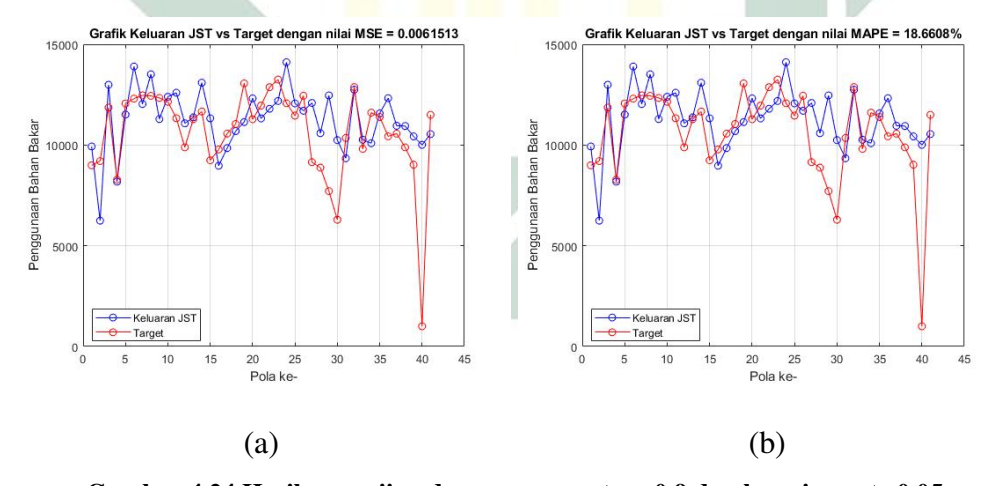
Hasil yang diperoleh pada tahap pengujian ditampilkan pada Gambar 4.23 sampai 4.38 berturut-turut menunjukkan grafik perbandingan nilai keluaran JST dengan nilai target yang sesungguhnya. Pada bagian (a) dan (b) masingmasing menunjukkan nilai MSE dan MAPE pada tahap uji sebagai berikut:

(a) 9 node pada hidden layer



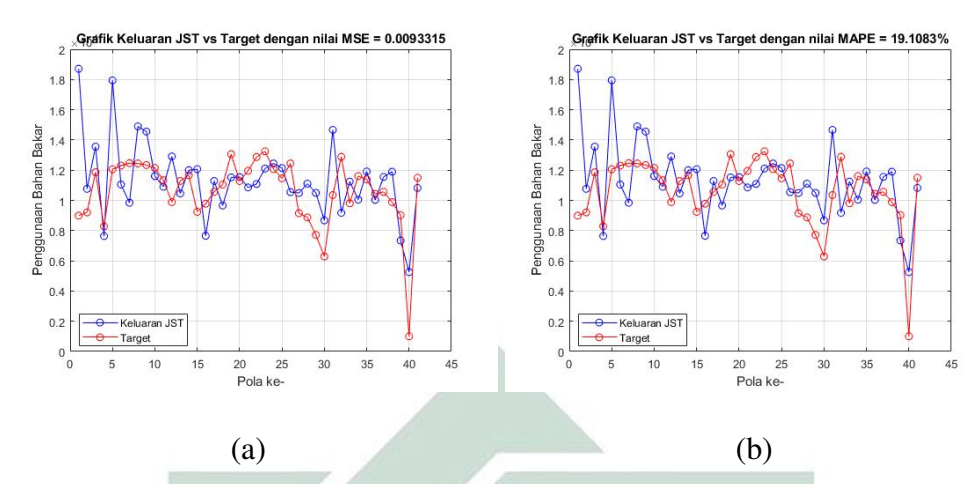
Gambar 4.23 Hasil pengujian dengan momentum 0,9 dan learning rate 0,01

Gambar 4.23 menampilkan Hasil pengujian yang diperoleh dari 9 *node hidden layer*, dengan momentum 0,9 dan learning rate 0,01. Gambar 4.23 (a) menampilkan hasil MSE sebesar 0,0067853 dan Gambar 4.23 (b) menampilkan hasil MAPE sebesar 15,0825/



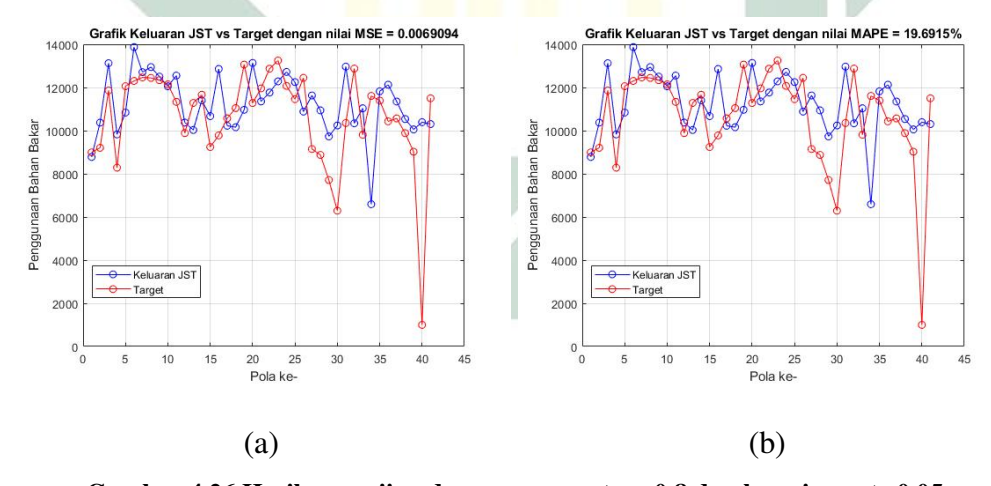
Gambar 4.24 Hasil pengujian dengan momentum 0,9 dan learning rate 0,05

Gambar 4.24 menampilkan Hasil pengujian yang diperoleh dari 9 *node hidden layer*, dengan momentum 0,9 dan learning rate 0,05. Gambar 4.24 (a) menampilkan hasil MSE sebesar 0,0061513 dan Gambar 4.24 (b) menampilkan hasil MAPE sebesar 18,6608%



Gambar 4.25 Hasil pengujian dengan momentum 0,8 dan learning rate 0,01

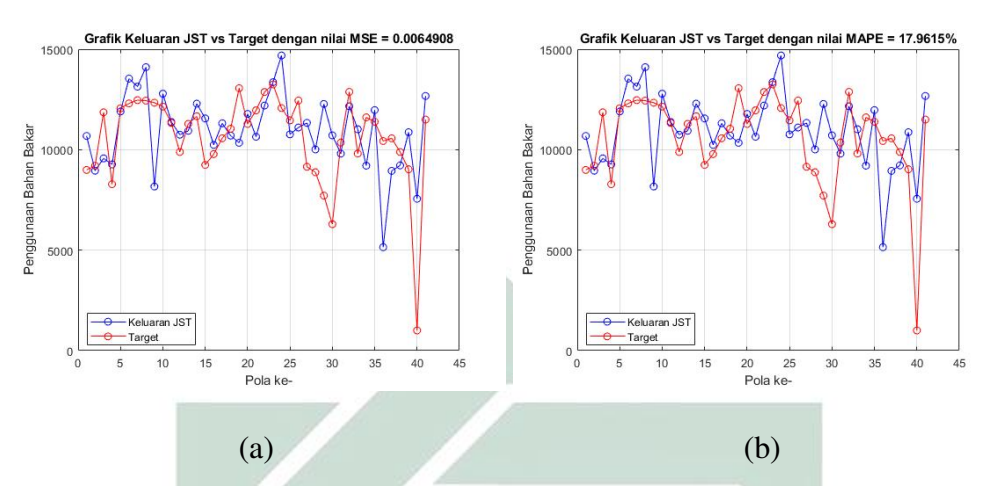
Gambar 4.25 menampilkan Hasil pengujian yang diperoleh dari 9 *node hidden layer*, dengan momentum 0,8 dan learning rate 0,01. Gambar 4.25 (a) menampilkan hasil MSE sebesar 0,0093315 dan Gambar 4.25 (b) menampilkan hasil MAPE sebesar 19,1083%



Gambar 4.26 Hasil pengujian dengan momentum 0,8 dan learning rate 0,05

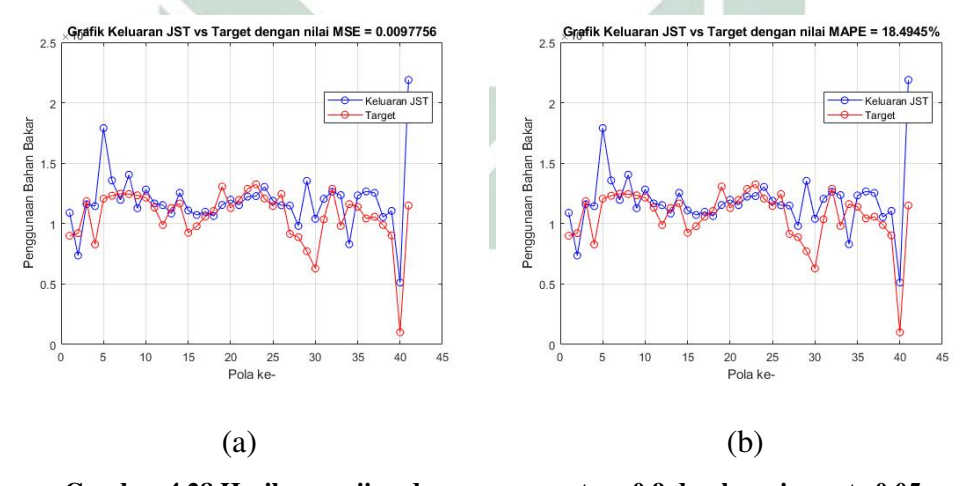
Gambar 4.26 menampilkan Hasil pengujian yang diperoleh dari 9 *node hidden layer*, dengan momentum 0,8 dan learning rate 0,05. Gambar 4.26 (a) menampilkan hasil MSE sebesar 0,0069094 dan Gambar 4.26 (b) menampilkan hasil MAPE sebesar 19,6915%

(b) 12 node pada hidden layer



Gambar 4.27 Hasil pengujian dengan momentum 0,9 dan learning rate 0,01

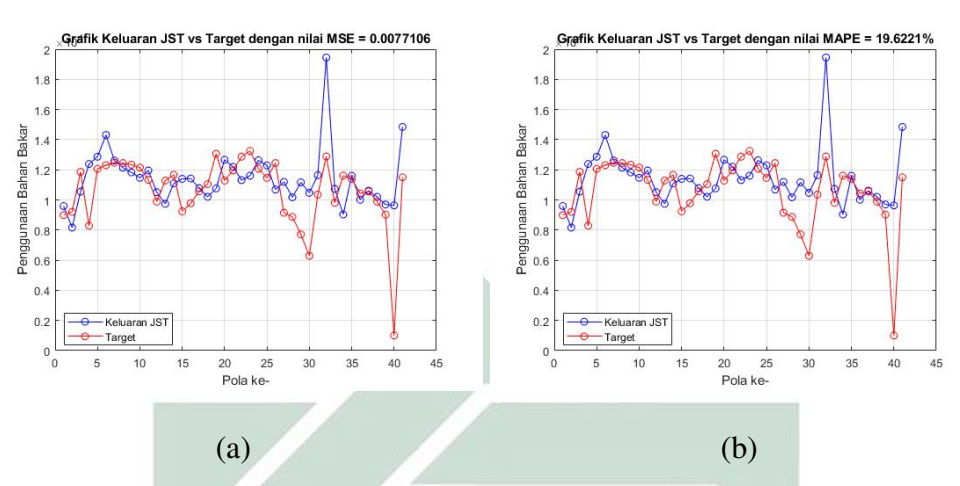
Gambar 4.27 menampilkan Hasil pengujian yang diperoleh dari 12 *node* hidden layer, dengan momentum 0,9 dan learning rate 0,01. Gambar 4.27 (a) menampilkan hasil MSE sebesar 0,0064908 dan Gambar 4.27 (b) menampilkan hasil MAPE sebesar 17,9615%



Gambar 4.28 Hasil pengujian dengan momentum 0,9 dan learning rate 0,05

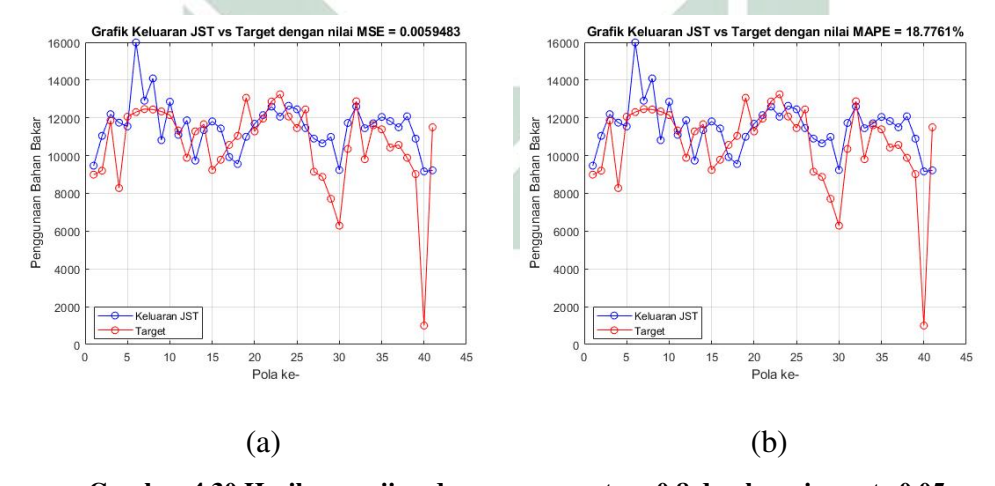
Gambar 4.28 menampilkan Hasil pengujian yang diperoleh dari 12 *node hidden layer*, dengan momentum 0,9 dan learning rate 0,05. Gambar 4.28 (a) menampilkan hasil MSE sebesar 0,0097756 dan Gambar 4.28

(b) menampilkan hasil MAPE sebesar 18,4945%



Gambar 4.29 Hasil pengujian dengan momentum 0,8 dan learning rate 0,01

Gambar 4.29 menampilkan Hasil pengujian yang diperoleh dari 12 *node* hidden layer, dengan momentum 0,8 dan learning rate 0,01. Gambar 4.29 (a) menampilkan hasil MSE sebesar 0,0077106 dan Gambar 4.29 (b) menampilkan hasil MAPE sebesar 19,6221%

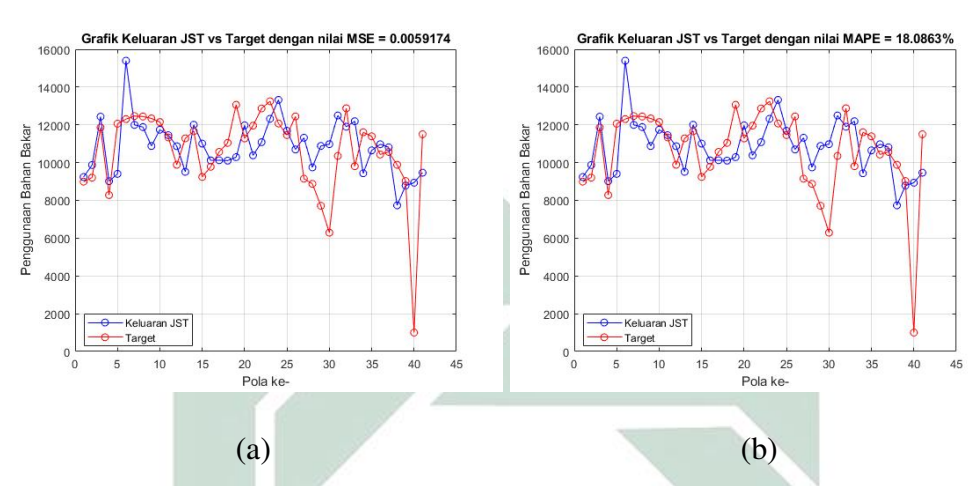


Gambar 4.30 Hasil pengujian dengan momentum 0,8 dan learning rate 0,05

Gambar 4.30 menampilkan Hasil pengujian yang diperoleh dari 12 *node hidden layer*, dengan momentum 0,8 dan learning rate 0,05. Gambar 4.30 (a) menampilkan hasil MSE sebesar 0,0059483 dan Gambar 4.30

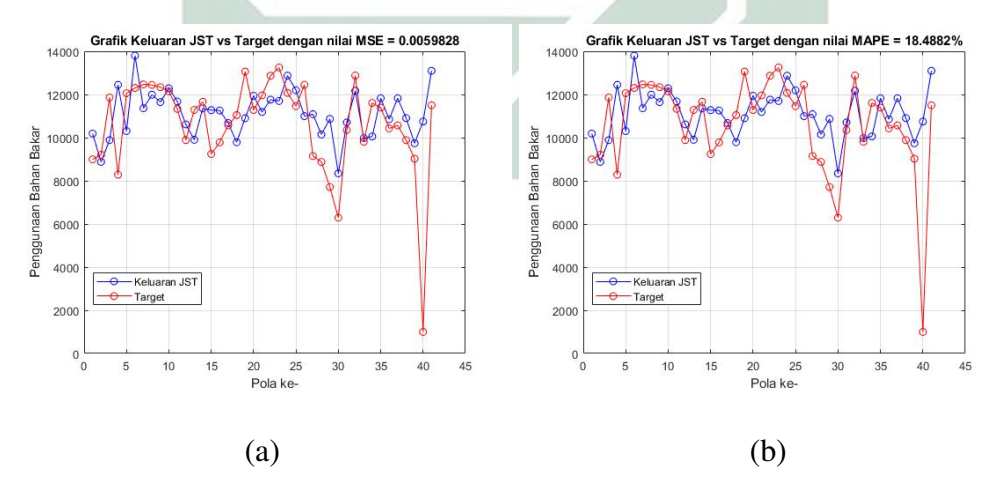
(b) menampilkan hasil MAPE sebesar 18,7761%

(c) 15 node pada hidden layer



Gambar 4.31 Hasil pengujian dengan momentum 0,9 dan learning rate 0,01

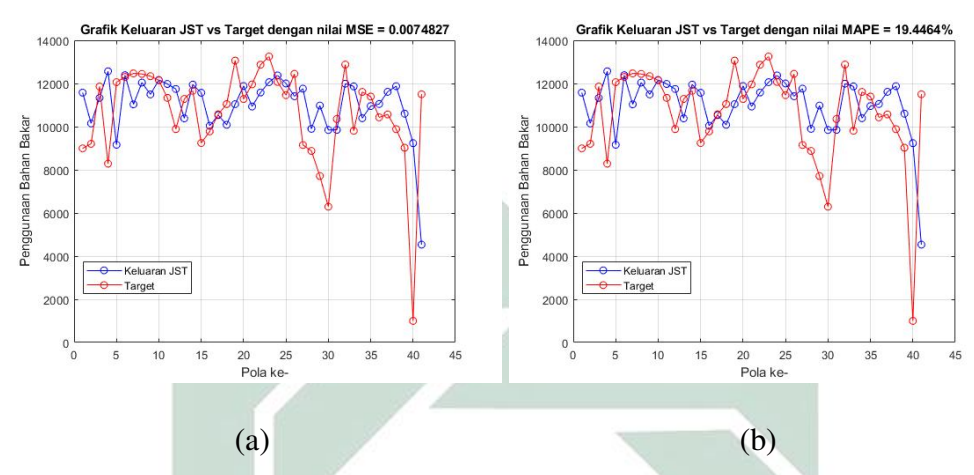
Gambar 4.31 menampilkan Hasil pengujian yang diperoleh dari 15 *node hidden layer*, dengan momentum 0,9 dan learning rate 0,01. Gambar 4.31 (a) menampilkan hasil MSE sebesar 0,0059174 dan Gambar 4.31 (b) menampilkan hasil MAPE sebesar 18,0863%



Gambar 4.32 Hasil pengujian dengan momentum 0,9 dan learning rate 0,05

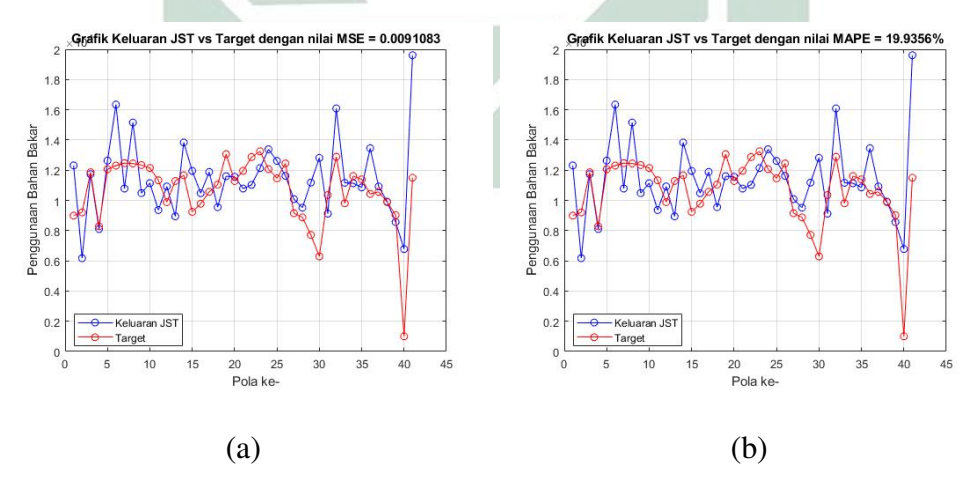
Gambar 4.32 menampilkan Hasil pengujian yang diperoleh dari 15 *node hidden layer*, dengan momentum 0,9 dan learning rate 0,05. Gambar

4.32 (a) menampilkan hasil MSE sebesar 0,0059828 dan Gambar 4.32(b) menampilkan hasil MAPE sebesar 18,4882%



Gambar 4.33 Hasil pengujian dengan momentum 0,8 dan learning rate 0,01

Gambar 4.33 menampilkan Hasil pengujian yang diperoleh dari 15 *node hidden layer*, dengan momentum 0,8 dan learning rate 0,01. Gambar 4.33 (a) menampilkan hasil MSE sebesar 0,0074827 dan Gambar 4.33 (b) menampilkan hasil MAPE sebesar 19,4464%

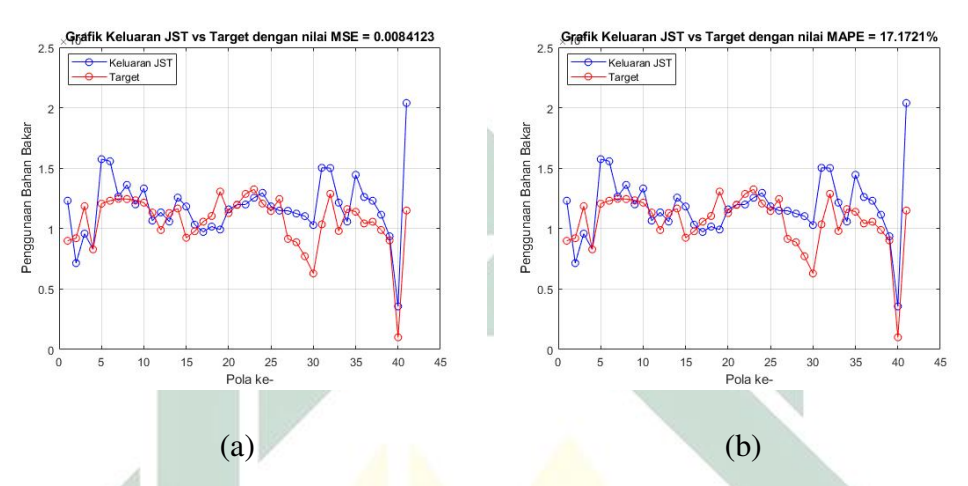


Gambar 4.34 Hasil pengujian dengan momentum 0,8 dan learning rate 0,05

Gambar 4.34 menampilkan Hasil pengujian yang diperoleh dari 15 *node hidden layer*, dengan momentum 0,8 dan learning rate 0,05. Gambar

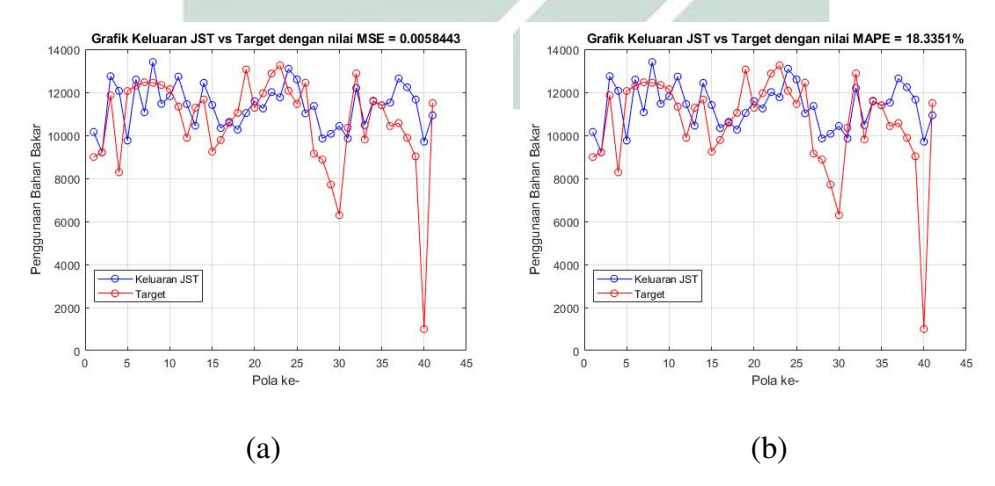
4.34 (a) menampilkan hasil MSE sebesar 0,0091083 dan Gambar 4.34(b) menampilkan hasil MAPE sebesar 19,9356%

(d) 25 node pada hidden layer



Gambar 4.35 Hasil pengujian dengan momentum 0,9 dan learning rate 0,01

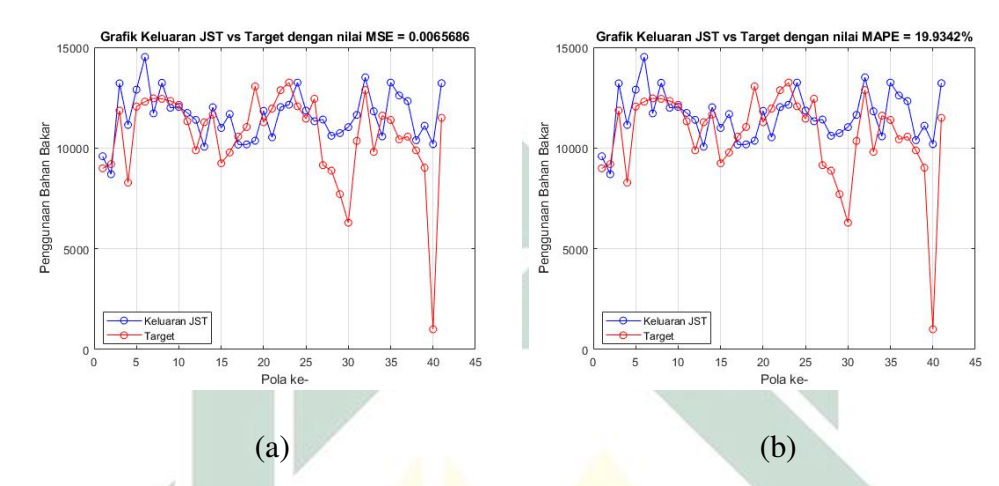
Gambar 4.35 menampilkan Hasil pengujian yang diperoleh dari 25 *node hidden layer*, dengan momentum 0,9 dan learning rate 0,01. Gambar 4.35 (a) menampilkan hasil MSE sebesar 0,0084123 dan Gambar 4.35 (b) menampilkan hasil MAPE sebesar 17,1721%



Gambar 4.36 Hasil pengujian dengan momentum 0,9 dan learning rate 0,05

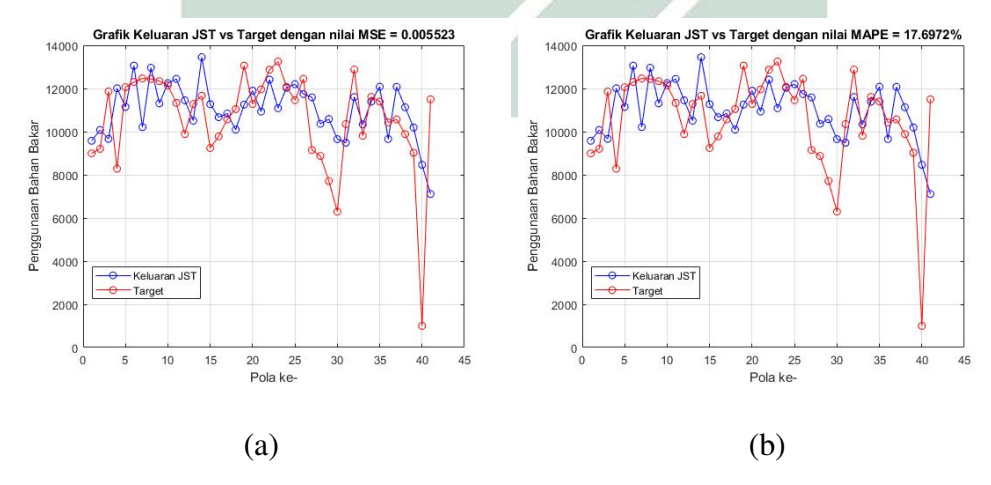
Gambar 4.36 menampilkan Hasil pengujian yang diperoleh dari 25 node

hidden layer, dengan momentum 0,9 dan learning rate 0,05. Gambar4.36 (a) menampilkan hasil MSE sebesar 0,0058443 dan Gambar 4.36(b) menampilkan hasil MAPE sebesar 18,3351%



Gambar 4.37 Hasil pengujian dengan momentum 0,8 dan learning rate 0,01

Gambar 4.37 menampilkan Hasil pengujian yang diperoleh dari 25 *node hidden layer*, dengan momentum 0,8 dan learning rate 0,01. Gambar 4.37 (a) menampilkan hasil MSE sebesar 0,0065686 dan Gambar 4.37 (b) menampilkan hasil MAPE sebesar 19,9342%



Gambar 4.38 Hasil pengujian dengan momentum 0,8 dan learning rate 0,05

Gambar 4.38 menampilkan Hasil pengujian yang diperoleh dari 25 node

hidden layer, dengan momentum 0,8 dan learning rate 0,05. Gambar4.38 (a) menampilkan hasil MSE sebesar 0,005523 dan Gambar 4.38(b) menampilkan hasil MAPE sebesar 17,6972%

Hasil yang diperoleh dari pemrograman menggunakan backpropagation mendapatkan MSE dan MAPE pada tahap latih dan tahap uji dengan percobaan banyaknya *node* pada *hidden layer*, momentum dan nilai *learning rate* ditunjukan pada Tabel 4.7 sebagai berikut:

Tabel 4.9 Hasil Percobaan

| No | Hidden layer | Momentum | learning rate | MSE uji | MAPE uji |
|----|--|----------|---------------|-----------|-----------|
| 1 | 1 <i>Hidden layer</i> dengan <mark>9 node</mark> | 0,9 | 0,01 | 0,0067853 | 15,0825% |
| 2 | | 0,9 | 0,05 | 0,0061513 | 18,6608% |
| 3 | | 0,8 | 0,01 | 0,0093315 | 19, 1083% |
| 4 | | 0,8 | 0,05 | 0,0069094 | 19,6915% |
| 5 | 1 Hidden layer dengan 12 node | 0,9 | 0,01 | 0,0064908 | 17,9615% |
| 6 | | 0,9 | 0,05 | 0,0097756 | 18, 4945% |
| 7 | | 0,8 | 0,01 | 0,0071060 | 19,6221% |
| 8 | | 0,8 | 0,05 | 0,0059483 | 18,7761% |
| 9 | 1 Hidden layer dengan 15 node | 0,9 | 0,01 | 0,0059174 | 18,0863% |
| 10 | | 0,9 | 0,05 | 0,0059828 | 18,4882% |
| 11 | | 0,8 | 0,01 | 0,0074827 | 19,4464% |
| 12 | | 0,8 | 0,05 | 0,0091083 | 19,9356% |
| 13 | 1 Hidden layer dengan 25 node | 0,9 | 0,01 | 0,0084123 | 17,1721% |
| 14 | | 0,9 | 0,05 | 0,0058443 | 18, 3351% |
| 15 | | 0,8 | 0,01 | 0,0065686 | 19,9342% |
| 16 | | 0,8 | 0,05 | 0,0055230 | 17,6972% |

Dari tabel diatas dapat dilihat bahwa arsitektur jaringan *Backpropagation* yang paling optimal dalam peramalan penggunaan bahan bakar gas yaitu dengan menggunakan 1 *hidden layer* dengan 9 *node* dengan momentum 0,9 dan learning rate 0,01 dengan hasil MAPE uji paling rendah yaitu 15,0825%

4.5. Tahap Peramalan

Pada tahap ini, hasil peramalan yang diperoleh yaitu $24814KNm^3/h$. Hal tersebut menunjukkan peramalan penggunaan bahan bakar gas pada minggu ke-1 bulan Oktober 2019 sebesar $24814KNm^3/h$ dengan tingkat kesalahan 15,0825%.

4.6. Perhitungan Biaya Bahan Bakar

Pada tahap ini, untuk menghitung biaya bahan bakar gas yaitu dengan mengubah satuan bahan bakar *Kilo Normal Cubic Metric Per Hour*(KNm^3/h) diubah kedalam satuan MMBTU/h. $1KNm^3 = 0$, 0373248MMSCF. MMBTU didapat dari MMSCF dikalikan dengan *Gross Heating Value*(GHV). Fix GHV = 1050 BTU/SCF. Biaya penggunaan bahan bakar diperoleh dari aliran bahan bakar gas dalam satuan *Million British Thermal Unit Per Hour* (MMBTU/h) dikalikan dengan harga bahan bakar gas (7 US\$/MMBTU) kemudian dikalikan dengan harga kurs dolar yang berlaku saat ini (US\$ 1 = Rp 13616,88). Dari Hasil perhitungan biaya bahan bakar diperoleh biaya bahan bakar pada minggu ke-1 bulan Oktober 2019 yaitu sebesar Rp 92.695.620.617.

BAB V

PENUTUP

5.1. Simpulan

Simpulan yang dapat diambil penulis setelah menyelesaikan pembuatan skripsi ini adalah :

- 1. Hasil peramalan penggunaan bahan bakar gas pada PLTGU PT.PJB UP Gresik menggunakan metode *backpropagation* dengan data *time series* penggunaan bahan bakar gas yang diperoleh pada minggu ke-1 bulan Oktober 2019 yaitu sebesar 24.814 *KNm*³/h sehingga biaya yang dibutuhkan untuk keperluan bahan bakar gas yaitu sebesar Rp 92.695.620.617.
- 2. Tingkat kesalahan pada peramalan penggunaan bahan bakar menggunakan metode *backpropagation* dengan data *time series* penggunaan bahan bakar gas menghasilkan nilai MAPE sebesar 15,0825%. Hal tersebut menunjukkan bahwa model yang dibangun oleh jaringan *backpropagation* termasuk ke dalam kategori baik dalam kemampuan memprediksi karena nilai *error* berada diantara 10-20% dan akurasinya sebesar 84,9175%.
- 3. Arsitektur jaringan *Backpropagation* yang paling optimal dalam peramalan penggunaan bahan bakar gas yaitu dengan menggunakan 1 *hidden layer* dengan 9 *node* dengan momentum 0,9 dan learning rate 0,01.

5.2. Saran

pada penelitian ini, penulis memberikan beberapa saran untuk penelitian selanjutnya, diantaranya:

- Menggunakan data yang lebih banyak dan terbaru sehingga pengenalan pola jaringan bisa lebih optimal.
- 2. Menggunakan arsitektur jaringan yang berbeda dengan menambah jumlah hidden layer.
- 3. Menambah percobaan dengan mengubah fungsi aktivasi di setiap penghubung.

DAFTAR PUSTAKA

- Abdullah, M.2007. Tafsir Ibnu Katsir Jilid 6. Bogor: Pustaka Imam Asy-Syafi'i
- Amri, I., Masniar, Budiman, J.E.L. 2017. Analisa Sistem Pengendalian Bahan Bakar Minyak High Speed Diesel di PLTD Klademak Sorong, Papua Barat. Simposium Nasional Teknologi Terapan. 5(1):156-163
- Andrijasa, M.F. dan Mistianingsih. 2010. Penerapan Jaringan Syaraf Tiruan Untuk memprediksi Jumlah Pengangguran Di Provinsi Kalimantan Timur Dengan Menggunakan Algoritma Pembelajaran Backpropagation. Jurnal Informatika Mulawarman, Vol. 5 No.1.
- Anggraeni, R. 2010. Analisis Karakteristik Input-output dan Optimasi Biaya Pembangkitan Menggunakan Metode Quadratic Least Square Regresion dan Metode Dynamic Genetic Algorithm. Skripsi. Fakultas Teknik, Universitas Jember, Jember.
- Aris, P.W., Suhartono, Eko, A.S., Zulvia, F. 2017. Akurasi Model Prediksi Metode Backpropagation Menggunakan Kombinasi Hidden Neuron Dengan Alpha. Jurnal Matematika. 20(2):79-84
- Baskoro, D.R. 2017. Peramalan Jangka Pendek Beban Tenaga Listrik Pada PT.

 PJB UP GRESIK Menggunakan Metode Constructive Backpropagation Neural

 Network serta Prediksi Kebutuhan Bahan Bakar Gas Pembangkitan. Skripsi.

 Fakultas Teknik, Universitas Jember, Jember.
- Dwi, A., Unit, T.K. 2019. Peramalan Daya Listrik Jangka Sangat Pendek

- Pembangkit Termal Berdasarkan Data Meteorologi Menggunakan Metode k-Nearest Neighbor Artificial Neural Network. Jurnal Teknik Elektro. 8(1):101 109
- Firdaus, M. 2010. *Penentuan Beban Optimal Pada Turbin Gas PLTGU Dengan Menggunakan Nonlinear Programming. Skripsi*. Fakultas Teknik. Universitas Indonesia, Depok.
- Habibi, M. Y., Edwin, R. 2017. Peramalan Harga Garam Konsumsi Menggunakan Artificial Neural Network Feedforward-Backpropagation (Studi Kasus: PT. Garam Mas, Rembang, Jawa Tengah). Jurnal Teknik ITS. 6(2): 2337-3520.
- Hadi, H.H. 2019. Pemeliharaa<mark>n Intake</mark> Air Filter Pada PLTGU PT. PJB UP Gresik, STTPLN, Jakarta.
- Hasan, N. F., Kusrini, Hanif, A.F. 2019. Peramalan Jumlah Penjualan Menggunakan Jaringan Syaraf Tiruan Backpropagation Pada Perusahaan Air Minum Dalam Kemasan. Jurnal Teknik Informatika dan Sistem Informasi. 5(2):2443-2210
- Ilmiyah, M. 2018. Aplikasi Metode Seasonal Autoreggresive Integrated Moving Average Dan Winter's Exponential Smoothing Untuk Meramalkan Omzet Koperasi Al-Kautsar Universitas Islam Negeri Sunan Ampel Surabaya. Skripsi. Universitas Islam Negeri Sunan Ampel Surabaya. Surabaya.
- Ilyas, A.M., Ontoseno, P., Adi, S. 2010. Optimasi Economic Dispatch Pembangkit Termal Sistem 500 kV Jawa Bali Menggunakan Modified Improved Particle Swarm Optimization. Jurnal Telkomnika. 10(3):459-470.
- Khasanah, U., Nurissaidah, U. 2019. Prediksi Biaya Konsumsi Bahan Bakar

- Gas Menggunakan Metode Backpropagation Neural Network. Jurnal Sains Matematika dan Statistika. 4(2):22460-4542.
- Kurniawan, M.A. 2017.Penerapan Metode Feed Forward Neural Network (FFNN) Backpropagation untuk meramalkan harga saham. *Skripsi*. Fakultas Matematika dan Pengetahuan Alam. Universitas Negeri Semarang, Semarang.
- Kusumadewi, F. 2014. Peramalan Harga Emas Menggunakan Feedforward Neural Network Dengan Algoritma Backpropagation. Skripsi. Fakultas Matematika dan Pengetahuan Alam. Universitas Negeri Yogyakarta, Yogyakarta.
- Monita, Y., Dian, C. R. N., Nanang, W., Ahmad, Z. A. 2019. Penggunaan Metode Backpropagation Untuk Peramalan Jumlah Ledakan Matahari(Flare). Jurnal Flare. 01(02): 67-71
- Sakinah, N. P., Cholissodin, I., Widodo, A. W. 2018. Prediksi Jumlah Permintaan Koran Menggunakan Metode Jaringan Syaraf Tiruan Backpropagation. Jurnal Pengembangan Teknologi Informasi dan Ilmu Komputer. 2(7):2612-2618.
- Putri, M.T. 2018. *Analisa Performansi Perawatan Pada Gas Turbin PLTGU Blok 1*. *laporan KKN-P*. Universitas Brawijaya, Malang
- Rachman A.S., Imam C., M. A. Fauzi. 2018. Peramalan Produksi Gula Menggunakan Metode Jaringan Syaraf Tiruan Backpropagation Pada PG Candi Baru Sidoarjo. Jurnal Pengembangan Teknologi Informasi dan Ilmu Komputer. 2(4): 1683-1689.
- Ramadani, D., dan M.Ramadlan,k. 2016. Prediksi Beban Listrik Jangka Pendek Menggunakan Algoritma Feed Fordward Backpropagation Dengan Mempertimbangkan Variasi Tipe Hari. Jurnal Electrans. 14(1):34-40.

- Ramadhan, H.A. 2018. Peramalan kebutuhan Beban Listrik Jangka Menengah Menggunakan Jaringan Syaraf Tiruan(JST) Backpropagation. Publikasi ilmiah. Universitas Muhammadiyah Surakarta, Surakarta.
- Rufiyanti, D.E. 2015. *Implementasi Jaringan Syaraf Tiruan Backpropagation*Dengan Input Model ARIMA Untuk Peramalan Harga Saham. Skripsi. Fakultas

 Matematika dan Ilmu Pengetahuan Alam. Universitas Negeri Semarang,

 Semarang.
- Samsiah, D.N. 2008. *Analisis Data Runtun Waktu Menggunakan Model ARIMA (p, d, q). Skripsi*. Fakultas Sains dan Teknologi. UIN Sunan Kalijaga, Yogyakarta.
- Satria, B. 2018. Prediksi Penggunaan Air PDAM Menggunakan Metode Jaringan Syaraf Tiruan Backpropagation. Jurnal RESTI (Rekayasa Sistem dan Teknologi Informasi). 2(3):674-684
- Siang, J.J. 2005. Buku Jaringan Syaraf Tiruan dan pemrogramannya Menggunakan Matlab. Yogyakarta: Andi
- Tambun, B. 2018. Economic Dispatch PLTU Pangkalan Susu. Skripsi. Fakultas Teknik Elektro. Universitas Sumatera Utara, Medan.
- Tarigan, A. M., Harry, F., Nurdin, H. 2016. Monitoring Longterm Pengaruh Washing Kompresor Terhadap Efisiensi Kompresor Turbin Gas Block 1 PT. PJB UP Gresik. laporan KKN-P. Universitas Brawijaya, Malang
- Tindriyani, N.A. 2017. Implementasi Neural Network pada Matlab untuk Peramalan Konsumsi Beban Listrik Kabupaten Ponorogo Jawa Timur. Skripsi. Fakultas Teknik. Universitas Negeri Semarang, Semarang.